



ผลของการกระจายอุณหภูมิในข้าวเปลือกที่มีต่อสมรรถนะการระบายความร้อนในข้าวเปลือก  
โดยใช้เทอร์โมไซฟอน

**Effect of Temperature Distribution of Paddy Rice on Paddy Bulk Cooling**

**Performance with Using Thermosyphon**

นายมนัส ด้วงทั่ว  
นายวันจักร เรืองสกุล  
นายธนาณัต พेचรัตนฤทธิ์

15090817

พิธีกรรมคณะวิศวกรรมศาสตร์
วันที่รับ...../...../.....
เลขทะเบียน...5200065.....
เลขเรียกหนังสือ.....
มหาวิทยาลัยเรศวร

ป.ร.  
๖๑๖๔๘  
๒๗๗

ปริญญาในพนธน์นี้เป็นส่วนหนึ่งของการศึกษาตามหลักสูตรปริญญาวิศวกรรมศาสตรบัณฑิต

สาขาวิศวกรรมเครื่องกล ภาควิชาช่างเครื่องกล

คณะวิศวกรรมศาสตร์ มหาวิทยาลัยเรศวร

ปีการศึกษา 2550



## ใบรับรองโครงงาน

**หัวข้อโครงงาน**

: ผลของการกระจายอุณหภูมิในข้าวเปลือกที่มีต่อสมรรถนะการ  
ระบายความร้อนในข้าวเปลือกโดยใช้เทอร์โน่ไฟฟ่อน  
(Effect of Temperature Distribution of Paddy Rice on  
Paddy Bulk Cooling Performance with Using Thermosyphon)

**ผู้ดำเนินโครงงาน**

: นายนันต์ ด้วงท้วน รหัส 47360839  
นายวันจกร เรืองสกุล รหัส 47363031  
นายธนันนท์ เพชรสัมฤทธิ์ รหัส 47360755

**อาจารย์ที่ปรึกษาโครงงาน** : ผู้ช่วยศาสตราจารย์ ดร.ปีะนันท์ เจริญสุวรรณ

**ภาควิชา** : วิศวกรรมเครื่องกล

**ปีการศึกษา** : 2550

คณะวิศวกรรมศาสตร์ มหาวิทยาลัยนเรศวร อนุมัติให้โครงงานฉบับนี้เป็นส่วนหนึ่งของ  
การศึกษาตามหลักสูตร วิศวกรรมศาสตรบัณฑิต สาขาวิศวกรรมเครื่องกล

คณะกรรมการสอบโครงงาน

*..... ๒๐ .....* ประธานกรรมการ  
(ผู้ช่วยศาสตราจารย์ ดร.ปีะนันท์ เจริญสุวรรณ)

*..... ๒๑ .....* กรรมการ  
(ผู้ช่วยศาสตราจารย์ ดร.ปฐมศักดิ์ วีโอลพ)

*..... ๒๒ .....* กรรมการ  
(อาจารย์ สุรัตน์ ปัญญาแก้ว)

หัวข้อโครงการ	:	ผลของการกระจายอุณหภูมิในข้าวเปลือกที่มีต่อสมรรถนะการระบายความร้อนในข้าวเปลือกโดยใช้เทอร์โน่ไฟฟอน
ผู้ดำเนินโครงการ	:	นายมนัส ศิริวงศ์ รหัส 47360839 นายวันจกร เรืองศุภล รหัส 47363031 นายธนาณัต พะรัตนฤทธิ์ รหัส 47360755
อาจารย์ที่ปรึกษาโครงการ	:	ผู้ช่วยศาสตราจารย์ ดร.ปิยะนันท์ เกรียงสวรรค์
ภาควิชา	:	วิศวกรรมเครื่องกล
ปีการศึกษา	:	2550

### บทคัดย่อ

โครงการนี้มีวัตถุประสงค์เพื่อที่จะจำลองโปรแกรมลักษณะการกระจายอุณหภูมิของข้าวเปลือกขนาด 1000 kg ที่บรรจุอยู่ในถังทรงปริมาตรสี่เหลี่ยมสูง 1 m และมีพื้นที่หน้าตัดเท่ากับ  $1.357 \times 1.357$  m ที่มีเทอร์โน่ไฟฟอนสำหรับระบายความร้อนให้กับข้าวเปลือก โดยเทอร์โน่ไฟฟอนที่ใช้ ทำการห่อห้องແคงมีเส้นผ่าศูนย์กลางเท่ากับ 0.5 m มีความยาวส่วนท่าระเหยเท่ากับ 1 m มีความยาวส่วนควบแน่นเท่ากับ 2 m และมี R134a เป็นสารทำงาน โดยการทำการกระจายอุณหภูมิของข้าวเปลือกทางการถ่ายเทความร้อนใน 2 มิติ ที่แต่ละหน้าตัดของถังเท่านั้น โดยสมมุติว่า อุณหภูมิของข้าวเปลือกไม่เปลี่ยนแปลงตามความสูงของถัง จากการศึกษาพบว่าเมื่อ ไม่มีการระบายความร้อนในข้าวเปลือกลักษณะการกระจายอุณหภูมิของข้าวเปลือกมีดังนี้ ก็คือ ที่บริเวณกึ่งกลางของถังทุกหน้าตัดจะมีอุณหภูมิสูงที่สุด ซึ่งเมื่อเวลาผ่านไป 1000 ชั่วโมง จะมีอุณหภูมิอยู่ที่ประมาณ 49 องศาเซลเซียส ส่วนที่บริเวณอื่นๆ ของถังจะมีอุณหภูมิต่ำลงเรื่อยๆ เมื่อเข้าใกล้ผิวนังของถังมากขึ้น และจะมีอุณหภูมิต่ำที่สุดที่บริเวณมุมดังของทุกหน้าตัด ซึ่งเมื่อเวลาผ่านไป 1000 ชั่วโมง จะมีอุณหภูมิอยู่ที่ประมาณ 37 องศาเซลเซียส จะเห็นว่าเมื่อไม่มีการระบายความร้อน ข้าวเปลือกจะมีอุณหภูมิสูงถึง 37-49 องศาเซลเซียส ซึ่งอุณหภูมิที่เหมาะสมในการเก็บข้าวเปลือก ก็คือ 28-29 องศาเซลเซียส ดังนั้นจึงต้องมีการระบายความร้อนให้แก่ข้าวเปลือกเพื่อการเก็บรักษาที่ยาวนานขึ้น ข้าวเปลือกที่มีอุณหภูมิสูงกว่า 29 องศาเซลเซียส จะสามารถเก็บได้นานที่สุดเท่ากับ 722.4 ชั่วโมง โดยที่เปอร์เซ็นต์ความคงคลังน้อยกว่า 10 เปอร์เซ็นต์ การระบายความร้อนในข้าวเปลือกโดยใช้เทอร์โน่ไฟฟอนในระบบนี้ ที่มีความเหมาะสมที่สุดจะเกิดขึ้นเมื่อใช้จำนวนห่อเทอร์โน่ไฟฟอนเท่ากับ 121 ห่อ โดยแต่ละห่อมีระยะห่างเท่ากับ  $0.1357$  m ซึ่งจะสามารถรักษาอุณหภูมิของข้าวเปลือกให้ต่ำกว่า 29 องศาเซลเซียส ได้ภายในเวลา 478 ชั่วโมง

<b>Project Title</b>	:	Effect of Temperature Distribution of Paddy Rice on Paddy Bulk Cooling Performance with Using Thermosyphon		
<b>Name</b>	:	Mr. Manat Doungtoum	Code 47360839	
	:	Mr. Wanjak Ruangsakul	Code 47363031	
	:	Mr. Thananan Phetsamrit	Code 47360755	
<b>Project Adviser</b>	:	Asst. Prof. Dr. Piyanun Charoensawan		
<b>Department</b>	:	Mechanical Engineering		
<b>Academic Year</b>	:	2007		

---

### Abstract

This Project aims to simulate the temperature distribution characteristic of 1000 kg paddy rice by using MATLAB program. The paddy rice is contained in the aquare prism bucket with 1 m high and cross sectional area of  $1.357 \times 1.357 \text{ m}^2$ . This paddy bulk is cooled by an array of Thermosyphons. These thermosyphons are made of copper tubes with 0.5 in nominal diameter, 1 m evaporator length and 2 m condenser length and the used working fluid is R134a. The temperature distribution inside paddy bulk is considered as two-dimensional heat transfer at each cross section of the bucket and the temperature of paddy rice is supposed to be uniform along the bucket height. First of all, the temperature distribution of paddy rice without cooling is investigated and it is found that the temperature at middle of cross sectional area of bucket is highest and reaches  $49^\circ\text{C}$  after 1000 hrs. For the other area of any section, when the paddy rice is closer to the bucket wall, its temperature is continuously lower. The lowest temperature occurs at corner of bucket and the value is  $37^\circ\text{C}$  after 1000 hrs. It is seen that when the paddy bulk is without cooled, the paddy rice temperature exists the high rang of  $37\text{-}49^\circ\text{C}$  whereas the proper temperature of paddy rice storage is about  $28\text{-}29^\circ\text{C}$ . Therefore, paddy bulk cooling is really needed to be able to store the paddy rice in a long time. For the paddy rice temperature higher than  $29^\circ\text{C}$ , the longest period of paddy rice storage with growing up lower than 10% is 722.4 hrs. This project applies this condition to design the paddy bulk storage cooling by thermosyphons. The optimum design of thermal performance of paddy bulk storage system is

obtain. The number of used thermosyphons are 121. For thermosyphons arrangement, a grid size or a distance between the adjacent thermosyphons is 0.1357 m. The time period at which the temperature of whole paddy rice can be lower than  $29^{\circ}\text{C}$  is only 478 hrs which is distinctly shorter than the value defined above.



## กิตติกรรมประกาศ

โครงการฉบับนี้สำเร็จลงได้ด้วยดีเพาะได้รับความช่วยเหลือในการให้คำแนะนำ ใน การทำโครงการจาก ดร.ปีระนันท์ เจริญสารรัตน์ ซึ่งเป็นอาจารย์ที่ปรึกษาโครงการให้คำปรึกษาแก่ กลุ่มของข้าพเจ้าตลอดมา กลุ่มของข้าพเจ้าขอกราบขอบพระคุณเป็นอย่างสูง

ขอขอบคุณเพื่อนทุกคนที่ช่วยเหลืองานด้านการทำโครงการและด้านเอกสารให้เสร็จสิ้น โดยเรียบร้อย

สุดท้ายนี้กลุ่มของข้าพเจ้าขอกราบขอบพระคุณบิรา นารดา ที่กอบสันบัณฑุณ และค่ายเป็น กำลังใจมาโดยตลอด

คณะผู้ดำเนินโครงการ



## สารบัญ

	หน้า
ใบรับรองโครงการ	ก
บทคัดย่อ	ข
<i>Abstract</i>	ค
กิตติกรรมประกาศ	จ
สารบัญ	ฉ
สารบัญตาราง	ช
สารบัญรูปภาพ	ฉ
ลำดับสัญลักษณ์	ธ

### บทที่ 1 บทนำ

	1
1.1 ที่มาและความสำคัญของโครงการ	1
1.2 วัตถุประสงค์	4
1.3 ขอบเขตการศึกษา	4
1.4 ประโยชน์ที่คาดว่าจะได้รับ	4
1.5 วิธีการดำเนินการ	4
1.6 ระยะเวลาและแผนการดำเนินงาน	6
1.7 สถานที่ปฏิบัติงาน	6
1.8 ทุปกรณ์ที่ใช้	6
1.9 งบประมาณที่ใช้	6

### บทที่ 2 หลักการและทฤษฎี

	7
2.1 การเก็บรักษาข้อมูลลือก	7
2.2 เทอร์โน้ตไฟฟอน	8
2.3 การถ่ายเทความร้อนโดยการพาเบนอิสระหรือแบบธรรมชาติ	14
2.4 การนำความร้อนใน 2 มิติ	18
2.5 การทบทวนผลงานวิจัยที่เกี่ยวข้อง	21

## สารบัญ (ต่อ)

	หน้า
<b>บทที่ 3 วิธีดำเนินงาน</b>	
3.1 การสำรวจและรวบรวมข้อมูล	25
3.2 แบบจำลองการทำางานของระบบการระบายน้ำความร้อนในข้าวเปลือกที่ใช้ชุดเทอร์โน่ไฟฟอน	25
3.3 สมมุติฐาน	26
3.4 แบบจำลองทางคณิตศาสตร์ของการกระจายอุณหภูมิของข้าวเปลือกในถังเก็บ	27
3.5 ลำดับขั้นตอนการทำางานของโปรแกรม	38
<b>บทที่ 4 ผลการทดลองและการวิเคราะห์ผล</b>	
4.1 การวิเคราะห์หาระยะกริດของหน้าตัดของชิ้นข้าวเปลือกที่เหมาะสมต่อการนำมาคำนวณในระบบการระบายน้ำความร้อน	44
4.2 การวิเคราะห์หาจำนวนท่อและลักษณะการวางท่อเทอร์โน่ไฟฟอนในถังข้าวเปลือก	50
<b>บทที่ 5 บทสรุป</b>	
5.1 บทสรุป	64
5.2 ข้อเสนอแนะ	65
<b>บรรณานุกรม</b>	66
<b>ภาคผนวก</b>	
ภาคผนวก ก. ตัวอย่างโปรแกรมจำลอง	68
ภาคผนวก ข. ตารางคุณสมบัติ	88
ภาคผนวก ค. อื่นๆ	91
<b>ประวัติผู้ทำโครงการ</b>	96

## สารบัญตาราง

	หน้า
ตารางที่ ๑.๑ แสดงระยะเวลาและแผนการดำเนินการ	6
ตารางที่ ๑.๑ แสดงคุณสมบัติของอากาศ	89
ตารางที่ ๑.๒ แสดงคุณสมบัติของ R134 a	90
ตารางที่ ก.๑ แสดงระยะเวลาที่ปลดปล่อยในการเก็บรักษาข้าวเปลือก ที่ความชื้น และอุณหภูมิต่างๆ	92
ตารางที่ ก.๒ ผลของความชื้นข้าวเปลือกต่อคุณภาพการสีข้าว	93
ตารางที่ ก.๓ แสดงปริมาณการทำลายชั้นบรรยายของสารทำงานต่างๆ	94
ตารางที่ ก.๔ แสดงขนาดของห้ององค์	95



## สารบัญรูปภาพ

	หน้า
รูปที่ 1.1 แสดงการเก็บรักษาข้าวเปลือกโดยวิธีต่างๆ	2
รูปที่ 2.1 แสดงลักษณะของเหอร์โน้ไซฟอน	9
รูปที่ 2.2 แสดงโครงสร้างและหลักการทำงานของเหอร์โน้ไซฟอน	9
รูปที่ 2.3 แสดงวงจรความด้านทานความร้อนรวม	14
รูปที่ 2.4 แสดงข้อมูลของความร้อนและขั้นของของไอลบันแผ่นร้อนในแนวคิ่ง	15
รูปที่ 2.5 แสดงการพากความร้อนตามธรรมชาติบนทรงกระบอกแนวคิ่ง	17
รูปที่ 2.6 แสดงการนำความร้อนจากโนดข้างเคียงไปสู่โนดด้านใน	18
รูปที่ 2.7 แสดงปริมาตรควบคุมของในภาชนะ	20
รูปที่ 2.8 แสดงปริมาตรควบคุมของในคุณด้านในและมีการพากความร้อน	20
รูปที่ 2.9 แสดงปริมาตรควบคุมของในคุณพื้นผิวบนและมีการพากความร้อน	20
รูปที่ 2.10 แสดงปริมาตรควบคุมของในคุณด้านนอกและมีการพากความร้อน	21
รูปที่ 2.11 แสดงปริมาตรควบคุมของในคุณพื้นผิวบนและมีฟลักซ์ความร้อนคงที่	21
รูปที่ 2.12 แสดงลักษณะของถังเก็บข้าวเปลือกที่ติดตั้งชุดเหอร์โน้ไซฟอน	23
รูปที่ 3.1 แสดงลักษณะของถังเก็บข้าวเปลือกที่ติดตั้งชุดเหอร์โน้ไซฟอน	26
รูปที่ 3.2 แสดงหน้าตัดของถังใส่ข้าวเปลือกและการแยกคิดเป็นรูปสี่เหลี่ยม	27
รูปที่ 3.3 แสดงปริมาตรควบคุมของในภาชนะ	29
รูปที่ 3.4 แสดงปริมาตรควบคุมของในคุณด้านข้างและมีการพากความร้อน	29
รูปที่ 3.5 แสดงปริมาตรควบคุมของในคุณด้านบน	30
รูปที่ 3.6 แสดงปริมาตรควบคุมของในคุณด้านใน	30
รูปที่ 3.7 แสดงปริมาตรควบคุมของในคุณด้านล่างที่มีการพากความร้อน	31
รูปที่ 3.8 แสดงปริมาตรควบคุมของในคุณด้านใน	31
รูปที่ 3.9 แสดงปริมาตรควบคุมของในคุณด้านล่างที่มีการพากความร้อน	32
รูปที่ 3.10 แสดงปริมาตรควบคุมการระบายความร้อนของเหอร์โน้ไซฟอน	35
รูปที่ 3.11 แสดงปริมาตรควบคุมของในคุณด้านที่มีการใส่เหอร์โน้ไซฟอน	36
รูปที่ 4.1 แสดงโนดในตำแหน่งที่นำวิเคราะห์	43
รูปที่ 4.2 แสดงขนาดกริดต่างๆ ที่นำวิเคราะห์	44
รูปที่ 4.3 แสดงความสัมพันธ์ระหว่างเวลา กับ อุณหภูมิของข้าวเปลือกของในตำแหน่ง A	45
รูปที่ 4.4 แสดงความสัมพันธ์ระหว่างเวลา กับ อุณหภูมิของข้าวเปลือกของในตำแหน่ง B	45

## สารบัญรูปภาพ (ต่อ)

	หน้า
รูปที่ 4.5 แสดงความสัมพันธ์ระหว่างเวลา กับ อุณหภูมิของข้าวเปลือกของ โนดคำแห่นง C	46
รูปที่ 4.6 แสดงความสัมพันธ์ระหว่างเวลา กับ อุณหภูมิของข้าวเปลือกของ โนดคำแห่นง D	47
รูปที่ 4.7 แสดงความสัมพันธ์ระหว่างเวลา กับ อุณหภูมิของข้าวเปลือกของ โนดคำแห่นง E	48
รูปที่ 4.8 แสดงความสัมพันธ์ระหว่างเวลา กับ อุณหภูมิของข้าวเปลือกของ โนดคำแห่นง F	49
รูปที่ 4.9 แสดงกริศขนาด $0.1696 \text{ m}$	50
รูปที่ 4.10 แสดงความสัมพันธ์ที่ระบะกริตเท่ากับ $0.1696 \text{ m}$ ระหว่างเวลา กับ อุณหภูมิของ ข้าวเปลือกของแต่ละ โนด โดยที่ไม่มีการใส่เทอร์ในไฟฟอน	51
รูปที่ 4.11 แสดงความสัมพันธ์ที่ระบะกริตเท่ากับ $0.1696 \text{ m}$ ระหว่างเวลา กับ อุณหภูมิของ ข้าวเปลือกของแต่ละ โนด โดยที่มีการใส่เทอร์ในไฟฟอนทุกโนด	51
รูปที่ 4.12 แสดงกริศขนาด $0.1357 \text{ m}$	53
รูปที่ 4.13 แสดงความสัมพันธ์ที่ระบะกริตเท่ากับ $0.1357 \text{ m}$ ระหว่างเวลา กับ อุณหภูมิของ ข้าวเปลือกของ โนด 1-11 โดยที่ไม่มีการใส่เทอร์ในไฟฟอน	53
รูปที่ 4.14 แสดงความสัมพันธ์ที่ระบะกริตเท่ากับ $0.1357 \text{ m}$ ระหว่างเวลา กับ อุณหภูมิของ ข้าวเปลือกของ โนด 12-21 โดยที่ไม่มีการใส่เทอร์ในไฟฟอน	54
รูปที่ 4.15 แสดงความสัมพันธ์ที่ระบะกริตเท่ากับ $0.1357 \text{ m}$ ระหว่างเวลา กับ อุณหภูมิของ ข้าวเปลือกของ โนด 1-11 โดยที่มีการใส่เทอร์ในไฟฟอนทุกโนด	55
รูปที่ 4.16 แสดงความสัมพันธ์ที่ระบะกริตเท่ากับ $0.1357 \text{ m}$ ระหว่างเวลา กับ อุณหภูมิของ ข้าวเปลือกของ โนด 12-21 โดยที่มีการใส่เทอร์ในไฟฟอนทุกโนด	55
รูปที่ 4.17 แสดงความสัมพันธ์ที่ระบะกริตเท่ากับ $0.1357 \text{ m}$ ระหว่างเวลา กับ อุณหภูมิของ ข้าวเปลือกของ โนด 1-11 โดยที่ไม่มีการใส่เทอร์ในไฟฟอนที่ โนด 21	57
รูปที่ 4.18 แสดงความสัมพันธ์ที่ระบะกริตเท่ากับ $0.1357 \text{ m}$ ระหว่างเวลา กับ อุณหภูมิของ ข้าวเปลือกของ โนด 12-21 โดยที่ไม่มีการใส่เทอร์ในไฟฟอนที่ โนด 21	57
รูปที่ 4.19 แสดงกริศขนาด $0.11308 \text{ m}$	59
รูปที่ 4.20 แสดงความสัมพันธ์ที่ระบะกริตเท่ากับ $0.11308 \text{ m}$ ระหว่างเวลา กับ อุณหภูมิของ ข้าวเปลือกของ โนด 1-14 โดยที่ไม่มีการใส่เทอร์ในไฟฟอน	59

## สารบัญรูปภาพ (ต่อ)

	หน้า
รูปที่ 4.21 แสดงความสัมพันธ์ที่ระบะกริตเท่ากับ $0.11308 \text{ m}$ ระหว่างเวลาเก็บอุณหภูมิของ ข้าวเปลือกของในค 15-18 โดยที่ไม่มีการใส่เทอร์โน ไฟฟ่อน	60
รูปที่ 4.22 แสดงความสัมพันธ์ที่ระบะกริตเท่ากับ $0.11308 \text{ m}$ ระหว่างเวลาเก็บอุณหภูมิของ ข้าวเปลือกของในค 1-14 โดยที่มีการใส่เทอร์โน ไฟฟ่อนทุกในค	61
รูปที่ 4.23 แสดงความสัมพันธ์ที่ระบะกริตเท่ากับ $0.11308 \text{ m}$ ระหว่างเวลาเก็บอุณหภูมิของ ข้าวเปลือกของในค 15-28 โดยที่มีการใส่เทอร์โน ไฟฟ่อนทุกในค	61
รูปที่ 5.1 แสดงพื้นที่หน้าตัดของถังเก็บข้าวเปลือกที่ระบะกริตเท่ากับ $0.1357 \text{ m}$ และลักษณะ การกระจายอุณหภูมิของข้าวเปลือกในกรณีที่ไม่มีเทอร์โน ไฟฟ่อนที่เวลา 1000 ชั่วโมง	64
รูปที่ 5.2 แสดงลักษณะการกระจายอุณหภูมิของข้าวเปลือกในกรณีที่มีเทอร์โน ไฟฟ่อนทุก ในคที่ระบะกริตเท่ากับ $0.1357 \text{ m}$ ที่เวลา 478 ชั่วโมง	65

## ลำดับสัญลักษณ์

สัญลักษณ์	ความหมาย	หน่วย
$F$	อัตราการเติมสาร	-
$V_i$	ปริมาณของของเหลวในท่อร์โนไซฟ่อนขณะข้างในได้ทำงาน	$m^3$
$\Delta t$	ค่าความแตกต่างของช่วงเวลาที่เก็บข้อมูล	ชั่วโมง
$Q_{paddy}$	ค่าความร้อนของข้าวเปลือก	kW
$Q_{ts}$	ค่าความร้อนของห้องท่อท่อร์โนไซฟ่อนที่ระบบแยกออก	kW
$\dot{E}_{in}$	พลังงานเข้าสู่สภาพภาวะควบคุม	-
$\dot{E}_{st}$	พลังงานที่ข้าวเก็บไว้	-
$\dot{E}_g$	พลังงานที่ข้าวผลิตขึ้น	-
$\dot{E}_{out}$	พลังงานออกจากสภาพภาวะควบคุม	-
$A$	พื้นที่หน้าตัดภายในของห่อร์โนไซฟ่อน	$m^2$
$A_x$	พื้นที่หน้าตัดของผนังห่อ	$m^2$
$C_p$	ค่าความถูกความร้อนของข้าวเปลือก	$kJ/kg.K$
$D_i$	เส้นผ่านศูนย์กลางภายในของห่อท่อร์โนไซฟ่อน	$m$
$D_o$	เส้นผ่านศูนย์กลางภายนอกของห่อท่อร์โนไซฟ่อน	$m$
$F$	อัตราการเติมสารทำงาน	-
$h_\infty$	สัมประสิทธิ์การถ่ายเทความร้อนโดยการพาที่พื้นที่ผิวดองส่วนควบແเน่น $W/m^2.K$	
$h_\infty$	สัมประสิทธิ์การถ่ายเทความร้อนโดยการพาที่พื้นที่ผิวดองส่วนทำระเหย $W/m^2.K$	
$l_a$	เป็นความยาวในส่วนที่ไม่มีการถ่ายเทความร้อน	$m$
$l_c$	เป็นความยาวในส่วนควบແเน่น	$m$
$l_e$	เป็นความยาวในส่วนทำระเหย	$m$
$M_w$	ปริมาณความชื้นของข้าวเปลือก	-
$Q$	อัตราการถ่ายเทความร้อนจริง	$W$
$S_\infty$	พื้นที่ผิวดองส่วนควบແเน่น	$m^2$
$S_\infty$	พื้นที่ผิวดองส่วนทำระเหย	$m^2$
$t$	ช่วงเวลาในการเก็บข้าวเปลือก	ชั่วโมง
$\tau$	อุณหภูมิในข้าวเปลือก	องศาเซลเซียส

## ลำดับสัญลักษณ์ (ต่อ)

สัญลักษณ์	ความหมาย	หน่วย
$T_{b,new}$	อุณหภูมิข้าวเปลือกในชั่วโมงที่ทำการคำนวณ	องศาเซลเซียส
$T_{b,o}$	อุณหภูมิข้าวเปลือกในชั่วโมงที่ผ่านมา	องศาเซลเซียส
$T_{si}$	อุณหภูมิเหลืองระหว่างความร้อน	องศาเซลเซียส
$T_{so}$	อุณหภูมิเหลืองกำเนิดความร้อน	องศาเซลเซียส
$V_t$	ปริมาตรของของเหลวในไชฟอนที่ขณะยังไม่ได้ทำงาน	$m^3$
$Z$	ความต้านทานความร้อนรวม	K/W
$Z_1$	ความต้านทานความร้อนระหว่างเหล็กและพิวข้างนอกของส่วนทำระเหย	K/W
$Z_{10}$	ความต้านทานความร้อนในแนวแกนตามผนังของท่อ	K/W
$Z_2$	ความต้านทานความร้อนโดยการนำผ่านความหนาของผนังท่อเทอร์โน้ตไชฟอนในส่วนของส่วนทำระเหย	K/W
$Z_3$	ความต้านทานความร้อนภายในของไอลที่กำลังเดือด	K/W
$Z_{3f}$	ความต้านทานความร้อนพิล์มของเหลว	K/W
$Z_{3p}$	ความต้านทานความร้อนในแอ่งเดือด	K/W
$Z_4$	ความต้านทานความร้อนระหว่างหน้าสัมผัสไอลกับพิวของของเหลวในส่วนของส่วนทำระเหย	K/W
$Z_5$	ค่าความต้านทานความร้อนของ Pressure drop ระหว่างทางจากส่วนทำระเหยไปส่วนควบคุม	K/W
$Z_6$	ความต้านทานความร้อนระหว่างหน้าสัมผัสไอลกับพิวของของเหลวในส่วนของส่วนควบคุม	K/W
$Z_7$	ความต้านทานความร้อนภายในของไอลที่กำลังควบคุม	K/W
$Z_8$	ความต้านทานความร้อนโดยการนำผ่านความหนาของผนังท่อเทอร์โน้ตไชฟอนในส่วนควบคุม	K/W
$Z_9$	ความต้านทานความร้อนระหว่างพิวของส่วนควบคุมกับเหล็กและพิวความร้อน	K/W
$\rho_l$	ความหนาแน่นของสารทำงานในสถานะของเหลว	$kg/m^3$
$\rho_v$	ความหนาแน่นของสารทำงานในสถานะก๊าซ	$kg/m^3$

### ตัวดับสัญลักษณ์ (ต่อ)

สัญลักษณ์	ความหมาย	หน่วย
$\lambda_t$	สัมประสิทธิ์การนำความร้อนของสารทำงาน	W/m.K
$h_{fg}$	ค่าความร้อนแฝงของสารทำงาน	J/kg
$c_p$	ค่าความจุความร้อนจำเพาะของสารทำงาน	J/kg.K
$\mu_t$	สัมประสิทธิ์ความหนืดของสารทำงาน	$m^2/s$
$P_v$	ความดันไออกของสารทำงาน	Pa
$P_a$	ความดันของบรรยากาศ	Pa
$\Delta T$	ค่าความแตกต่างของอุณหภูมิระหว่างเหล็กกับเน็ตความร้อนกับเหล็กที่ระบุความร้อน	องศาเซลเซียส



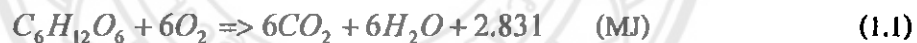
## บทที่ 1

### บทนำ

#### 1.1 ที่มาและความสำคัญของโครงงาน

ประเทศไทยมีสังคมและเศรษฐกิจอยู่บนพื้นฐานของการเกษตรกรรมเป็นหลัก และผลผลิตของประเทศไทยนั้นมีมากน้อยหลากหลาย และผลผลิตที่สำคัญและมีมากที่สุดภายในประเทศไทยนั่นก็คือ ข้าว ซึ่งเป็นอาหารหลักของคนไทย และยังมีการส่งออกสู่ต่างประเทศเป็นอันดับต้นๆ ของโลก ดังนั้น ในปัจจุบันการผลิตข้าวของประเทศไทย จึงได้มีการใช้เครื่องจักรกลการเกษตรเข้ามามากที่การใช้กำลังคนเหมือนในอดีตที่ผ่านมา ข้าวเปลือกที่เก็บเกี่ยวและนวดโดยใช้เครื่องจักรจะสามารถเก็บเกี่ยวได้ในเวลาสั้นๆ และได้ในปริมาณมาก ข้าวเปลือกที่เก็บเกี่ยวด้วยเครื่องนวดจะมีปริมาณความชื้นสูงอยู่ที่ระหว่าง 20-24% ดังนั้นจึงมีความจำเป็นที่จะต้องมีการลดความชื้นให้แก่ข้าวเปลือก มิเช่นนั้นแล้วจะเกิดการเสื่อมสภาพจากเยื่อตัวและเชื้อรา โดยเฉพาะอย่างยิ่งในช่วงฤดูฝนที่จะมีความชื้นมาก ซึ่งจะทำการลดความชื้นในข้าวเปลือกได้ยาก โดยทั่วไปแล้วการเก็บรักษาข้าวเปลือกจะเก็บที่ความชื้น 12-14%

ปริมาณความชื้นในข้าวเปลือกนั้นมีผลมากต่อปริมาณความร้อนในข้าวเปลือก ซึ่งเกิดจาก การหายใจของข้าวเปลือกและสามารถแสดงได้โดยสมการทางปฏิกริยาเคมีได้, [1] คือ



ซึ่งจากปฏิกริยาเคมีข้างต้นจะเห็นได้ว่ามีความร้อนออกมากจำนวนหนึ่งหลังจากมีการทำปฏิกริยาเคมีของกลุ่มโคสและออกซิเจน ซึ่งจะพบว่าความร้อนจำนวนมากนี้เป็นตัวกำหนดปริมาณไอน้ำในข้าวเปลือกหรือที่เรียกว่า ความชื้น นั่นเอง ดังนั้นเพื่อเป็นการลดความชื้นในข้าวเปลือกในสภาวะการเก็บข้าวเปลือกจึงต้องมีการระบายความร้อนจำนวนมากนี้ออกจากข้าวเปลือกนั่นเอง วิธีการเก็บรักษาข้าวเปลือกนั้นโดยทั่วๆ ไปทำได้หลายวิธี คือ การเก็บในสภาพปกติ โดยที่ไม่มีการควบคุมอุณหภูมิและความชื้นสัมพัทธ์ของอากาศ หมายถึง การเก็บข้าวเปลือกไว้ในโรงเก็บปีกที่ไม่มีการควบคุมอุณหภูมิและความชื้นสัมพัทธ์ภายในโรงเก็บ เป็นวิธีที่นิยมใช้อยู่เป็นส่วนใหญ่ เนื่องจากมีการลงทุนและเสียค่าใช้จ่ายค่า แต่โอกาสที่จะเกิดความเสียหายในระหว่างการเก็บรักษาสูง การเก็บในสภาพที่มีการควบคุมความชื้นสัมพัทธ์ของอากาศ ได้แก่ การเก็บข้าวเปลือกไว้ในภาชนะเก็บที่มีดีไซด์ สามารถป้องกันการเคลื่อนที่ของอากาศได้ เช่น การเก็บในถังสังกะสี เป็นต้น การเก็บข้าวเปลือกไว้ในสภาพปิด เช่น ความชื้นของข้าวเปลือกจะเป็นตัวกำหนดความชื้น

สัมพัทธ์ของอากาศภายในห้องที่เก็บ ถ้าความชื้นของข้าวเปลือกต่ำ ความชื้นสัมพัทธ์ภายในห้องบรรจุก็จะต่ำ ข้าวเปลือกที่เก็บจะเกิดการเสียหายน้อย แต่ถ้าความชื้นสัมพัทธ์ของข้าวเปลือกสูง ข้าวเปลือกที่เก็บก็จะเกิดความเสียหายสูง ได้ เช่น กัน การเก็บในสภาพที่มีการควบคุมอุณหภูมิ เพียงอย่างเดียว เช่น การเก็บข้าวเปลือกไว้ในตู้เย็นหรือตู้เย็น ในไช ໄຕเก็บข้าวที่มีการเป่าลมเย็น หรือ การเก็บข้าวเปลือกที่มีเทอร์ไม้ฟ่อนระบบความร้อน ส่วนการเก็บในสภาพที่มีการควบคุม อุณหภูมิและความชื้นสัมพัทธ์ของอากาศ วิธีนี้เป็นวิธีที่คิดที่สุด สามารถป้องกันและลดความเสียหาย ของข้าวเปลือกได้ดีสามารถเก็บรักษาข้าวเปลือกให้คงคุณภาพดีได้เป็นเวลานาน แต่การลงทุนและ เสียค่าใช้จ่ายในการซื้ออุปกรณ์ เช่น พันธุ์ข้าวในขนาดการเรือนพันธุ์

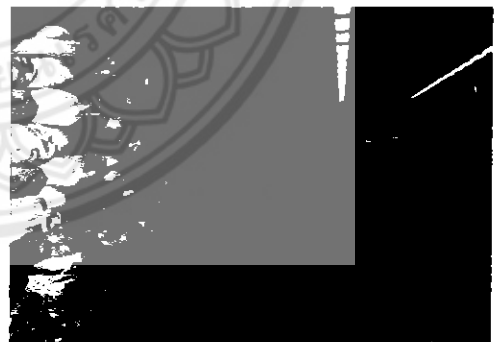


(ก)

(บ)



(ค)



(ง)

### รูปที่ 1.1 แสดงการเก็บรักษาข้าวเปลือกโดยวิธีต่างๆ, [8]

- 1.1 (ก) การเก็บข้าวเปลือกโดยที่ไม่มีการควบคุมอุณหภูมิและความชื้นสัมพัทธ์ของอากาศ
- 1.1 (บ) การเก็บข้าวเปลือกในสภาพที่มีการควบคุมความชื้นสัมพัทธ์ของอากาศ
- 1.1 (ค) การเก็บข้าวเปลือกในสภาพที่มีการควบคุมอุณหภูมิเพียงอย่างเดียว
- 1.1 (ง) การเก็บข้าวเปลือกในสภาพที่มีการควบคุมอุณหภูมิและความชื้นสัมพัทธ์ของอากาศ

วิธีการเก็บรักษาข้าวเปลือกในชั้งกลางในสภาพปกติและเก็บในภาชนะปิดมิคริคเพื่อควบคุมความชื้นเป็นวิธีที่ลงทุนต่ำกว่าจริง แต่มีประสิทธิภาพในการระบายความร้อนเพื่อลดความชื้นไม่ดีมากนัก ส่วนการเก็บข้าวเปลือกในสภาพที่มีการควบคุมอุณหภูมิและความชื้นสัมพัทธ์ของอากาศ เป็นวิธีที่มีประสิทธิภาพสูงที่สุดแต่ก็ต้องมีการลงทุนสูงที่สุดด้วยเหมือนกัน ส่วนการเก็บข้าวเปลือกในสภาพที่มีการควบคุมอุณหภูมิเพียงอย่างเดียว เป็นวิธีที่เหมาะสมที่สุดสำหรับการเก็บรักษาข้าวเปลือกโดยทั่วไป เพราะมีประสิทธิภาพที่ดีและมีการลงทุนที่ไม่สูงมากนักเมื่อมีการเก็บรักษาข้าวเปลือกในปริมาณมากๆ สำหรับการเก็บรักษาข้าวเปลือกในสภาพที่มีการควบคุมอุณหภูมิเพียงอย่างเดียว มีวิธีการระบายความร้อนที่นิยนใช้กันมาก คือ วิธีใช้พัดลมเป่า วิธีนี้สามารถใช้ลดความชื้นได้ แต่ต้องการการลงทุนที่สูงและบังคับต้องเสียค่าใช้จ่ายในส่วนของค่าไฟฟ้าในแต่ละเดือน อีกด้วย ดังนั้นจึงมีการนำท่อเทอร์โมไฟฟ่อนที่มีสารทำงานไนโตรเจนออกซิเจน ไว้ในห้องท่อที่มีอุณหภูมิต่ำกว่า และด้วยเหตุความร้อนให้กับอากาศ และกลั่นตัวเป็นหยดน้ำไนโตรเจน พ่นท่อลงสู่ด้านล่างของห้องท่อเทอร์โมไฟฟ่อน วิธีนี้อาจต้องลงทุนสูงในขั้นแรก แต่ไม่มีค่าใช้จ่ายระหว่างการดำเนินการ และบังมีความสามารถในการระบายความร้อนในข้าวเปลือกได้อย่างทั่วถึง จึงได้มีการศึกษาวิจัยเบริร์บันเพียบผลเชิงสมรรถนะและเชิงเศรษฐศาสตร์ระหว่างการระบายความร้อนแบบใช้ลมเป่า กับการระบายความร้อนโดยใช้เทอร์โมไฟฟ่อนของโรงงานการวิเคราะห์สมรรถนะ และผลเชิงเศรษฐศาสตร์ของการระบายความร้อนในข้าวเปลือกโดยใช้เทอร์โมไฟฟ่อน ซึ่งผลปรากฏว่า การระบายความร้อนในข้าวเปลือกโดยใช้เทอร์โมไฟฟ่อน สามารถรักษาอุณหภูมิของข้าวเปลือกได้ใกล้เคียงกับแบบใช้ลมเป่า และมีระยะเวลาคงทนที่สูงกว่า และอัตราการตอบแทนภายในต่ำกว่าแบบใช้ลมเป่า, [1]

โดยทั่วไปแล้ว ในการวิเคราะห์ที่หรือคำนวณระบบระบายความร้อนโดยเทอร์โมไฟฟ่อนจะต้องสมมติฐานว่าการกระจายอุณหภูมิในข้าวเปลือกนั้นคงที่ ดังนั้นในการจัดเรียงห้องนั้นจึงมีการจัดเรียงโดยให้คำนึงถึงการกระจายอุณหภูมิในข้าวเปลือกแต่อย่าง ซึ่งในความเป็นจริงแล้ว การกระจายอุณหภูมิในข้าวเปลือกนั้นไม่สม่ำเสมอ เมื่อจากบริเวณของพื้นผิวของข้าวเปลือกที่อยู่ใกล้กับผนังของถังเก็บจะมีการพาความร้อนโดยธรรมชาติก็เกิดขึ้น

ดังนั้นก่ออุ่นผู้จัดทำจึงเห็นว่า ควรจะทำการศึกษาถึงลักษณะการกระจายอุณหภูมิในข้าวเปลือก เพื่อเพิ่มความถูกต้องและแม่นยำในการวิเคราะห์ระบบการระบายความร้อนในข้าวเปลือกโดยใช้เทอร์โมไฟฟ่อนให้มากขึ้น โดยใช้วิธีการจัดเรียงห้องให้มีความเหมาะสมกัน ลักษณะการกระจายอุณหภูมิของข้าวเปลือกให้มากขึ้น โดยจะวิเคราะห์จากโปรแกรมจำลองที่สร้างขึ้นมา เพื่อหาการกระจายอุณหภูมิของข้าวเปลือกและการระบายความร้อนออกจากข้าวเปลือกโดยใช้เทอร์โมไฟฟ่อน

## 1.2 วัตถุประสงค์

1.2.1 สร้างโปรแกรมจำลองการกระจายอุณหภูมิของข้าวเปลือก ในถังเก็บข้าวเปลือกที่มีการระบายความร้อนโดยเทอร์โน่ไฟฟอน

1.2.2 ศึกษาผลกระบวนการของตัวแปรต่างๆ ที่มีผลต่อการกระจายอุณหภูมิของข้าวเปลือกที่มีการระบายความร้อนโดยเทอร์โน่ไฟฟอน คือ ขนาดของกริด (Grid size) จำนวนท่อเทอร์โน่ไฟฟอน และการจัดเรียงของท่อเทอร์โน่ไฟฟอน

## 1.3 ขอบเขตการศึกษา

1.3.1 ระนาบความร้อนข้าวเปลือกขนาด 1000 กิโลกรัม

1.3.2 มีการระบายความร้อนของข้าวเปลือกในส่วนควบคุมแน่นของเทอร์โน่ไฟฟอน โดยใช้การพากความร้อนแบบธรรมชาติของอากาศ

1.3.3 ถังเก็บข้าวเปลือกเป็นถังทรงปริมาตรสี่เหลี่ยม มีความสูง 1 m และมีหน้าตัดเป็นสี่เหลี่ยมจตุรัสขนาด  $1.357 \times 1.357$  m

1.3.4 ใช้โปรแกรม MATLAB ในการสร้างโปรแกรมจำลอง

1.3.5 เทอร์โน่ไฟฟอนสร้างมาจากห่อหงองแครงเนื่องจากหงองแครงเกิดสนิมและผุกร่อนได้หากจึงมีโอกาสสนับน้ำก็จะเกิดการร้าวของสารทำงาน อีกทั้งหงองแครงขังไม่เป็นสารเฝรังสีเงินไม่ก่อให้เกิดสารปนเปื้อนในข้าวเปลือก ซึ่งห่อหงองแครงที่ใช้มีขนาดเดินผ่านศูนย์กลางเท่ากับ 0.5 m โดยที่มีขนาดความยาวส่วนที่ระยะเหยียบเท่ากับ 1 m และมีขนาดความยาวส่วนควบคุมเท่ากับ 2 m และใช้ R134a เป็นสารทำงาน เนื่องจากมีช่วงอุณหภูมิการทำงานที่เหมาะสมกับระบบที่ต้องการศึกษา และไม่เป็นสารที่ทำลายชั้นบรรทุก [1]

## 1.4 ประโยชน์ที่คาดว่าจะได้รับ

1.4.1 ได้โปรแกรมที่นำเข้าการกระจายอุณหภูมิของข้าวเปลือกในถังเก็บ ที่มีการระบายความร้อนโดยเทอร์โน่ไฟฟอน

1.4.2 ได้ระบบการระบายความร้อนในข้าวเปลือกโดยเทอร์โน่ไฟฟอนที่เหมาะสมที่สุดในเชิงสมรรถนะทางความร้อน นั่นคือ ข้าวเปลือกมีอุณหภูมิสม่ำเสมอและคงที่ที่ประมาณ 28-29 องศาเซลเซียส

## 1.5 วิธีการดำเนินงาน

1.5.1 ศึกษาและรวบรวมทฤษฎีที่เกี่ยวข้องกับการทำงานของระบบการระบายความร้อนในข้าวเปลือกที่ใช้ชุดเทอร์โน่ไฟฟอนแบบท่อเดียว

**1.5.2 ออกแบบแบบจำลองการทำงานของระบบระบบทรรศน์ในข้าวเปลือกที่ใช้ชุดเทอร์ในไฟฟอน**

**1.5.3 รวบรวมข้อมูลแต่ละส่วนเพื่อใช้ในการสร้างโปรแกรม**

**1.5.3.1 ข้อมูลที่เกี่ยวข้องกับข้าวเปลือก อาทิเช่น ค่าความชุกความร้อนจำเพาะ ค่าความหนาแน่น เป็นต้น**

**1.5.3.2 ขนาดเดินผ่านศูนย์กลาง ความยาวส่วนท่าระเหย และความยาวส่วนความแน่น ของเทอร์ในไฟฟอนที่นำมาใช้ในการคำนวณ**

**1.5.3.3 ขนาดของถังที่ใช้ในการเก็บข้าวเปลือก**

**1.5.4 ออกแบบสมการที่จำเป็นต่อการคำนวณของโปรแกรม เช่น สมการพลังงานความร้อนในข้าวเปลือก สมการการถ่ายเทาความร้อนในเทอร์ในไฟฟอน สมการสมดุลพลังงาน เป็นต้น**

**1.5.5 ออกแบบการเรียงตัวของห่อเทอร์ในไฟฟอนในถังเก็บข้าวเปลือก**

**1.5.6 เขียนแผนผังลำดับโปรแกรม โดยการเขียนภาพแสดงขั้นตอนของการทำงานตามลำดับก่อนหลังเพื่อความสะดวกในการทำความเข้าใจ**

**1.5.7 เขียนโปรแกรม**

**เริ่มจากการเขียนสมการต่างๆ ที่ออกแบบไว้แล้ว ลงในโปรแกรม MATLAB ตามลำดับ ในแผนผังการทำงาน**

**1.5.8 การทดสอบโปรแกรม**

**ตรวจสอบความถูกต้องและความสมมูลย์ของคำสั่งต่างๆ หรือโปรแกรมที่เขียนเพื่อหาข้อผิดพลาดที่จะทำให้ไม่สามารถทำงานได้และทำการแก้ไขให้ถูกต้อง ทำการตรวจสอบโปรแกรม มีลำดับขั้นตอนการทำงานดังนี้ กือ**

- ตรวจสอบความถูกต้องทางไวยากรณ์ เพราะการเขียนคำสั่งผิดไปจากไวยากรณ์ของภาษาแต่ละภาษา ย่อมก่อให้เกิดความผิดพลาดทางไวยากรณ์

- ตรวจสอบโปรแกรมกับข้อมูล หลังจากตรวจสอบความถูกต้องทางไวยากรณ์แล้ว ทำโดยส่งไปโปรแกรมและข้อมูลให้เครื่องคอมพิวเตอร์ประมวลผล

**1.5.9 ศึกษาผลกระทบของตัวแปรต่างๆ ที่มีผลต่อการกระจายอุณหภูมิของข้าวเปลือกที่มีการระบบทรรศน์โดยเทอร์ในไฟฟอน**

**1.5.10 จัดทำรายงาน**

### 1.6 ระยะเวลาและแผนการดำเนินงาน

ตาราง 1.1 ระยะเวลาและแผนการดำเนินงาน

กิจกรรม	2550										2551	
	ม.ค.	ก.พ.	มี.ค.	เม.ย.	พ.ค.	มิ.ย.	ก.ค.	ส.ค.	ก.ย.	ธ.ค.	มี.ค.	เม.ย.
1.ศึกษาข้อมูลและทฤษฎีพื้นฐาน												
2.เขียนโปรแกรมจำลองระบบ												
3.ทดสอบและปรับปรุงแก้ไขโปรแกรม												
4.ศึกษาผลกระทบของตัวแปร												
5.วิเคราะห์ผลการกระจายอุณหภูมิในข้าวเปลือก												
6.สรุป												
7.จัดทำรูปเล่นรายงาน												

### 1.7 สถานที่ปฏิบัติงาน

ภาควิชาวิศวกรรมเครื่องกล คณะวิศวกรรมศาสตร์ มหาวิทยาลัยนเรศวร จังหวัดพิษณุโลก

### 1.8 อุปกรณ์ที่ใช้

1.8.1 กอนพิวเตอร์

1.8.2 โปรแกรม MATLAB

### 1.9 งบประมาณที่ใช้

1.9.1 ค่ากระดาษพิมพ์ 200 บาท

1.9.2 ค่าถ่ายเอกสาร 100 บาท

1.9.3 ค่าหมึกพิมพ์ 300 บาท

1.9.4 ค่านั่งสื่อประกอบการทำโครงการ 1000 บาท

1.9.5 ค่าจัดทำรูปเล่นรายงาน 900 บาท

1.9.6 ค่าปกจัดทำโครงการ 500 บาท

รวม 3000 บาท

## บทที่ 2

### หลักการและทฤษฎี

#### 2.1 การเก็บรักษาข้าวเปลือก

เป้าหมายหลักของการเก็บรักษาข้าวเปลือก คือ ต้องมีการสูญเสียของข้าวเปลือกในขณะเก็บรักนาน้อยที่สุดทั้งด้านปริมาณและคุณภาพ หลักการเก็บรักษาโดยทั่วไป คือ ความเก็บรักษาข้าวไว้ในสภาพหรือโรงเก็บที่มีความชื้นสัมพัทธ์และอุณหภูมิของอากาศต่ำ (ในที่แห้งและที่เย็น)

##### 2.1.1 วิธีการเก็บรักษาข้าวเปลือก

การเก็บรักษาข้าวเปลือกโดยทั่วๆ ไป แบ่งออกได้เป็น 4 วิธี ได้แก่

1. การเก็บรักษาในสภาพปึกติด ไม่มีการควบคุมอุณหภูมิและความชื้นสัมพัทธ์ของอากาศ หมายถึง การเก็บข้าวเปลือกไว้ในโรงเก็บปึกติดที่ไม่มีการควบคุมอุณหภูมิและความชื้นสัมพัทธ์ ภายในโรงเก็บ เป็นวิธีที่นิยมใช้กันอยู่ส่วนใหญ่ เพราะมีการลงทุนน้อยและเสียค่าใช้จ่ายต่ำ แต่ โอกาสที่จะเกิดความเสียหายในระหว่างการเก็บรักษามีสูง เช่น การเก็บรักษาในโรงเก็บหรือผู้จัด ของเกษตรกร โรงสีหรือโกลดิ้งส่งออกข้าวเปลือกขนาดใหญ่

2. การเก็บในสภาพที่มีการควบคุมอุณหภูมิเพียงอย่างเดียว เช่น การเก็บข้าวเปลือกไว้ในตู้แช่ ตู้เย็น หรือในไซโลที่มีการเป่าลมเข็น เป็นต้น

3. การเก็บในสภาพที่มีการควบคุมความชื้นสัมพัทธ์ของอากาศ ได้แก่ การเก็บข้าวเปลือกไว้ในภาชนะที่มีดีซิค สามารถป้องกันการเคลื่อนที่ของอากาศได้ เช่น การเก็บเมล็ดพันธุ์ไว้ในถังสังกะสี เป็นต้น การเก็บข้าวเปลือกในสภาพปึกเช่นนี้ ความชื้นของข้าวเปลือกจะเป็นตัวกำหนดความชื้นสัมพัทธ์ของอากาศภายในภาชนะที่เก็บ ถ้าค่าความชื้นของข้าวเปลือกต่ำ ความชื้นสัมพัทธ์ของข้าวเปลือกสูง ความชื้นสัมพัทธ์ภายในภาชนะบรรจุก็จะสูง ข้าวที่เก็บจะเกิดความเสียหายสูง ดังนั้น การเก็บรักษาข้าวเปลือกด้วยวิธีนี้ ข้าวเปลือกควรมีความชื้นก่อนเก็บต่ำทั้งนี้ขึ้นอยู่กับระยะเวลาที่ต้องการเก็บรักษา อย่างไรก็ตาม โดยทั่วไปแล้วจะเก็บที่ความชื้นเท่ากับ 12-14% วิธีนี้เป็นวิธีที่ได้ผลดีและมีค่าใช้จ่ายต่ำ

4. การเก็บในสภาพที่มีการควบคุมอุณหภูมิและความชื้นสัมพัทธ์ของอากาศ วิธีนี้เป็นวิธีที่มีประสิทธิภาพดีที่สุด สามารถป้องกันและลดความเสียหายของข้าวเปลือกได้ดี เก็บรักษาให้คงคุณภาพเป็นเวลานาน แต่มีการลงทุนและเสียค่าใช้จ่ายในการซื้อและสูง เช่น การเก็บอนุรักษ์เชื้อพันธุ์ ข้าวในชนาการเชื้อพันธุ์

) จากวิธีการเก็บรักษาข้าวเปลือกทั้ง 4 วิธีข้างต้น พบว่าการเก็บรักษาข้าวเปลือกในถังเก็บที่มีเทอร์โนไซฟอน จะจดอยู่ในวิธีที่ 2 คือ การเก็บในสภาพที่มีการควบคุมอุณหภูมิเพียงอย่างเดียวโดยจะรักษาอุณหภูมิของข้าวเปลือกไว้ที่ประมาณ 28-29 องศาเซลเซียส

### 2.1.2 วิธีปฏิบัติในการเก็บรักษาข้าวเปลือก

สิ่งที่ควรคำนึงถึงในการเก็บรักษาข้าวเปลือก คือ การรักษาปริมาณและคุณภาพข้าวเปลือก ที่เก็บให้คงที่หรือมีการเปลี่ยนแปลงน้อยที่สุด ปัจจัยที่เกี่ยวข้องกับการเก็บรักษาข้าวเปลือก ได้แก่

1. ความชื้นของข้าวเปลือกที่เก็บ ได้ทั่วไปความชื้นของข้าวเปลือกไม่ควรสูงเกิน 14% ถ้าเป็นเมล็ดพันธุ์ ความชื้นไม่ควรเกิน 10%

2. ความสะอาด ข้าวเปลือกที่จะเก็บต้องสะอาด ไม่มีสิ่งเจือปน เช่น เศษฟาง ตอซัง วัชพืช vrou หิน ดิน ราย เพราะสิ่งเหล่านี้คุดความชื้น ได้ดี ทำให้ข้าวเปลือกมีความชื้นมากขึ้นในขณะเก็บรักษา

3. การปลดคลາกโรค แมลง ศัตรูต่างๆ ข้าวเปลือกที่จะนำไปเก็บต้องปลดคลากรอย แมลง และศัตรูต่างๆ หากพบควรหาวิธีป้องกัน กำจัดที่ถูกต้องและเหมาะสม

4. การควบคุมอุณหภูมิและความชื้นสัมพัทธ์ภายในโรงเก็บให้อยู่ในสภาพที่เหมาะสม

5. ลักษณะและสถานที่ตั้งของโรงเก็บโรงเก็บที่ดีควรตั้งอยู่บนที่คอนและแห้ง มีการระบายน้ำที่ดีเพื่อป้องกันน้ำท่วม รอบๆบริเวณโรงเก็บต้องสะอาด โปร่ง ไม่มีคันไม้ใหญ่ปักฉุน สภาพโรงเก็บต้องมีผนังปิดมิชิด แน่นหนา มีหลังคา กันแดด กันฝน กันน้ำ ก้าง ควรยกพื้นสูงเพื่อให้มีการถ่ายเทอากาศด้านล่าง ตามช่องเปิดต่างๆควรมีตาข่ายป้องกัน นก หนู และสัตว์ศัตรูต่างๆ

6. การจัดการในขณะเก็บรักษา ควรมีการตรวจสอบข้าวเปลือกที่เก็บและโรงเก็บเป็นระยะๆ

## 2.2 เทอร์โนไซฟอน

### 2.2.1 ลักษณะของเทอร์โนไซฟอน

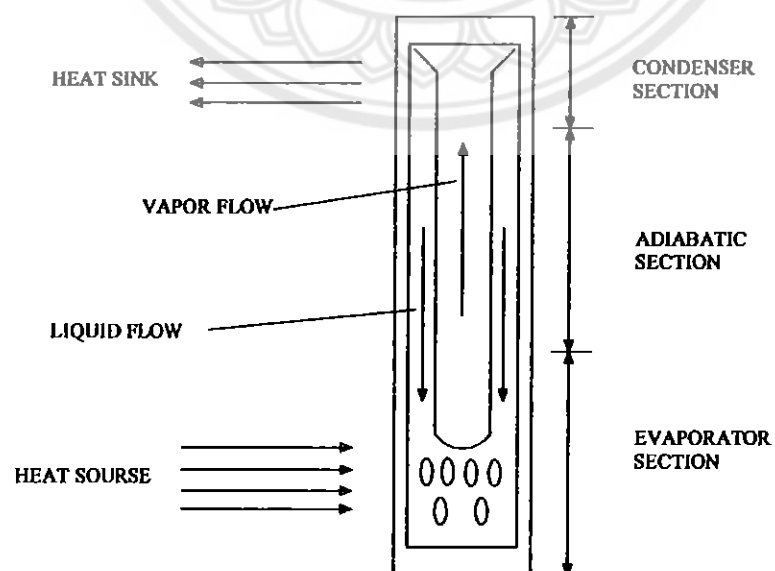
เทอร์โนไซฟอนเป็นอุปกรณ์ส่งถ่ายความร้อนชนิดหนึ่งที่มีความสามารถในการส่งถ่ายความร้อนได้สูงมาก ประมาณ 100 เท่า เมื่อเทียบกับค่าการนำความร้อนของห่อทองแดงที่มีนิคเท่ากัน (Dunn P.D. and Reay D.A., 1981) ห่อที่ใช้ทำจากห่อปลายปิดทั้งสองด้าน ภายในเป็นสุญญากาศบรรจุวัสดุทำงาน (Working fluid) ไว้จำนวนหนึ่ง ซึ่งแสดงดังรูป 2.1



รูปที่ 2.1 แสดงสักษณะของเทอร์โนไชฟอน

### 2.2.2 โครงสร้างของเทอร์โนไชฟอน

เทอร์โนไชฟอนมีส่วนประกอบ 3 ส่วน กือ ส่วนท่าระเหย (Evaporator) ซึ่งเป็นส่วนที่รับความร้อนจากแหล่งกำเนิดความร้อน ส่วนควบแน่น (Condenser) เป็นส่วนที่ระบบความร้อนออกจากราทำางานไปสู่บรรยายการ ส่วนกันความร้อน (Adiabatic) เป็นส่วนที่อุณหภูมิคงที่ ภายในท่อจะบรรจุสารทำงานปริมาณหนึ่งไว้ โดยสารทำงานจะเคลื่อนที่จากส่วนท่าระเหยไปยังส่วนควบแน่นเพื่อระบบความร้อนออกที่ส่วนนี้ ชนิดของสารทำงานขึ้นอยู่กับอุณหภูมิที่จะนำเทอร์โนไชฟอนไปใช้งาน ซึ่งโครงสร้างของเทอร์โนไชฟอนแสดงดังรูป 2.2



รูปที่ 2.2 แสดงโครงสร้างและหลักการทำงานของเทอร์โนไชฟอน, [1]

### 2.2.3 หลักการทำงานของเทอร์โน่ไฟฟอน

การทำงานของเทอร์โน่ไฟฟอนจะอาศัยหลักการของการเปลี่ยนสถานะของสารทำงาน เมื่อสารทำงานรับความร้อนจากแหล่งกำเนิดความร้อนจะทำให้สารทำงานเกิดการเปลี่ยนสถานะกลายเป็นไออกาให้เคลื่อนที่ขึ้นไปตามท่อจนถึงส่วนควบคุมและทำให้เกิดการระบายความร้อนระหว่างสารทำงานกับบรรยากาศภายนอกจนทำให้สารทำงานเกิดการเปลี่ยนสถานะกลับเป็นของเหลวอย่างเดิม และให้กลับลงสู่ส่วนท่าระเหยโดยแรงโน้มถ่วงของโลกเพื่อกลับไปรับความร้อนจากแหล่งกำเนิดความร้อนอีกรั้งหนึ่งซึ่งถือว่าเป็นการทำงานแบบวัฏจักร

### 2.2.4 ข้อดีของเทอร์โน่ไฟฟอน

1. ง่ายต่อการสร้าง
2. สามารถนำความร้อนสูง
3. สามารถถ่ายเทความร้อนได้เมื่อแหล่งรับและระบายความร้อนอยู่ห่างกัน
4. สามารถใช้เป็นอุปกรณ์ระบายความร้อนในบริเวณที่มีพื้นที่เล็กและแคบได้
5. ไม่ต้องการแหล่งกำลังงานจากภายนอกสำหรับใช้ในการทำงาน

### 2.2.5 อัตราการเติมสารทำงาน

ควรหลีกเลี่ยงการเติมสารทำงานที่มากเกินไป เพราะสารทำงานจะไปลดพื้นที่ในส่วนควบคุมและทำให้การถ่ายเทความร้อนลดลง แต่ถ้าเติมสารทำงานไม่เพียงพอ จะเกิดการแห้ง (Dry out) ขึ้นที่ผิวนอกของส่วนท่าระเหย อัตราการเติมสารทำงานแทนด้วยสัญลักษณ์ F เป็นสัดส่วนกับปริมาตรของเหลวในเทอร์โน่ไฟฟอนที่จะระบุไม่ได้ทำงาน (V) กับปริมาตรในส่วนท่าระเหย คือ

$$F = V_t / A l_e \quad (2.1)$$

โดยที่  $V_t$  คือ ปริมาณของของเหลวในเทอร์โน่ไฟฟอนขณะยังไม่ได้ทำงาน,  $m^3$

$A$  คือ พื้นที่หน้าตัดภายในของเทอร์โน่ไฟฟอนมีค่าเท่ากับ  $\pi D_e^2 / 4$ ,  $m^2$

$l_e$  คือ ความยาวในส่วนท่าระเหย,  $m$

$D_e$  คือ เส้นผ่านศูนย์กลางภายในของท่อเทอร์โน่ไฟฟอน,  $m$

สำหรับเทอร์โน่ไฟฟอนที่วางตัวอยู่ในแนวตั้ง โดยปกติจะเติมของเหลวมากกว่าครึ่งหนึ่งของส่วนท่าระเหยเพื่อให้ความหนาพิล์มนากกว่า  $0.3 \text{ mm}$  ตลอดความยาวท่อ ซึ่งจะอยู่ในช่วง  $40\%$  ถึง  $60\%$  ของส่วนท่าระเหยและ

$$V_t \geq 0.001 D_o (l_e + l_a + l_c) \quad (2.2)$$

เมื่อ  $D_o$  เป็นเส้นผ่านศูนย์กลางภายนอกของท่อเทอร์โมไฟฟ่อน, m  
 $l_e$  เป็นความยาวในส่วนทำระเหย, m  
 $l_a$  เป็นความยาวในส่วนที่ไม่มีการถ่ายเทความร้อน, m  
 $l_c$  เป็นความยาวในส่วนควบคุม, m

### 2.2.6 การถ่ายเทความร้อนของท่อร้อนไฟฟ่อน

ความสัมพันธ์ของค่าอัตราการถ่ายเทความร้อนจริง ( $Q_{ts}$ ) กับความต้านทานความร้อนรวม ( $Z$ ) และค่าความแตกต่างของอุณหภูมิระหว่างแหล่งกำเนิดความร้อนกับแหล่งระบบความร้อน ( $\Delta T = T_{so} - T_{si}$ ) คือ

$$Q_{ts} = \Delta T / Z \quad (2.3)$$

โดยที่  $T_{so}$  คือ อุณหภูมิแหล่งกำเนิดความร้อน, องศาเซลเซียส  
 $T_{si}$  คือ อุณหภูมิแหล่งระบบความร้อน, องศาเซลเซียส

ค่าความต้านทานความร้อนรวมประกอบด้วยค่าความต้านทานต่างๆ ดังแสดงในรูปที่ 2.3

$Z_1$  คือ ค่าความต้านทานความร้อนโดยการพาระหว่างแหล่งกำเนิดความร้อนและผิวค้านของส่วนทำระเหย

$Z_9$  คือ ค่าความต้านทานความร้อนโดยการพาระหว่างผิวของส่วนควบคุมกับแหล่งระบบความร้อน

ค่า  $Z_1$  และ  $Z_9$  หาได้จากสมการดังนี้

$$Z_1 = 1/(h_{eo} S_{eo}) \text{ and } Z_9 = 1/(h_{co} S_{co}) \quad (2.4)$$

โดยที่  $h_{eo}$  คือ สมประสิทธิ์การถ่ายเทความร้อนโดยการพาที่พื้นผิวของส่วนทำระเหย,  $W/m^2K$   
 $S_{eo}$  คือ พื้นที่ผิวของส่วนทำระเหย,  $m^2$   
 $h_{co}$  คือ สมประสิทธิ์การถ่ายเทความร้อนโดยการพาที่พื้นผิวของส่วนควบคุม,  $W/m^2K$   
 $S_{co}$  คือ พื้นที่ผิวของส่วนควบคุม,  $m^2$

$Z_2$  กือ ค่าความด้านท่านความร้อนโดยการนำ ผ่านความหนาของผนังท่อเทอร์โน้ไซฟอน ในส่วนทำระเหย

$Z_8$  กือ ค่าความด้านท่านความร้อนโดยการนำ ผ่านความหนาของผนังท่อเทอร์โน้ไซฟอน ในส่วนควบแน่น

ค่า  $Z_2$  และ  $Z_8$  หาได้จากสมการดังนี้

$$Z_2 = \ln(D_o / D_i) / 2\pi l_e \lambda_x \quad \text{และ} \quad Z_8 = \ln(D_o / D_i) / 2\pi l_e \lambda_x \quad (2.5)$$

โดยที่  $D_o$  กือ เส้นผ่านศูนย์กลางภายนอกของท่อร์โน้ไซฟอน, m

$D_i$  กือ เส้นผ่านศูนย์กลางภายในของท่อร์โน้ไซฟอน, m

$\lambda_x$  กือ ค่าสัมประสิทธิ์การนำความร้อน, W/m.K

$Z_3$  กือ ค่าความด้านท่านความร้อนภายในของของไอลที่กำลังเดือดในท่อร์โน้ไซฟอน

$Z_7$  กือ ค่าความด้านท่านความร้อนภายในของของไอลที่กำลังควบแน่นในท่อร์โน้ไซฟอน

ค่า  $Z_3$  และ  $Z_7$  จะขึ้นอยู่กับสมบัติของของไอล ขนาดของท่อร์โน้ไซฟอน และอัตราการถ่ายเทความร้อน ซึ่งสามารถหาได้ดังนี้

$$Z_{3f} = (cQ^{\frac{1}{3}}) / (D^{\frac{4}{3}} g^{\frac{1}{3}} l_e \phi^{\frac{4}{3}}) \quad (2.6)$$

$$\text{โดยที่} \quad \phi_2 = (h_{fg} \lambda_l^3 \rho_l / \mu_l)^{\frac{4}{3}} \quad (2.7)$$

$$Z_{3p} = 1 / (\phi_3 g^{0.2} Q^{0.4} (\pi D l_e)^{0.6}) \quad (2.8)$$

$$\text{โดยที่} \quad \phi_3 = \frac{\rho_l^{0.65} \lambda_l^{0.3} c_p^{0.7}}{\rho_v^{0.25} h_{fg}^{0.4} \mu_l^{0.1}} \left[ \frac{Pv}{Pa} \right]^{0.23} \times 0.32 \quad (2.9)$$

โดยที่  $\rho_l$  กือ ความหนาแน่นของสารทำงานในสถานะของเหลว, kg/m<sup>3</sup>

$\rho_v$  กือ ความหนาแน่นของสารทำงานในสถานะแก๊ส, kg/m<sup>3</sup>

$\lambda_l$  กือ สัมประสิทธิ์การนำความร้อนของสารทำงาน, W/m.K

$h_{fg}$  กือ ค่าความร้อนแห้งของสารทำงาน, J/kg

$c_p$  กือ ค่าความจุความร้อนจำเพาะของสารทำงาน, J/kg.K

$\mu$ , คือ สัมประสิทธิ์ความหนืดของสารทำงาน,  $\text{m}^2/\text{s}$

$P_v$ , คือ ความดันไออกซ์ของสารทำงาน, Pa

$P_a$ , คือ ความดันของบรรยากาศ, Pa

ถ้า  $Z_{3p} < Z_{3f}$  ให้  $Z_3 = Z_{3p}$

ถ้า  $Z_{3p} > Z_{3f}$  คำนวณ  $Z_3$  จากสมการ

$$Z_3 = Z_{3p}F + Z_{3f}(1-F) \quad (2.10)$$

และ  $Z_7$  สามารถหาได้ดังนี้

$$\text{Re}_f = (4Q)/(h_{fg}\mu_f\pi D_i) \quad (2.11)$$

ถ้า  $50 < \text{Re}_f < 1300$  คำนวณ  $Z_7$  จากสมการ

$$Z_7 = (cQ^{1/3})/(D_i^{4/3}g^{1/3}l_e\phi_2^{4/3}) \quad (2.12)$$

ถ้า  $\text{Re}_f > 1300$  คำนวณ  $Z_7$  จากสมการ

$$Z_7 = ((cQ^{1/3})/(D_i^{4/3}g^{1/3}l_e\phi_2^{4/3})) \times 191\text{Re}_f^{-0.733} \quad (2.13)$$

โดยที่  $c = 0.235$

$Z_4$  และ  $Z_6$  เป็นความต้านทานความร้อนระหว่างหน้าสัมผัสไอกับผิวของของเหลวในส่วนทำระเหย และส่วนควบแน่น ตามลำดับ ซึ่งน้อยมาก ดังนั้นสามารถไม่นำมาพิจารณาได้

$Z_5$  เป็นความต้านทานความร้อนของ Pressure drop ระหว่างทางจากส่วนทำระเหยไปส่วนควบแน่น แต่มีค่าน้อยมาก ดังนั้นสามารถไม่นำมาพิจารณาได้

$Z_{10}$  เป็นความต้านทานความร้อนในแนวแกนตามผนังท่อ หาได้จาก

$$Z_{10} = (0.5l_e + l_a + 0.5l_c)/(A_x\lambda_x) \quad (2.14)$$

โดยที่  $A_x$  เป็นพื้นที่หน้าตัดของผนังท่อ,  $\text{m}^2$

สำหรับค่าແหน່ງການທຳງານປົກຕິ ເມື່ອສ່ວນທຳຮະເຫຼຸດຕໍ່ກວ່າສ່ວນຄວນແນ່ນການນຳຄວາມຮ້ອນ  
ຜ່ານພັນທານແນວແກນທ່ອຈະມີຜລນ້ອຍນາກຕ່ອສນຣຄນະຂອງເທັກໆໄນ້ໃຫ້ພຸນ  
ເຈື່ອນໄປຂອງການອອກແບນເມື່ອໄມ້ພິຈາລະນາການນຳຄວາມຮ້ອນໃນແນວແກນ ຄືອ

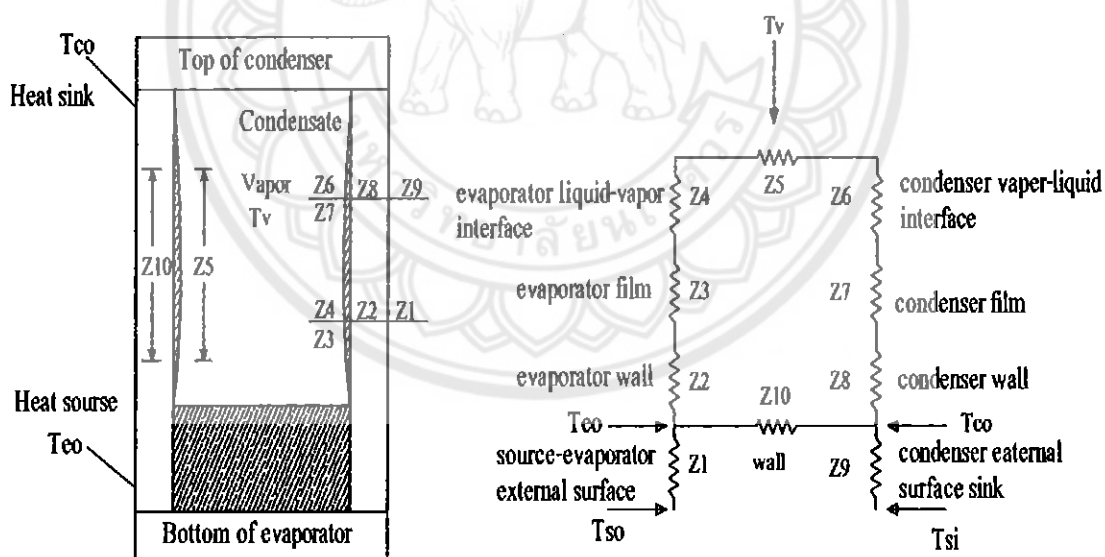
$$Z_{10} / (Z_2 + Z_3 + Z_5 + Z_7 + Z_8) > 20 \quad (2.15)$$

ດ້າເປັນໄປຕາມສົມກາຣ (2.15) ດ່າວນທານການຄວາມຮ້ອນຮ່ວມ ຄືອ

$$Z = Z_1 + Z_2 + Z_3 + Z_5 + Z_7 + Z_8 + Z_9 \quad (2.16)$$

ດ້າໄມ່ເປັນໄປຕາມສົມກາຣ (2.15) ດ່າວນທານການຄວາມຮ້ອນຮ່ວມ ຄືອ

$$Z = Z_1 + [(Z_2 + Z_3 + Z_5 + Z_7 + Z_8)^{-1} + (1/Z_{10})]^{-1} + Z_9 \quad (2.17)$$

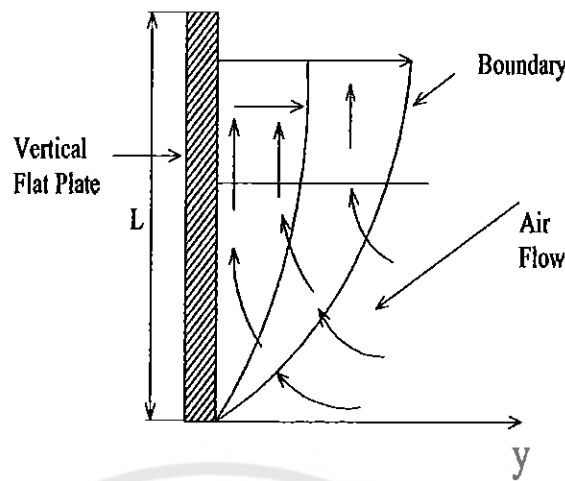


ຮູບທີ 2.3 ແຜດງວຈຮ່າວນທານການຄວາມຮ້ອນຮ່ວມ, [1]

## 2.3 ກາຣຄ່າຍເທຄວາມຮ້ອນໂດຍກາຣຄວາມຮ້ອນແບນອີສະຫະໂຮມຫາຕີ

### 2.3.1 ກາຣຄ່າຍເທຄວາມຮ້ອນແບນຫາຕີບັນແຜ່ນຮ່ານໃນແນວດຶງ

ພິຈາລະນາແຜ່ນຮ່ານຮ້ອນວ່າງອຸ່ງໃນແນວດຶງຈຶ່ງປະກອບດົວກາເກລືອນທີ່ຂອງຂອງໄໄລເຢືນຜ່ານໄປບັນແຜ່ນຮ່ານ ໂດຍທີ່ຄວາມຮ້ອນເກລືອນທີ່ສູງເຊື່ອ ດັ່ງແສດງໃນຮູບ (2.4)



รูปที่ 2.4 แสดงขอบเขตของความร้อนและชั้นขององไอลบนผิวน้ำในแนวตั้ง, [7]

กลุ่มนิติไว้妮ติชุดใหม่ที่มีความสำคัญในการถ่ายเทความร้อนแบบธรรมชาติ นั่นก็คือ Grashof Number โดยมีค่าดังนี้

$$Gr_x \equiv \frac{g\beta(T_w - T_\infty)x^3}{\nu^2} \propto \frac{\text{buoyancy forces}}{\text{viscous forces}} \quad (2.18)$$

หรือคิดความขาวทั้งหมดของแผ่นร้อน

$$Gr_x \equiv \frac{g\beta(T_w - T_\infty)L^3}{\nu^2} \quad (2.19)$$

สำหรับแก๊สอุบัติ  $\beta = 1/T$  เมื่อ  $T$  คืออุณหภูมิสัมบูรณ์  $(T_w - T_\infty)/2$  ในหน่วย R หรือ K

Grashof number สำหรับการพาโดยธรรมชาติ เหมือนค่าตัวเลข Reynold number ในการพาแบบบังคับ ส่วนค่า Nusselt number เป็นพังก์ชันของ Grashof และ Prandtl number ในการพาโดยธรรมชาติ กลุ่มหัวแปรไว้妮ติที่ใช้สำหรับหากความสัมพันธ์ของการพาแบบธรรมชาติ เพื่อทำการเปลี่ยนแปลงจากการไอลแบบร้อนเรียบเป็นการไอลแบบปั่นป่วน คือ Rayleigh number Ra คือ ผลคูณของ Grashof กับ Prandtl number ดังสมการ

$$Ra_x = Gr_x \text{Pr} \text{ or } Gr_L \text{Pr} \quad (2.20)$$

### หมายเหตุ

ค่า Rayleigh และ Grashof number เกิดจาก characteristic length สำหรับแผ่นร้าบวางในแนวตั้ง การเปลี่ยนแปลงจากการไอลแบบร้าบเรียนไปเป็นการไอลแบบปั่นป่วนเกิดขึ้นเมื่อ  $Ra_x = 10^9$

### สำหรับการไอลแบบร้าบเรียน

$$Nu_x = 0.68 + 0.503 [Ra_x \Psi(\text{Pr})]^{1/4} \quad (2.21)$$

และ

$$Nu_x = 0.68 + 0.67 [Ra_x \Psi(\text{Pr})]^{1/4} \quad (2.22)$$

โดยที่

$$\Psi(\text{Pr}) = \left[ 1 + \left( \frac{0.492}{\text{Pr}} \right)^{9/16} \right]^{-16/9} \quad (2.23)$$

### สำหรับการไอลแบบปั่นป่วน

$$\bar{Nu} = Nu_x = 0.15 [Ra_L \Psi(\text{Pr})]^{1/3} \quad (2.24)$$

คุณสมบัติต่างๆ ของของไอล หาได้จากอุณหภูมิเฉลี่ย  $(T_w + T_\infty)/2$

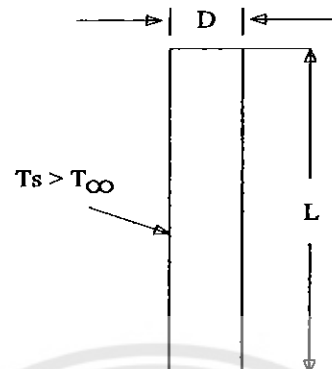
ดังนั้น หาสัมประสิทธิ์การพากความร้อนตามธรรมชาติ ( $\bar{h}$ ) หาได้จากสมการ

$$\bar{h} = \bar{Nu} k / L \quad (2.25)$$

อัตราความร้อนสูญเสีย ( $Q_{loss}$ ) จากแผ่นร้าบหาได้จากสมการ

$$Q_{loss} = \bar{h} A (T_w - T_\infty) \quad (2.26)$$

### 2.3.2 การพาราความร้อนแบบธรรมชาติบนทรงกระบอกแนวตั้ง [6]



รูปที่ 2.5 แสดงการพาราความร้อนตามธรรมชาติบนทรงกระบอกแนวตั้ง, [6]

พิจารณาทรงกระบอกแนวตั้งขนาดเส้นผ่านศูนย์กลาง  $D$  และสูง  $L$  ภายในของไอล ที่มี  $\text{Pr} \geq 0.7$  เก็บหาร์ท (Gebhart) สเปร์โรว์และเกรกเกอร์ พบว่าถ้า

$$(D/L) < (35/(Gr_L))^{1/4} \quad (2.27)$$

หากเป็นตามสมการ (2.25) แสดงว่าทรงกระบอกที่ใช้เป็นทรงกระบอกเรียกวาวหรือเส้นลวดเชbezci (Cebeci) มินโควิกซ์ (Minkowyes) และสเปร์โรว์แนะนำให้พิจารณาสัมประสิทธิ์การพาราความร้อนเฉลี่ยจาก

$$Nu_{m,plate} = \left[ 0.825 + \frac{0.387 Ra_L^{1/6}}{\left[ 1 + (0.492/0.7)^{9/16} \right]^{8/27}} \right] \quad (2.28)$$

$$Ra_L = Gr_L \times \text{Pr} \quad (2.29)$$

$$\zeta = \frac{L/D}{Ra_L^{1/4}} \quad (2.30)$$

$$Nu_{m,Cylinder} = Nu_{m,Plate} (1 + 1.3 \zeta^{0.9}) \quad (2.31)$$

สำหรับอากาศ  $\zeta < 0.024$  ตัวเลขนี้สัมพarity ที่คำนวณได้จากสมการ (2.29) นั้นให้คุณค่าของ  $0.94$  ซึ่งเป็นค่าตอบ

ค่านี้ หาสัมประสิทธิ์การพาความร้อนตามธรรมชาติ ( $h_m$ ) หาได้จากสมการ

$$h_m = Nu_m k / L \quad (2.32)$$

อัตราความร้อนสูญเสีย ( $Q_{loss}$ ) จากห้องหาได้จากสมการ

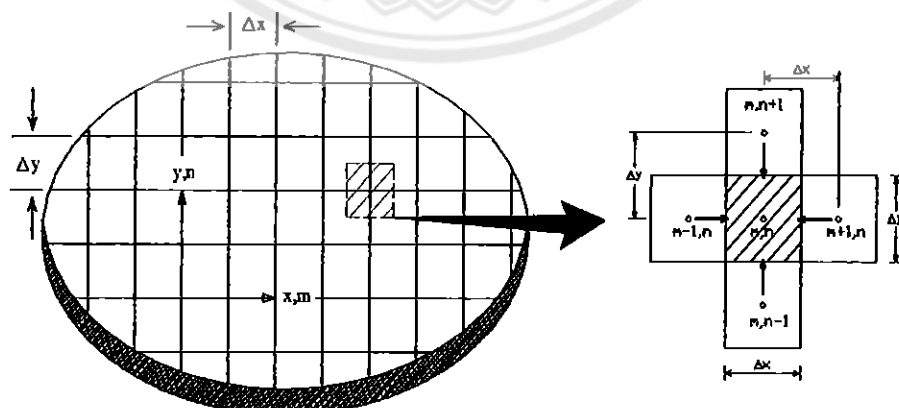
$$Q_{loss} = \pi D L h_m (T_s - T_\infty) \quad (2.33)$$

การพาความร้อนแบบธรรมชาติ (Free convection) บนทรงกระบอกแนวตั้งสามารถหาค่าอัตราความร้อนสูญเสีย ( $Q_{loss}$ ) ได้จากสมการข้างต้น

#### 2.4 การนำความร้อนใน 2 มิติ

ในการหาสมการ Finite-Difference สำหรับโนดแต่ละโนดนี้ จะต้องใช้การประยุกต์จากการอนุรักษ์พลังงานของปริมาตรควบคุมของโนดนี้ๆ สำหรับการนำความร้อนในสภาวะคงตัว และมีแหล่งกำเนิดความร้อน สามารถเริ่มต้นพิจารณาจากสมการการสมดุลพลังงานได้ดังนี้

$$\dot{E}_m + \dot{E}_g = 0 \quad (2.34)$$



รูปที่ 2.6 แสดงการนำความร้อนจากโนดข้างเคียงไปสู่โนดด้านใน, [5]

พิจารณาสมการ (2.32) และปรินิมาตรความคุณของโนดภายใน  $m,n$  ดังรูป 2.6 สำหรับการนำความร้อนใน 2 มิติ จะมีความร้อนถ่ายเทจากโนดข้างเคียงให้แก่โนดภายใน และมีแหล่งกำเนิดความร้อนที่โนดภายใน จะได้สมการดังนี้

$$\sum_{i=1}^4 q_{(i) \rightarrow (m,n)} + \dot{q}(\Delta x, \Delta y, 1) = 0 \quad (2.35)$$

โดยที่  $i$  แสดงถึงสัญลักษณ์ของโนดข้างเคียงทั้งสี่

จากกฎของฟูเรียร์จะได้การถ่ายเทความร้อนโดยการนำของโนดข้างเคียงทั้งสี่ไปสู่โนดภายในได้ดังนี้

$$q_{(m-1,n) \rightarrow (m,n)} = k(\Delta y, 1) \frac{T_{m-1,n} - T_{m,n}}{\Delta x} \quad (2.36)$$

$$q_{(m+1,n) \rightarrow (m,n)} = k(\Delta y, 1) \frac{T_{m+1,n} - T_{m,n}}{\Delta x} \quad (2.37)$$

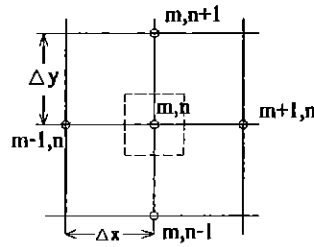
$$q_{(m,n+1) \rightarrow (m,n)} = k(\Delta x, 1) \frac{T_{m,n+1} - T_{m,n}}{\Delta y} \quad (2.38)$$

$$q_{(m,n-1) \rightarrow (m,n)} = k(\Delta x, 1) \frac{T_{m,n-1} - T_{m,n}}{\Delta y} \quad (2.39)$$

นำสมการที่ (2.34)-(2.37) แทนในสมการการสมดุลพลังงาน โดยที่  $\Delta x = \Delta y$  ผังนั้นจะได้สมการ Finite-Difference ดังนี้

$$T_{m,n+1} + T_{m,n-1} + T_{m+1,n} + T_{m-1,n} \frac{\dot{q}(\Delta x)^2}{k} - 4T_{m,n} = 0 \quad (2.40)$$

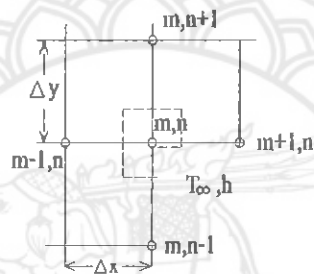
สมการ Finite-Difference ของโนดในรูปแบบต่างๆ โดยที่ไม่มีแหล่งกำเนิดความร้อน สามารถสรุปได้ดังนี้



รูปที่ 2.7 แสดงปริมาณตรคุณของโนดภายใน, [5]

จากรูปที่ 2.7 สามารถหาสมการ Finite-Difference ได้ดังนี้

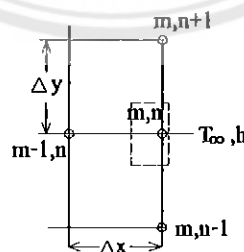
$$T_{m,n+1} + T_{m,n-1} + T_{m+1,n} + T_{m-1,n} - 4T_{m,n} = 0 \quad (2.41)$$



รูปที่ 2.8 แสดงปริมาณตรคุณของโนดมุนด้านในและมีการพารามิเตอร์ร้อน, [5]

จากรูปที่ 2.8 สามารถหาสมการ Finite-Difference ได้ดังนี้

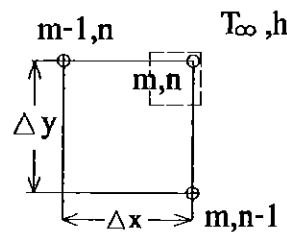
$$2(T_{m-1,n} + T_{m,n+1}) + (T_{m+1,n} + T_{m,n-1}) + 2\frac{h\Delta x}{k}T_\infty - 2(3 + \frac{h\Delta x}{k})T_{m,n} = 0 \quad (2.42)$$



รูปที่ 2.9 แสดงปริมาณตรคุณของโนดบนพื้นผิวราบและมีการพารามิเตอร์ร้อน, [5]

จากรูปที่ 2.9 สามารถหาสมการ Finite-Difference ได้ดังนี้

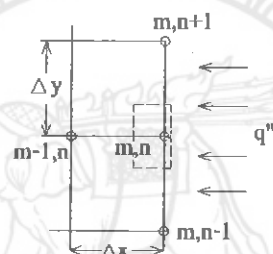
$$(2T_{m-1,n} + T_{m,n+1} + T_{m,n-1}) + 2\frac{h\Delta x}{k}T_\infty - 2(\frac{h\Delta x}{k} + 2)T_{m,n} = 0 \quad (2.43)$$



รูปที่ 2.10 แสดงปริมาตรควบคุมของโนดnum ด้านนอกและมีการพากความร้อน, [5]

จากรูปที่ 2.10 สามารถหาสมการ Finite-Difference ได้ดังนี้

$$(T_{m,n-1} + T_{m-1,n}) + 2 \frac{h\Delta x}{k} T_\infty - 2\left(\frac{h\Delta x}{k} + 1\right) T_{m,n} = 0 \quad (2.44)$$



รูปที่ 2.11 แสดงปริมาตรควบคุมของโนดบนพื้นผิวน้ำและมีฟลักซ์ความร้อนคงที่, [5]

จากรูปที่ 2.11 สามารถหาสมการ Finite-Difference ได้ดังนี้

$$(2T_{m-1,n} + T_{m,n+1} + T_{m,n-1}) + \frac{2q''' \Delta x}{k} - 4T_{m,n} = 0 \quad (2.45)$$

## 2.5 การทบทวนผลงานวิจัยที่เกี่ยวข้อง

จากผลงานวิจัยของ Mohammad Izadifar, Oon-Doo Baik, Carey J. Simonson (2006)

เรื่อง Modeling of packed bed drying of paddy rice using the local volume averaging (LVA)

ผลงานวิจัยนี้ศึกษาเกี่ยวกับการควบคุมอุณหภูมิและความชื้นของข้าวเปลือกที่บรรจุอยู่ในถัง โดยใช้อากาศแห้งเป่า ซึ่งจากการศึกษาดังกล่าวได้มีการจัดทำคุณสมบัติของข้าวเปลือก ซึ่งเป็นประโยชน์ต่อโครงการนี้เป็นอย่างมาก ซึ่งแสดงได้ดังตารางที่ 2.1

ตารางที่ 2.1 แสดงคุณสมบัติของข้าวเปลือก, [3]

Property	Unit	Reference
$\rho_{paddy} = 1.029(1456 + 705x)$	$kg / m^3$	Lague and Jenkins(1991)
$C_{p,paddy} = 1180 + 3766x$	$J / kg \cdot ^\circ C$	Lague and Jenkins(1991)
$k_{paddy} = (0.0637 + 0.0958M) / (0.656 - 0.475M)$	$W / m.K$	Lague and Jenkins(1991)
$x = 0.294 - 0.046 \times \ln[(-T + 35.703) \ln(RH)]$	$\frac{kgH_2O}{kgd.m.}$	ASAE(2002)
$\Delta H_v = 2.357 \times 10^6$	$J / kg$	Istadi and Sitompul(2002)
$D_{eff} = 1.165 \times 10^{-5}$	$m^3 / s$	Istadi and Sitompul(2002)

- โดยที่  $\rho_{paddy}$  = ความหนาแน่นของข้าวเปลือก  
 $C_{p,paddy}$  = ความถูกความร้อนสำหรับของข้าวเปลือก  
 $k_{paddy}$  = ความนำความร้อนของข้าวเปลือก  
 $x$  = ค่าฟังก์ชันของอุณหภูมิข้าวเปลือกและความชื้นสัมพัทธ์ของอากาศ  
 $T$  = อุณหภูมิของข้าวเปลือก  
 $RH$  = ความชื้นสัมพัทธ์ของอากาศ  
 $H_v$  = ความร้อนแห้งของการก่ออาบเป็นไอน้ำ  
 $D_{eff}$  = diffusivity  
 $M$  = ปริมาณความชื้นของข้าวเปลือก

จากผลงานวิจัยของ Dussadee et al.(2003)

เรื่อง การวิเคราะห์สมรรถนะ และเศรษฐศาสตร์ของถังเก็บข้าวเปลือกที่ใช้เทอร์โนไซฟ่อน การวิเคราะห์สมรรถนะ และเศรษฐศาสตร์ของถังเก็บข้าวเปลือกที่ใช้เทอร์โนไซฟ่อนที่ใช้ R22 เป็นสารทำงานเพื่อระบบความร้อนออกจากถังข้าวเปลือก

โดยที่ถังเหล็กทรงกระบอกขนาด 1250 mm และมีความยาว 1500 mm ซึ่งบรรจุข้าวเปลือก ขนาด 1000 kg ในส่วนทำระเบียงของเทอร์โนไซฟ่อนอยู่ในข้าวเปลือก ซึ่งทำมาจากชุดท่อทองแดง

ขนาดเส้นผ่านศูนย์กลาง 1 m และมีพื้นที่ด้านเท้าความร้อน  $8.5 \text{ m}^2$  และส่วนควบคุมแผ่นมีพื้นที่  $12.2 \text{ m}^2$  โดยใช้อากาศในบรรยายกระบายความร้อน การวิเคราะห์สมรรถนะ และเศรษฐศาสตร์ของถังเก็บข้าวเปลือกที่ใช้โทรศัพท์ในใช้ฟอน จะวิเคราะห์เปรียบเทียบกับถังที่มีการระบบบายความร้อนแบบใช้อากาศให้ผลผ่านข้าวเปลือก

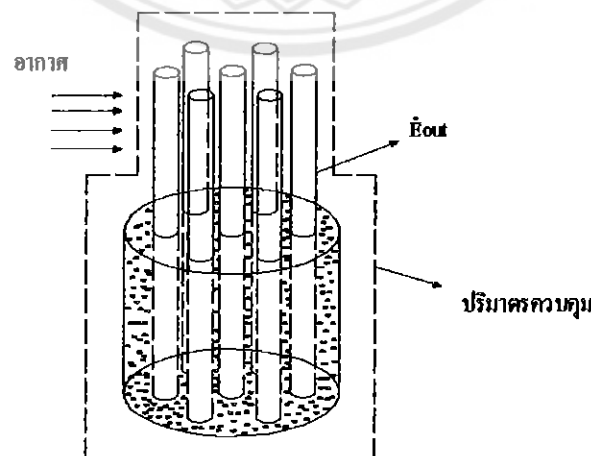
จากการทดลองแสดงให้เห็นว่า การใช้โทรศัพท์ในใช้ฟอนมีศักขภาพสูงในการควบคุมอุณหภูมิในข้าวเปลือกและสามารถรักษาอุณหภูมิเหลือเพียง 28-29 องศาเซลเซียส

เมื่อเทียบกับการไม่มีการควบคุมอุณหภูมิ ข้าวเปลือกจะมีอุณหภูมิ 31-32 องศาเซลเซียส ตามลำดับ ซึ่งไปกว่านั้น เทอร์โน่ในใช้ฟอนยังสามารถใช้ได้กับช่วงอุณหภูมิแตกต่างเพียงเล็กน้อยได้อีกด้วย ด้านคุณภาพของข้าวจะใกล้เคียงกันสำหรับการใช้โทรศัพท์ในใช้ฟอนเมื่อเทียบกับการระบบบายความร้อนที่ใช้ลมเป่า แบบจำลองระบบนี้ยังสามารถดำเนินการได้โดยไม่ต้องใช้แรงงาน 1000 kg ส่วนทำระเหยควรมีพื้นที่อย่างน้อยที่สุด  $16 \text{ m}^2$  และส่วนควบคุมความมีพื้นที่  $12.2 \text{ m}^2$  จากการวิเคราะห์ด้านเศรษฐศาสตร์พบว่าระยะคืนทุน คือ 8.2 ปี และอัตราผลตอบแทน คือ 8.6% เมื่อเทียบกับระบบที่ใช้พัดลมขนาด 1/8 แรงม้าในการระบบบายความร้อนสัดส่วนเวลาทำงานของพัดลมคือ 20% ต่อปี

จากผลงานวิจัย ทวิช อุษพิพ, ศิชา แสนชนะ, สาคร โพยนอกร (2007)

เรื่อง การวิเคราะห์สมรรถนะและผลเชิงเศรษฐศาสตร์ของการระบบบายความร้อนในข้าวเปลือก โดยใช้โทรศัพท์ในใช้ฟอน

ผลงานวิจัยนี้ศึกษาเกี่ยวกับการวิเคราะห์ผลเชิงสมรรถนะและผลเชิงเศรษฐศาสตร์ ของการระบบบายความร้อนในข้าวเปลือก โดยใช้โทรศัพท์ในใช้ฟอน ดังแสดงในรูปที่ (2.6)



รูปที่ 2.12 แสดงสักษณะของถังเก็บข้าวเปลือกที่ติดตั้งชุดโทรศัพท์ในใช้ฟอน, [1]

โดยการใช้โปรแกรมจำลองระบบระนายความร้อนในข้าวเปลือกโดยใช้เทอร์โมไฟฟอนที่สร้างขึ้นสามารถประมาณค่าสมรรถนะการทำงานของระบบและวิเคราะห์ผลเชิงเศรษฐศาสตร์ได้ คือ ระบบการระบายน้ำความร้อนในข้าวเปลือกที่ใช้ชุดเทอร์โมไฟฟอนแบบท่อเดี่ยวที่เหมาะสมที่สุด จะเกิดขึ้นเมื่อขนาดของเส้นผ่านศูนย์กลางของท่อเทอร์โมไฟฟอนเล็กสุดเท่ากับ  $0.5\text{ in}$  ขนาดความยาวส่วนทำระเหยสั้นสุดเท่ากับ  $1\text{ m}$  ขนาดความยาวส่วนความแน่นข้าวสุดเท่ากับ  $2\text{ m}$  และจำนวนท่อเทอร์โมไฟฟอนสูงสุดเท่ากับ 160 ท่อ จะสามารถรักษาอุณหภูมิในถังเก็บข้าวเปลือกให้อยู่ที่ 29.7 องศาเซลเซียส จากระบบระบายน้ำความร้อนในข้าวเปลือกที่ใช้ชุดเทอร์โมไฟฟอนที่ศึกษานี้มีระยะเวลาการคืนทุน 11.5 ปี และอัตราการตอบแทนภายใน (IRR) เท่ากับ 3.508% เมื่อเปรียบเทียบกับการใช้พัดลมเป่าทำงาน 20% ของเวลาการทำงานของพัดลม



5200065 5090817

บกที่ 3  
วิธีการดำเนินงานมร.  
ว. 164 ย

2570

### 3.1 การสำรวจและรวมรวมข้อมูล

การสำรวจและรวมรวมข้อมูล เป็นการศึกษาทฤษฎีที่เกี่ยวข้องกับการทำงานของระบบที่ใช้เทอร์โน่ไฟฟอนจากแหล่งข้อมูลต่างๆ เช่น บทความ วารสาร หนังสือ เป็นต้น ซึ่งสามารถแสดงเป็นข้อๆ ได้ดังนี้

#### 3.1.1 ศึกษาการทำงานของเทอร์โน่ไฟฟอนและทฤษฎีที่เกี่ยวข้อง ประกอบไปด้วย

- ลักษณะการทำงานของเทอร์โน่ไฟฟอน
- วัสดุที่ใช้ทำห่อเทอร์โน่ไฟฟอน สารทำงาน และอัตราการเติมสารทำงาน
- ความร้อนที่ถ่ายเทผ่านห่อเทอร์โน่ไฟฟอน

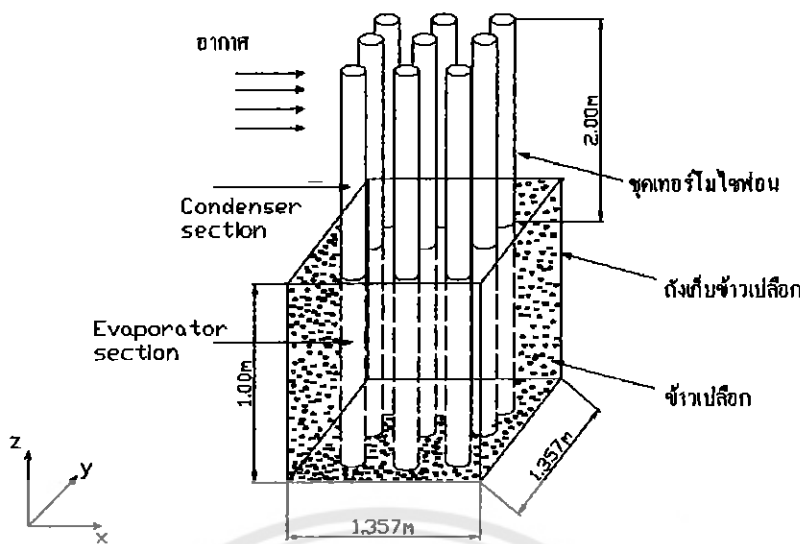
#### 3.1.2 รวมรวมข้อมูลที่เกี่ยวข้องกับข้าวเปลือก คือ ค่าความจุความร้อนจำเพาะ ค่าความหนาแน่น ค่าสัมประสิทธิ์การนำความร้อน

#### 3.1.3 รวมรวมข้อมูลที่เกี่ยวข้องกับอากาศที่ใช้ในการระบายความร้อนให้แก่เทอร์โน่ไฟฟอน คือ อุณหภูมิ และความชื้นสัมพัทธ์ของอากาศ

#### 3.1.4 ศึกษาข้อมูลที่เกี่ยวข้องกับขนาดของถังที่เก็บข้าวเปลือกขนาด 1000 kg

### 3.2 แบบจำลองการทำงานของระบบการระบายความร้อนในข้าวเปลือกที่ใช้ชุดเทอร์โน่ไฟฟอน

การทำงานของระบบระบายความร้อนที่ใช้ชุดเทอร์โน่ไฟฟอนจะมีลักษณะดังแสดงในรูปที่ 3.1 คือ เมื่อมีการเก็บข้าวเปลือกไว้ในถังเก็บข้าวเปลือก ข้าวเปลือกในถังจะมีการหายใจทำให้เกิดความร้อน ความร้อนดังกล่าวจะเพิ่มขึ้นเรื่อยๆ ทำให้สารทำงานในส่วนที่ระเหยมีอุณหภูมิสูงขึ้นจนเกิดการเดือดและระเหยกตามเป็นໄอ แล้วถอยขึ้นไปบังส่วนควบแน่นของเทอร์โน่ไฟฟอนที่สัมผัสกับอากาศในบรรยากาศ และจะทำให้สารทำงานในส่วนควบแน่นของเทอร์โน่ไฟฟอนเกิดการแตกเป็นชิ้นความร้อนกับอากาศภายในออกโดยการพาความร้อนแบบธรรมชาติจากผิวที่ส่วนควบแน่นไปบังอากาศ สารทำงานในห่อเทอร์โน่ไฟฟอนก็จะเกิดการควบแน่นและให้ลดความผันผวนของห่อเทอร์โน่ไฟฟอนด้วยแรงโน้มถ่วงของโลก ลงสู่ส่วนที่ระเหยเพื่อไปรับความร้อนจากข้าวเปลือกอีกครั้ง



รูปที่ 3.1 แสดงลักษณะของถังเก็บข้าวเปลือกที่ติดตั้งชุดเทอร์โนไชฟอน

### 3.3 สมมุตฐาน

เนื่องจากในการทำงานจริงของระบบที่ใช้เทอร์โนไชฟอนจะมีปัจจัยหลายอย่างที่เกี่ยวข้อง ดังนั้นเพื่อให้เกิดความสะดวกและง่ายต่อการคำนวณ จึงกำหนดเงื่อนไขต่างๆ ดังนี้

3.3.1 อุณหภูมิและความชื้นสัมพัทธ์ของบรรยากาศที่ระบายน้ำความร้อนให้กับเทอร์โนไชฟอนเป็นอุณหภูมิและความชื้นสัมพัทธ์เฉลี่ย ซึ่งมีค่าเท่ากับ 27.9 องศาเซลเซียส และ 73% ตามลำดับ ซึ่งได้จากอุณหภูมิและความชื้นสัมพัทธ์เฉลี่ย 10 ปี ข้อมูลดังของจังหวัดพิษณุโลก, [10]

3.3.2 มวลของข้าวเปลือกในถังที่ใช้เทอร์โนไชฟอนระบายความร้อน คือ 1000 kg และมีความชื้น 13.5% เนื่องจากที่ความชื้นดังกล่าวมีผลต่อกุณภาพการสีที่ดี [9]

3.3.3 ถังเก็บข้าวเปลือกเป็นถังทรงปริมาตร สูง 1 m มีหน้าตัดเป็นสี่เหลี่ยมผืนผ้าขนาด  $1.357 \times 1.357 \text{ m}$  และมีความหนาของผนังบางมาก จึงไม่พิจารณาค่าการนำความร้อนผ่านผนัง

3.3.4 การกระจายอุณหภูมิของข้าวเปลือกในแนวแกน Z คงที่

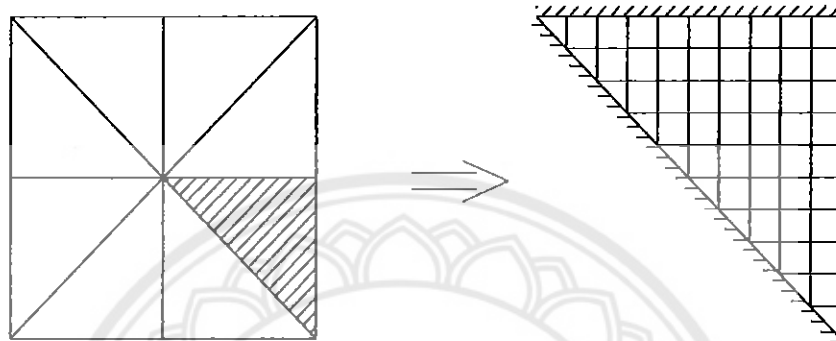
3.3.5 ส่วนทำระเหยของเทอร์โนไชฟอนอยู่ติดกับส่วนควบแน่นจึงไม่มีส่วนกันความร้อน

3.3.6 เทอร์โนไชฟอนสร้างจากท่อทองแดง วางในแนวตั้ง โดยมีเส้นผ่านศูนย์กลางเท่ากับ 0.5 in มีความยาวของส่วนทำระเหยเท่ากับ 1 m และมีความยาวของส่วนควบแน่นเท่ากับ 2 m สารทำงานที่ใช้เป็น R134a อัตราการเติมสารทำงานเป็น 50% ของส่วนทำระเหย เนื่องจากโดยปกติ อัตราการเติมสารทำงานจะอยู่ในช่วง 40-60% ของส่วนทำระเหย, [1]

3.3.7 ความต้านทานความร้อนระหว่างแหล่งกำเนิดความร้อนและผิวข้างนอกของส่วนทำระเหย ( $Z_1$ ) มีค่าไม่อนุญาต เนื่องจากผิวข้างนอกของส่วนทำระเหยอยู่ติดกับแหล่งกำเนิดความร้อน จึงมีการสัมผัสติดกันอย่างมากทำให้ความต้านทานมีค่าไม่อนุญาต ดังนั้นจึงสามารถไม่นำมาคิดได้

### 3.4 แบบจำลองทางคณิตศาสตร์ของการกระจายอุณหภูมิของข้าวเปลือกในถังเก็บ

เนื่องด้วยข้าวเปลือกเป็นถังทรงปริมาตรหน้าตัดสี่เหลี่ยมจัตุรัสและพิจารณาว่าเป็นการถ่ายเทความร้อนใน 2 มิติ ดังนั้นจึงสามารถแยกคิดได้เป็นรูปสมมาตรเท่ากันหนึ่งในแปดส่วนของรูปสี่เหลี่ยมดังแสดงในรูปที่ (3.2)



รูปที่ 3.2 แสดงหน้าตัดของถังใส่ข้าวเปลือกและการแยกคิดเป็นรูปสมมาตร

จากรูปที่ 3.2 นำรูปสมมาตรที่ได้มามาพิจารณาปริมาตรควบคุมในแต่ละ要素ในตัวได้ดังนี้

$$\dot{E}_g + \dot{E}_{in} - \dot{E}_{out} = \dot{E}_{st} \quad (3.1)$$

โดยที่  $\dot{E}_g$  คือ พลังงานที่ข้าวเปลือกผลิตขึ้น, W

$\dot{E}_{in}$  คือ พลังงานที่เข้าสู่ปริมาตรควบคุม, W

$\dot{E}_{out}$  คือ พลังงานที่ออกจากรูปริมาตรควบคุม, W

$\dot{E}_{st}$  คือ พลังงานที่ข้าวเปลือกเก็บไว้, W

พลังงานที่ข้าวผลิตขึ้น ( $\dot{E}_g$ ) คือ ความร้อนของข้าวเปลือก ( $Q_{Paddy}$ ) ที่เกิดการหายใจของข้าวเปลือกดังจะแสดงได้ดังสมการปฏิกริยาที่ 1.1 ซึ่งจะเห็นได้ว่าเมื่อข้าวเปลือกมีการหายใจเกิดขึ้นจะมีความร้อนในข้าวเปลือกซึ่งเป็นความสัมพันธ์กับพิษกัชช์ของเวลาสามารถแสดงดังสมการ

$$Term = A \left( \frac{t}{1000} \right)^C \exp[D(1.8T_b - 28)] \exp[E(M_w - 0.14)] \quad (3.2)$$

โดยที่  $A = 0.000914$ ,  $D = 0.03756$ ,  $C = 0.654$ ,  $E = 33.61$

$M_w$  คือ ปริมาณความชื้นของข้าวเปลือก, %

$T_b$  คือ อุณหภูมิในข้าวเปลือก, องศาเซลเซียส

$t$  คือ ช่วงเวลาในการเก็บข้าวเปลือก, ชั่วโมง

ความเสียหายเนื่องจากความร้อนในข้าวเปลือก จะหาได้จากการคำนวณดังนี้

$$DML = 1 - \exp(-Term) \quad (3.3)$$

โดยที่ DML คือ ฟังก์ชันของเวลา

ค่าความแตกต่างของอุณหภูมิในข้าวเปลือกสามารถหาได้จากการ

$$\Delta T = \frac{15778(DML)}{C_p} \quad (3.4)$$

โดยที่  $C_p$  คือ ค่าความร้อนของข้าวเปลือก, kJ/kg.K

$\Delta T$  คือ ค่าความแตกต่างของอุณหภูมิในข้าวเปลือก, องศาเซลเซียส

ความร้อนของข้าวเปลือก ( $Q_{Paddy}$ ) มีความสัมพันธ์กับค่าความแตกต่างของอุณหภูมิหาได้จาก

$$\dot{E}_g = Q_{Paddy} = (mC_p\Delta T)/t \quad (3.5)$$

โดยที่  $Q_{Paddy}$  คือ ค่าความร้อนของข้าวเปลือก, kW

$m$  คือ มวลของข้าวเปลือกในปริมาตรคงคุณ, kg

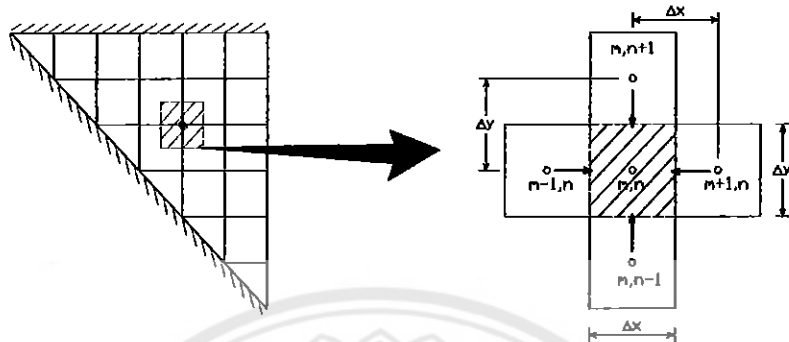
$t$  คือ เวลาในการเกิดความร้อน, วินาที

ในการพิจารณาเอลิเม้นต์ของข้าวเปลือกแต่ละอันจะพบว่ามีเทอร์โนไซฟ่อนบรรจุในบางเอลิเม้นต์เท่านั้นดังนั้นจึงสามารถแบ่งแบบจำลองทางคณิตศาสตร์ได้ 2 แบบ คือ

- สำหรับเอลิเม้นต์ที่ไม่มีเทอร์โนไซฟ่อน

- สำหรับเอลิเม้นต์ที่มีเทอร์โนไซฟ่อน

สำหรับอุณหภูมิที่ไม่มีเทอร์โนไซฟ่อนสามารถใช้หลักการการสมดุลพลังงานของปริมาตรความคุณที่พิจารณาเพื่อหาอุณหภูมิของข้าวเปลือกได้ดังนี้

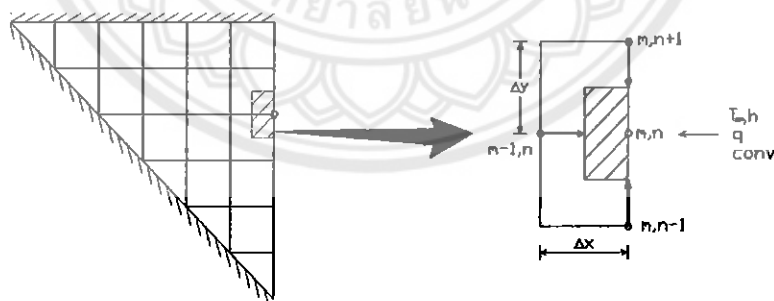


รูปที่ 3.3 แสดงปริมาตรควบคุมของโนดภายใน

จาก 그림 3.3 สามารถหาอุณหภูมิของข้าวเปลือกได้ดังนี้

$$q_{(m-1,n) \rightarrow (m,n)} + q_{(m+1,n) \rightarrow (m,n)} + q_{(m,n+1) \rightarrow (m,n)} + q_{(m,n-1) \rightarrow (m,n)} + Q_{paddy} = \rho v c \frac{dT}{dt} \quad (3.6)$$

$$T_{m,n}^{p+1} = F_o [T_{m-1,n}^p + T_{m+1,n}^p + T_{m,n+1}^p + T_{m,n-1}^p - 4T_{m,n}^p + \frac{Q_{paddy}}{k}] + T_{m,n}^p \quad (3.7)$$

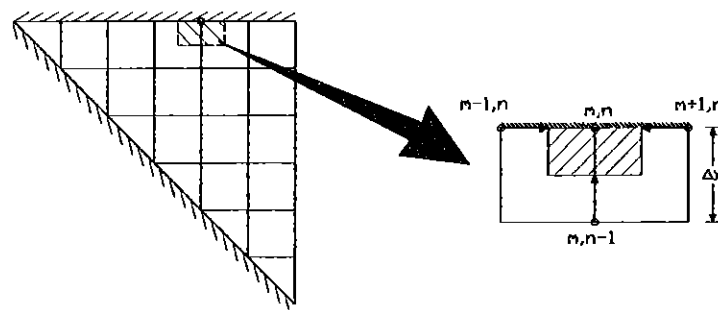


รูปที่ 3.4 แสดงปริมาตรควบคุมของโนดด้านข้างและมีการพาราความร้อน

จาก 그림 3.4 สามารถหาอุณหภูมิของข้าวเปลือกได้ดังนี้

$$q_{(m-1,n) \rightarrow (m,n)} + q_{(m,n+1) \rightarrow (m,n)} + q_{(m,n-1) \rightarrow (m,n)} + q_{convection} + Q_{paddy} = \rho v c \frac{dT}{dt} \quad (3.8)$$

$$T_{m,n}^{p+1} = F_o [2T_{m-1,n}^p + T_{m,n+1}^p + T_{m,n-1}^p - 4T_{m,n}^p + 2Bi(T_{\infty} - T_{m,n}^p) + \frac{2Q_{paddy}}{k}] + T_{m,n}^p \quad (3.9)$$

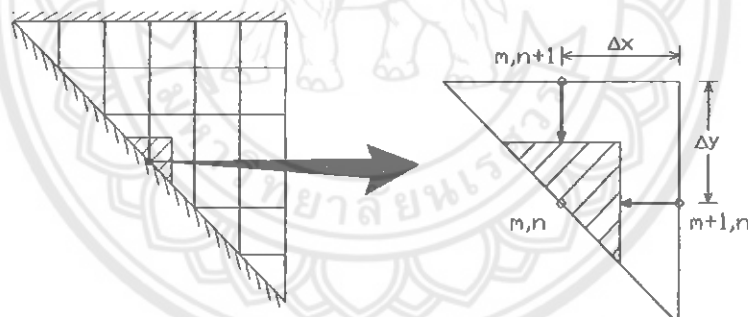


รูปที่ 3.5 แสดงปริมาณการควบคุมของโนดด้านบน

จากรูปที่ 3.5 สามารถหาอุณหภูมิของข้าวเปลือกได้ดังนี้

$$q_{(m-1,n) \rightarrow (m,n)} + q_{(m+1,n) \rightarrow (m,n)} + q_{(m,n-1) \rightarrow (m,n)} + Q_{paddy} = \rho v c \frac{dT}{dt} \quad (3.10)$$

$$T_{m,n}^{p+1} = F_o [T_{m-1,n}^p + T_{m+1,n}^p + 2T_{m,n-1}^p - 4T_{m,n}^p + \frac{2Q_{paddy}}{k}] + T_{m,n}^p \quad (3.11)$$

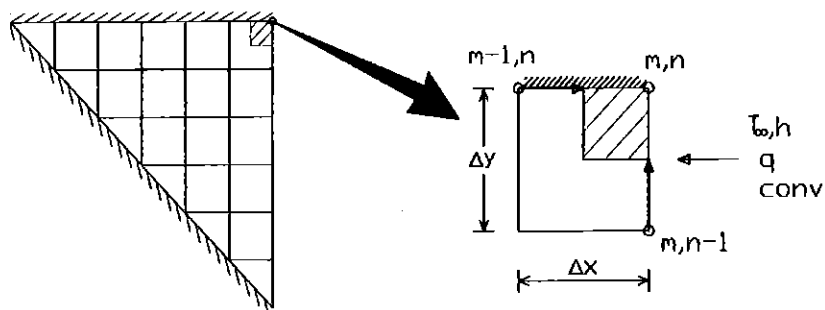


รูปที่ 3.6 แสดงปริมาณการควบคุมของโนดด้านใน

จากรูปที่ 3.6 สามารถหาอุณหภูมิของข้าวเปลือกได้ดังนี้

$$q_{(m+1,n) \rightarrow (m,n)} + q_{(m,n+1) \rightarrow (m,n)} + Q_{paddy} = \rho v c \frac{dT}{dt} \quad (3.12)$$

$$T_{m,n}^{p+1} = 2F_o [T_{m+1,n}^p + T_{m,n+1}^p - 2T_{m,n}^p + \frac{Q_{paddy}}{k}] + T_{m,n}^p \quad (3.13)$$

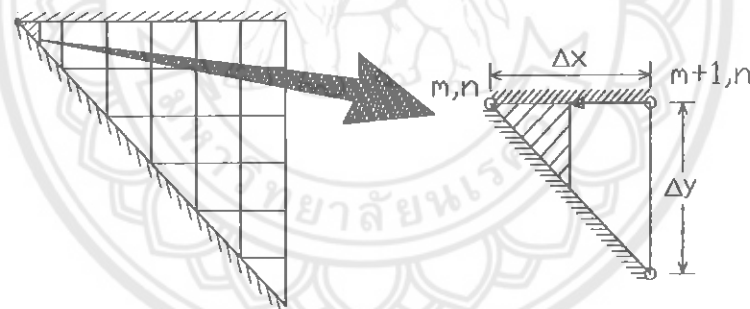


รูปที่ 3.7 แสดงปริมาณการความคุณของโนดมุนด้านนอกและนีกการพาความร้อน

จากรูปที่ 3.7 สามารถหาอุณหภูมิของข้าวเปลือกได้ดังนี้

$$q_{(m-1,n) \rightarrow (m,n)} + q_{(m,n-1) \rightarrow (m,n)} + q_{convection} + Q_{paddy} = \rho v c \frac{dT}{dt} \quad (3.14)$$

$$T_{m,n}^{P+1} = 2F_o[2T_{m-1,n}^P + T_{m,n-1}^P - 2T_{m,n}^P + Bi(T_\infty - T_{m,n}^P) + \frac{2Q_{paddy}}{k}] + T_{m,n}^P \quad (3.15)$$

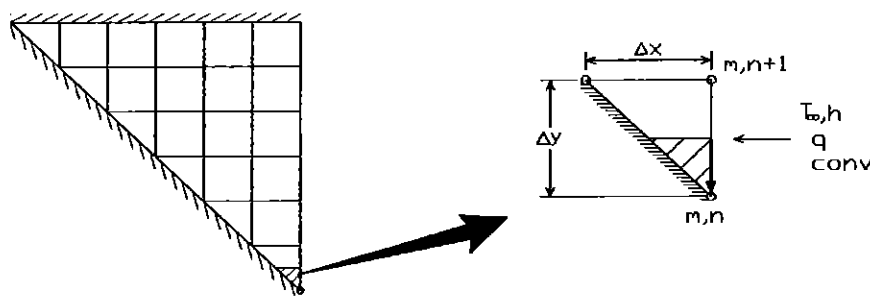


รูปที่ 3.8 แสดงปริมาณการความคุณของโนดมุนด้านใน

จากรูปที่ 3.8 สามารถหาอุณหภูมิของข้าวเปลือกได้ดังนี้

$$q_{(m+1,n) \rightarrow (m,n)} + Q_{paddy} = \rho v c \frac{dT}{dt} \quad (3.16)$$

$$T_{m,n}^{P+1} = 4F_o[T_{m+1,n}^P + T_{m,n}^P + \frac{2Q_{paddy}}{k}] + T_{m,n}^P \quad (3.17)$$



รูปที่ 3.9 แสดงปริมาตรความคุณของโนดมุนด้านล่างที่มีการพาความร้อน

จาก群ที่ 3.9 สามารถหาอุณหภูมิของข้าวเปลือกได้ดังนี้

$$q_{(m,n+1) \rightarrow (m,n)} + q_{convection} + Q_{paddy} = \rho v c \frac{dT}{dt} \quad (3.18)$$

$$T_{m,n}^{P+1} = 4F_o[T_{m,n+1}^P - T_{m,n}^P + Bi(T_\infty - T_{m,n}^P) + \frac{2Q_{paddy}}{k}] + T_{m,n}^P \quad (3.19)$$

โดยที่  $F_o = \frac{k\Delta t}{\rho c \Delta x^2}$  (3.20)

$$Bi = \frac{h\Delta x}{k} \quad (3.21)$$

ค่าการพาความร้อน โดยธรรมชาติ ( $q_{convection}$ ) สามารถหาได้จากการถ่ายเทความร้อนแบบธรรมชาตินั่นในแนวดิ่งซึ่งอยู่ในบทที่ 2 โดยแทนค่าตัวแปรต่างๆ ได้ดังนี้  
ค่านวณค่า Grashof Number (Gr) จากสมการที่ (2.19) ได้ดังนี้

$$Gr = \frac{g\beta(T_b - T_a)\Delta y^3}{\nu^2} \quad (3.22)$$

โดยที่  $\beta = 1/T$  เมื่อ  $T$  คืออุณหภูมิสัมบูรณ์  $(T_b - T_a)/2$   
ค่านวณค่า Reyleigh number (Ra) จากสมการที่ (2.20) ได้ดังนี้

$$Ra = Gr \cdot Pr \quad (3.23)$$

ค่านวณค่า Nusselt number (Nu) จากสมการ (2.21) ในกรณีการไหลแบบราบเรียบ และสมการ 2.22 สำหรับการไหลแบบปั๊มป้วน ได้ดังนี้

สำหรับการไหลแบบราบเรียบ

$$Nu = 0.68 + 0.67 [Ra \Psi(\text{Pr})]^{1/4} \quad (3.24)$$

สำหรับการไหลแบบปั่นป่วน

$$Nu = 0.15 [Ra_L \Psi(\text{Pr})]^{1/3} \quad (3.25)$$

โดยที่

$$\Psi(\text{Pr}) = \left[ 1 + \left( \frac{0.492}{\text{Pr}} \right)^{9/16} \right]^{-16/9} \quad (3.26)$$

ค่านวณค่าสัมประสิทธิ์การพาความร้อนได้จากสมการที่ (2.25) ได้ดังนี้

$$h = Nuk / \Delta y \quad (3.27)$$

ค่านวณค่าการพาความร้อนโดยธรรมชาติได้จากสมการที่ (2.26) ได้ดังนี้

$$q_{\text{convection}} = hA(T_a - T_b) \quad (3.28)$$

โดยที่  $A = \Delta y \cdot 1$

$T_b$  คือ อุณหภูมิของข้าวเปลือก, องค์เซลเซียส

$T_a$  คือ อุณหภูมิของบรรยากาศ, องค์เซลเซียส

พิจารณาปรินิมาตรความถ่วงของเทอร์โน่ไฟฟ่อน แสดงดังรูป (3.10) และใช้หลักการสมดุล พลังงาน สามารถหาค่าความร้อนที่ระบบของจากข้าวเปลือกสู่บรรยากาศผ่านท่อเทอร์โน่ไฟฟ่อน ได้จาก

$$\dot{E}_{\text{out}} = Q_{Ts} = \Delta T / Z_t \quad (3.29)$$

โดยที่  $\Delta T = T_b - T_a$

$Q_{Ts}$  คือ ค่าความร้อนที่ระบบของผ่านท่อเทอร์โน่ไฟฟ่อน, W

$Z_t$  คือ ความต้านทานความร้อนรวม, K/W

ค่าความต้านทานความร้อนรวม ( $Z_1$ ) เป็นผลรวมของค่าความต้านทานความร้อนที่ส่วนต่างๆ ของเทอร์โนไซฟอนซึ่งแสดงไว้ในบทที่ 2 โดยแทนค่าตัวแปรต่างๆ ได้ดังนี้  
ค่านวณค่า  $Z_1$  จากสมการที่ (2.4) ได้ดังนี้คือ

$$Z_1 = 1/(h_{\infty} S_{\infty}) \quad (3.30)$$

โดยที่ ค่าสัมประสิทธิ์การพาความร้อนที่พื้นผิวของส่วนควบแน่นห้ามได้จากหัวข้อการพาความร้อนแบบธรรมชาตินทางกระบวนการเนวติงในบทที่ 2  
ค่านวณค่า  $Z_2$  และ  $Z_3$  จากสมการที่ (2.5) ได้ดังนี้

$$Z_2 = \ln(D_o / D_i) / 2\pi l_e \lambda_x \text{ และ } Z_3 = \ln(D_o / D_i) / 2\pi l_e \lambda_x \quad (3.31)$$

หากค่า  $Z_3$  โดยการคำนวณค่า  $Z_{3f}$ ,  $\phi_2$ ,  $Z_{3p}$  และ  $\phi_3$  จากสมการ (2.6), (2.7), (2.8) และ (2.9)  
ตามลำดับ แล้วพิจารณาตามเงื่อนไขดังนี้

ถ้า  $Z_{3p} < Z_{3f}$  ให้  $Z_3 = Z_{3p}$

ถ้า  $Z_{3p} > Z_{3f}$  คำนวณ  $Z_3$  จากสมการที่ (2.10) ได้ดังนี้

$$Z_3 = Z_{3p} F + Z_{3f} (1 - F) \quad (3.32)$$

โดยที่  $F$  คือ อัตราการเติมสารทำงาน

หากค่า  $Z_7$  โดยการคำนวณค่า  $Re_f$  จากสมการ (2.11) แล้วพิจารณาตามเงื่อนไขดังนี้

ถ้า  $50 < Re_f < 1300$  คำนวณ  $Z_7$  จากสมการที่ (2.12) ได้ดังนี้

$$Z_7 = (cQ^{1/3}) / (D_i^{4/3} g^{1/3} l_e \phi_2^{4/3}) \quad (3.33)$$

ถ้า  $Re_f > 1300$  คำนวณ  $Z_7$  จากสมการที่ (2.13) ได้ดังนี้

$$Z_7 = ((cQ^{1/3}) / (D_i^{4/3} g^{1/3} l_e \phi_2^{4/3})) \times 191 Re_f^{-0.733} \quad (3.34)$$

โดยที่  $c = 0.235$

ค่า俈ค่า  $Z_{10}$  จากสมการ (2.14) โดยที่ไม่มีส่วนกับความร้อนได้ดังนี้

$$Z_{10} = (0.5l_e + 0.5l_c)/(A_x \lambda_x) \quad (3.35)$$

นำค่าความต้านทานความร้อนทุกๆค่ามาพิจารณาตามเงื่อนไขดังนี้  
เงื่อนไขของการออกแบบเมื่อไม่พิจารณาการนำความร้อนในแนวแกน คือ

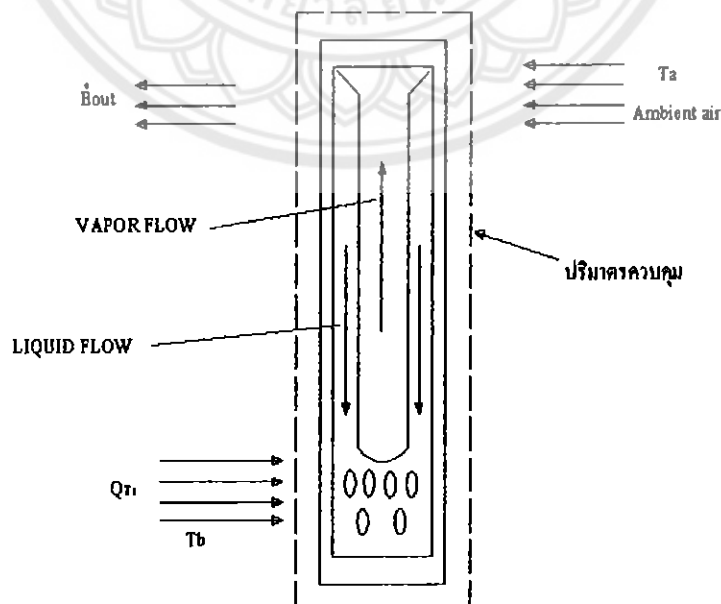
$$Z_{10}/(Z_2 + Z_3 + Z_7 + Z_8) > 20 \quad (3.36)$$

ถ้าเป็นไปตามสมการ (3.29) ค่าความต้านทานความร้อนรวม คือ

$$Z_t = Z_2 + Z_3 + Z_7 + Z_8 + Z_9 \quad (3.37)$$

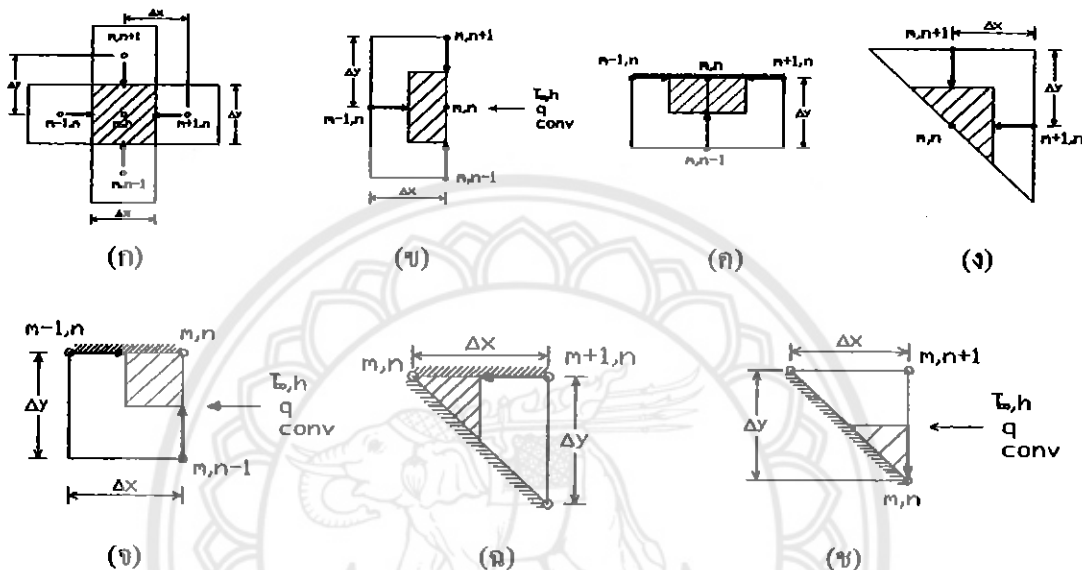
ถ้าไม่เป็นไปตามสมการ (3.29) ค่าความต้านทานความร้อนรวม คือ

$$Z_t = [(Z_2 + Z_3 + Z_7 + Z_8)^{-1} + (1/Z_{10})]^{-1} + Z_9 \quad (3.38)$$



รูปที่ 3.10 แสดงปริมาตรความถูมการระบายความร้อนของเทอร์โมไชฟ่อน, [1]

สำหรับอัลกอริทึมที่มีการใส่เทอร์โนไซฟ่อนเพื่อระนาบความร้อนออกจากข้าวเปลือกแสดง  
ดังรูปที่ 3.11 ทำได้โดยการเพิ่มเทอนของค่าความร้อนที่ระนาบออกผ่านท่อเทอร์โนไซฟ่อน ( $Q_{Ts}$ )  
เข้าไปในสมการที่ (3.7), (3.9), (3.11), (3.13), (3.15), (3.17), (3.19) โดยอัญญาเทอนของความร้อนที่  
ข้าวเปลือกสร้างขึ้นมา ซึ่งจะได้สมการดังนี้



รูปที่ 3.11 แสดงปริมาณความคุณของโนดต่างๆ ที่มีการใส่เทอร์โนไซฟ่อน

จากรูปที่ 3.11 ก สามารถหาอุณหภูมิของข้าวเปลือกที่มีการระนาบความร้อนโดยเทอร์โนไซฟ่อนได้  
ดังนี้

$$T_{m,n}^{P+1} = F_o [T_{m-1,n}^P + T_{m+1,n}^P + T_{m,n+1}^P + T_{m,n-1}^P - 4T_{m,n}^P + \frac{Q_{paddy} - Q_{Ts}}{k}] + T_{m,n}^P \quad (3.39)$$

จากรูปที่ 3.11 ข สามารถหาอุณหภูมิของข้าวเปลือกที่มีการระนาบความร้อนโดยเทอร์โนไซฟ่อนได้  
ดังนี้

$$T_{m,n}^{P+1} = F_o [2T_{m-1,n}^P + T_{m,n+1}^P + T_{m,n-1}^P - 4T_{m,n}^P + 2Bi(T_\infty - T_{m,n}^P) + \frac{2Q_{paddy} - Q_{Ts}}{k}] + T_{m,n}^P \quad (3.40)$$

จากรูปที่ 3.11 ค สามารถหาอุณหภูมิของข้าวเปลือกที่มีการระนาบความร้อนโดยเทอร์โนไซฟ่อนได้  
ดังนี้

$$T_{m,n}^{P+1} = F_o [T_{m-1,n}^P + T_{m+1,n}^P + 2T_{m,n-1}^P - 4T_{m,n}^P + \frac{2Q_{paddy} - Q_{Ts}}{k}] + T_{m,n}^P \quad (3.41)$$

จากรูปที่ 3.11ง สามารถหาอุณหภูมิของข้าวเปลือกที่มีการระบายความร้อนโดยเทอร์โนไซฟอนได้ดังนี้

$$T_{m,n}^{p+1} = 2F_o[T_{m+1,n}^p + T_{m,n+1}^p - 2T_{m,n}^p + \frac{Q_{paddy} - Q_{Ts}}{k}] + T_{m,n}^p \quad (3.42)$$

จากรูปที่ 3.11ง สามารถหาอุณหภูมิของข้าวเปลือกที่มีการระบายความร้อนโดยเทอร์โนไซฟอนได้ดังนี้

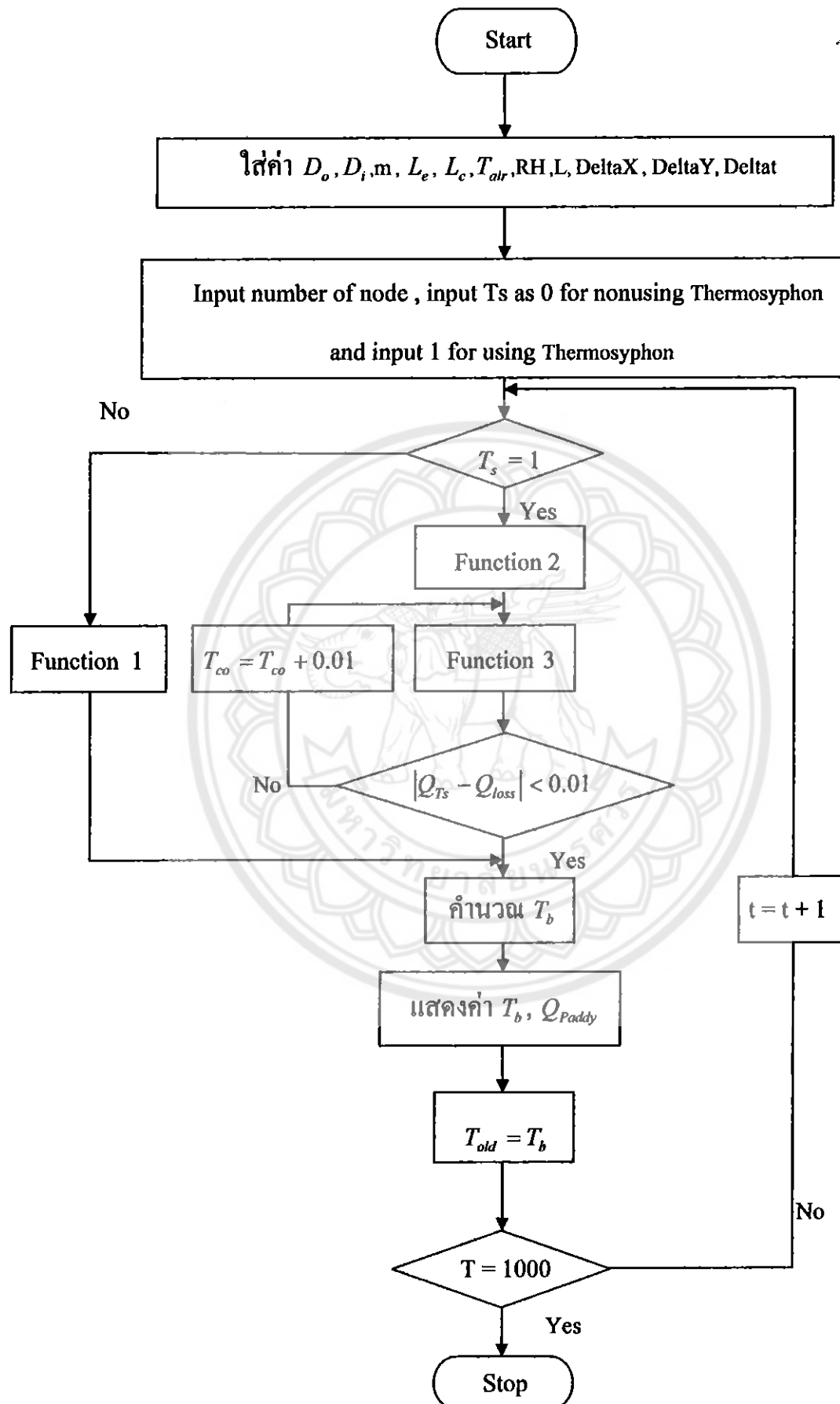
$$T_{m,n}^{p+1} = 2F_o[2T_{m-1,n}^p + T_{m,n-1}^p - 2T_{m,n}^p + Bi(T_\infty - T_{m,n}^p) + \frac{2Q_{paddy} - Q_{Ts}}{k}] + T_{m,n}^p \quad (3.43)$$

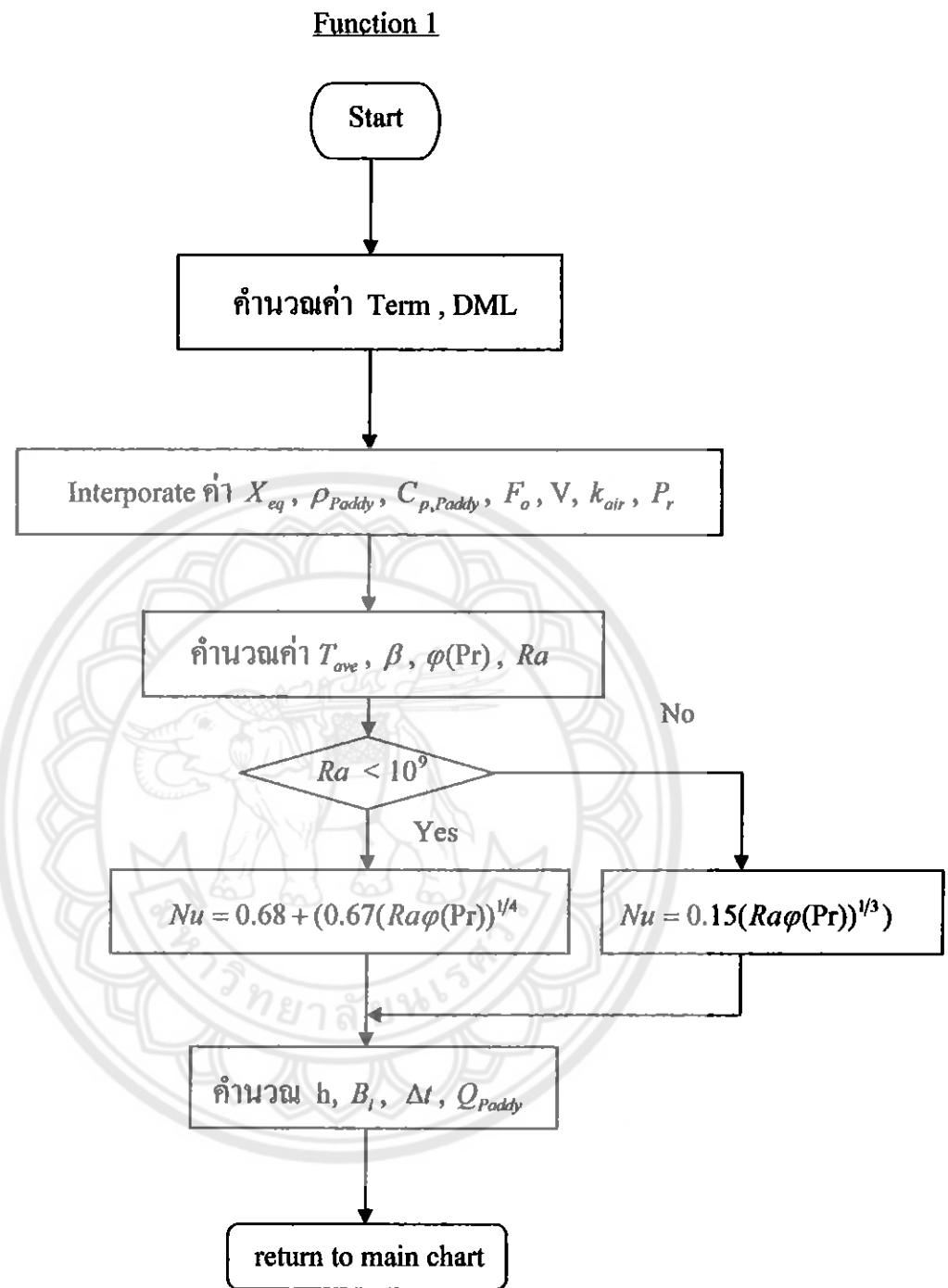
จากรูปที่ 3.11ก สามารถหาอุณหภูมิของข้าวเปลือกที่มีการระบายความร้อนโดยเทอร์โนไซฟอนได้ดังนี้

$$T_{m,n}^{p+1} = 4F_o[T_{m+1,n}^p + T_{m,n}^p + \frac{2Q_{paddy} - Q_{Ts}}{k}] + T_{m,n}^p \quad (3.44)$$

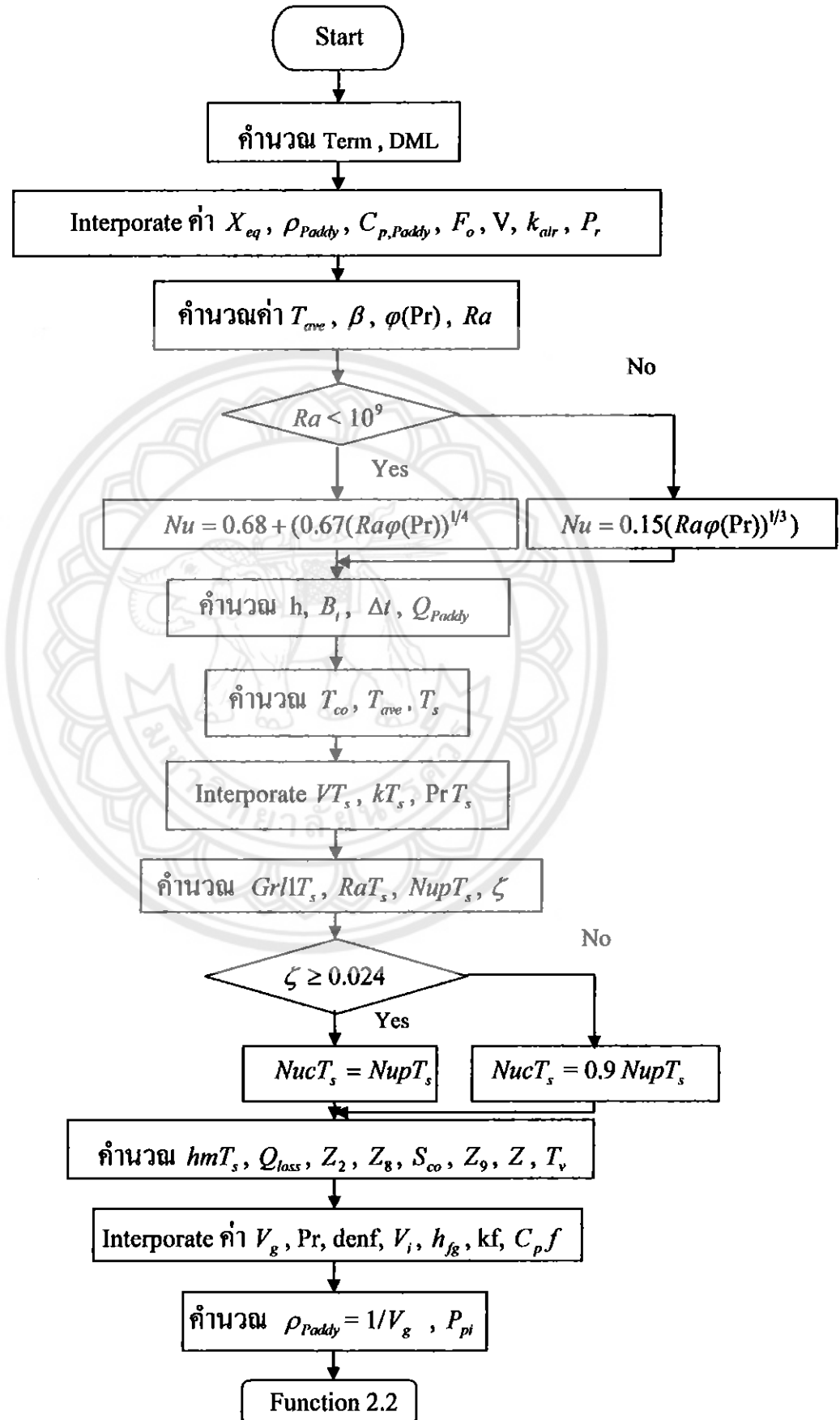
จากรูปที่ 3.11ช สามารถหาอุณหภูมิของข้าวเปลือกที่มีการระบายความร้อนโดยเทอร์โนไซฟอนได้ดังนี้

$$T_{m,n}^{p+1} = 4F_o[T_{m,n+1}^p - T_{m,n}^p + Bi(T_\infty - T_{m,n}^p) + \frac{2Q_{paddy} - Q_{Ts}}{k}] + T_{m,n}^p \quad (3.45)$$

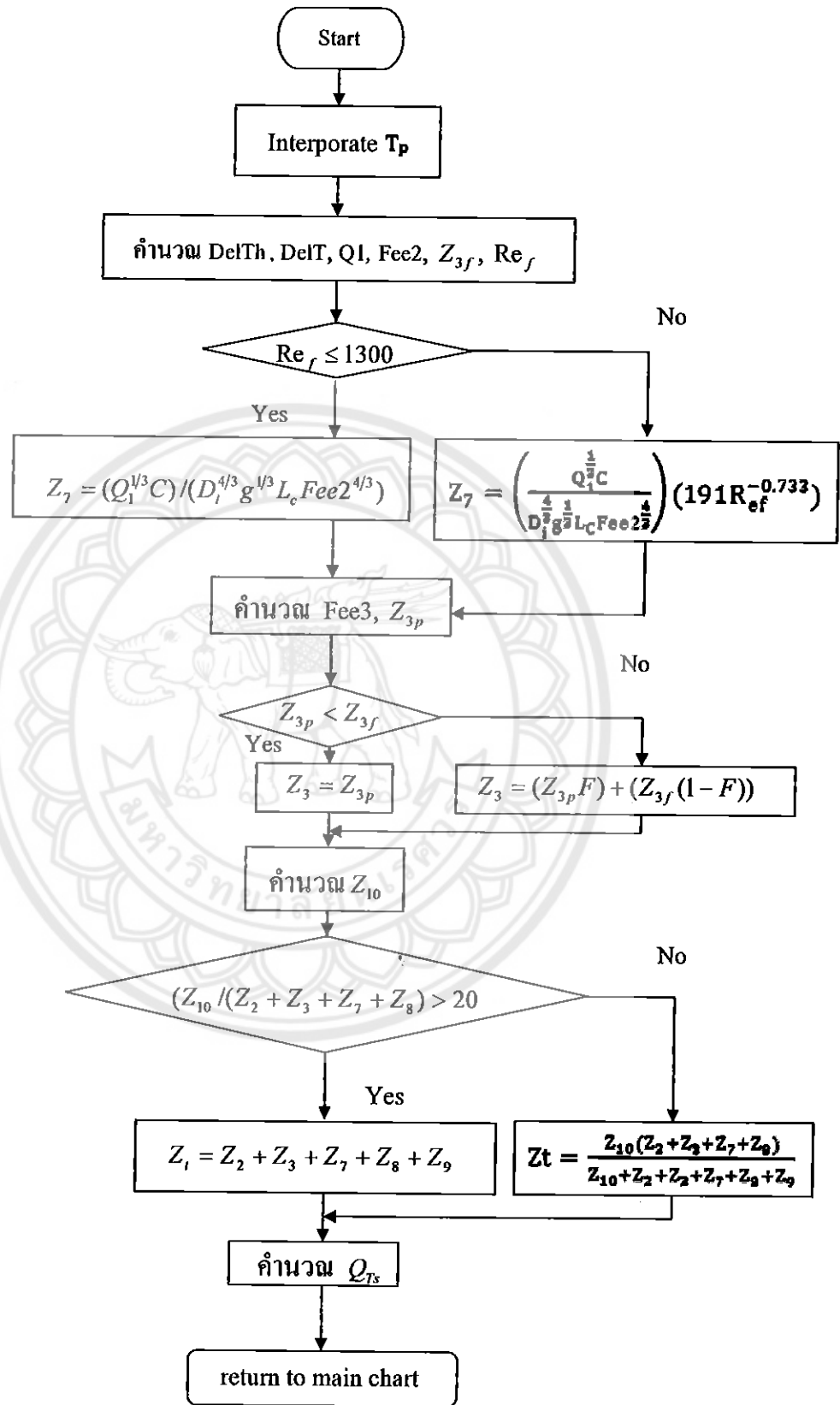


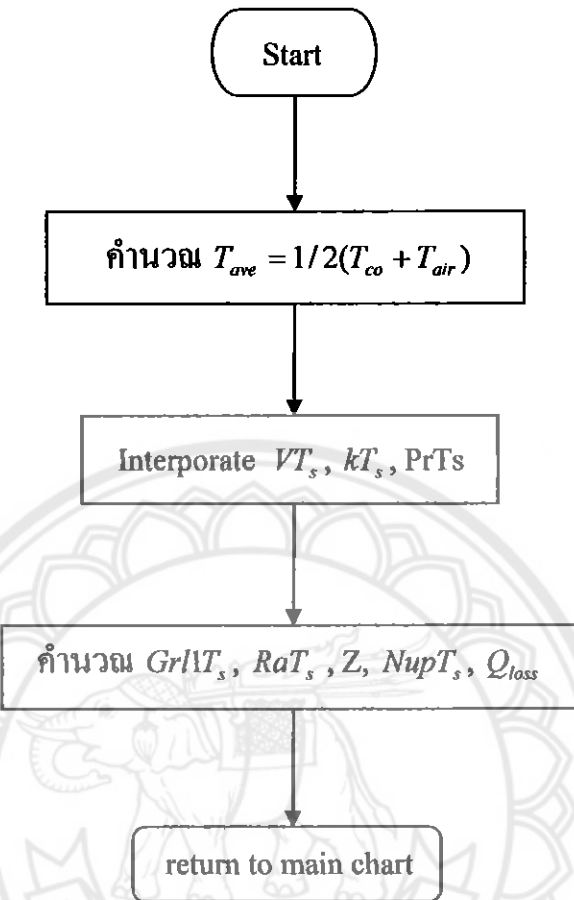


### Function 2



### Function 2.2



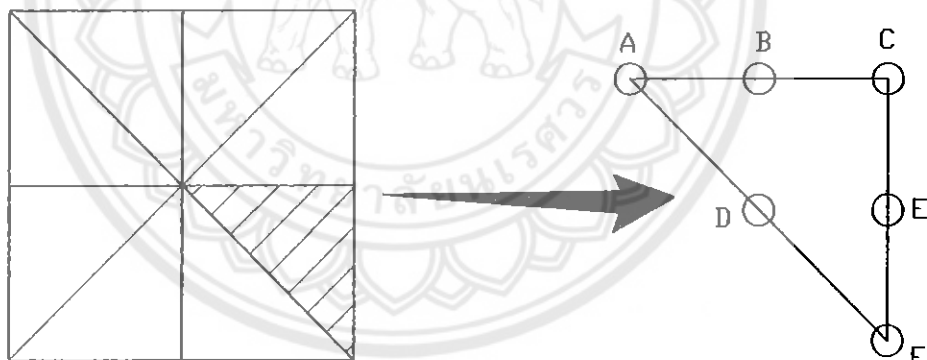
Function 3

## บทที่ 4

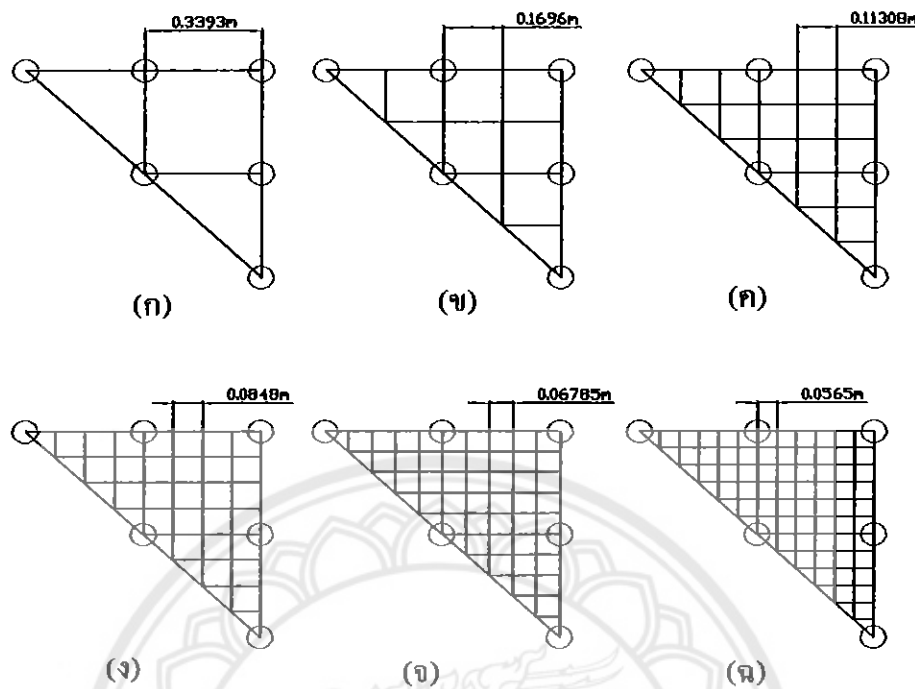
### ผลการทดลองและการวิเคราะห์ผล

จากการสร้างแบบจำลองการกระชาบอุณหภูมิของข้าวเปลือกในถังทึ้งที่ไม่มีเทอร์โนไซฟ่อนและที่มีเทอร์โนไซฟ่อนรับความร้อน โดยใช้โปรแกรม MATLAB และได้ทำการใช้โปรแกรมคำนวณ โดยเปลี่ยนตัวแปรที่จะศึกษามีดังนี้ คือ

1. วิเคราะห์หาระยะกริดของหน้าตัดของข้าวเปลือกที่เหมาะสมต่อการนำมาร้านวณในระบบระบบทรัพยากร้อน เนื่องจากกริดที่มีจำนวนແຄวของกริดที่เป็นจำนวนคู่และเป็นจำนวนคี่นั้นจะมีชุดตำแหน่งข้อมูลของโนดที่แตกต่างกัน ดังนั้นจึงเลือกระยะกริดที่มีจำนวนແຄวของกริดเป็นจำนวนคู่และมีระยะกริดที่แตกต่างกันเพื่อต้องการเลือกโนดที่อยู่ในตำแหน่งเดียวกันมาวิเคราะห์ คือ โนด A, B, C และ D ดังรูปที่ (4.1) แล้วคุ้ว่ามีแนวโน้มการถ่ายเข้าหรือถ่ายออกของอุณหภูมิของข้าวเปลือกอยู่ในช่วงกริดใด ระยะกริดที่นำมาวิเคราะห์มีดังนี้ คือ  $0.3393 \text{ m}$ ,  $0.1696 \text{ m}$ ,  $0.11308 \text{ m}$ ,  $0.0848 \text{ m}$ ,  $0.06785 \text{ m}$  และ  $0.0565 \text{ m}$  ซึ่งแสดงดังรูปที่ (4.2)



รูปที่ 4.1 แสดงโนดในตำแหน่งที่นำมาวิเคราะห์

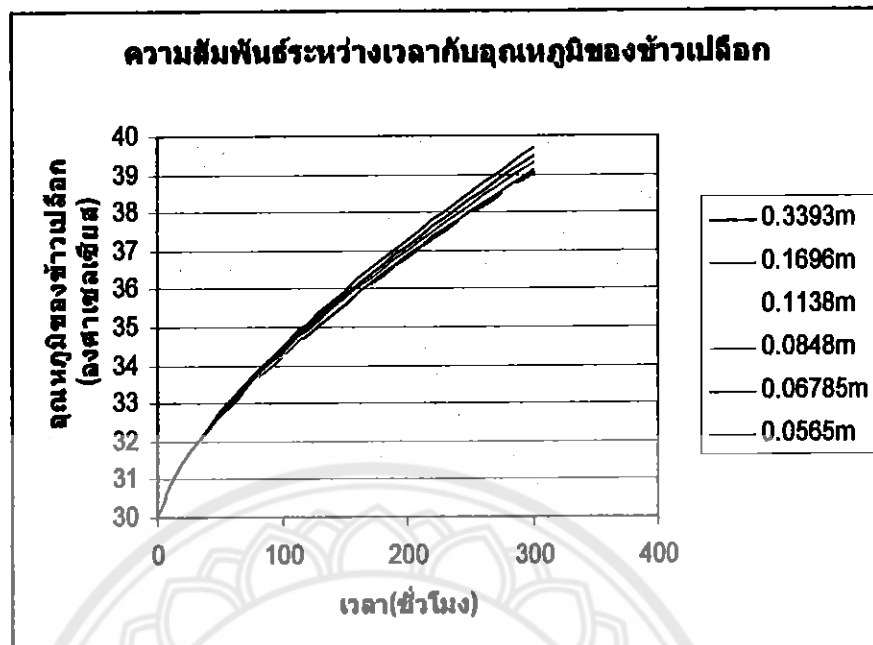


รูปที่ 4.2 แสดงขนาดกริดต่างๆ ที่นำมายังเคราะห์ (ก) กริดขนาด 0.3393m (ข) กริดขนาด 0.1696m (ค) กริดขนาด 0.1130m (ง) กริดขนาด 0.0848m (จ) กริดขนาด 0.06785m (หม) กริดขนาด 0.0565m

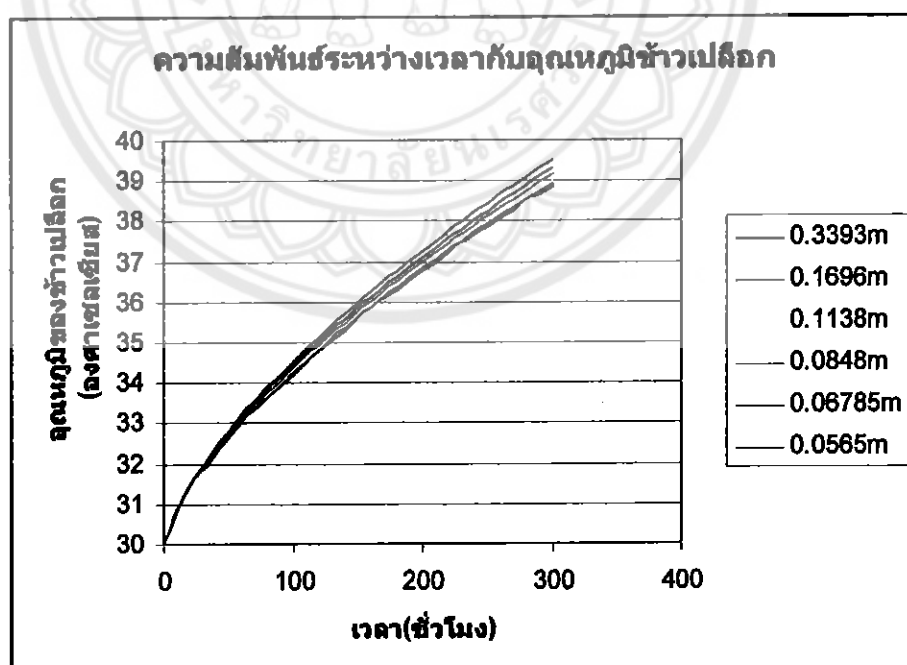
2. วิเคราะห์หาจำนวนท่อและลักษณะการจัดเรียงท่อที่ทำให้ลักษณะการกระจายอุณหภูมิของข้าวเปลือกที่มีการระบายน้ำร้อนนี้มีความสม่ำเสมอตลอดทั้งหน้าตัด และสามารถรักษาอุณหภูมิไว้ที่ 28-29 องศาเซลเซียส ภายในเวลาที่กำหนด โดยจำนวนท่อและลักษณะการวางท่อนี้จะมีความสอดคล้องกับระบบกริดที่ทางได้จากการวิเคราะห์ในข้อที่ 1

#### 4.1 การวิเคราะห์หาระยะกริดของหน้าตัดของชั้นข้าวเปลือกที่เหมาะสมต่อการนำน้ำค่าน้ำในระบบระบายน้ำร้อน

การวิเคราะห์หาระยะกริดของหน้าตัดของชั้นข้าวเปลือกที่เหมาะสมต่อการนำน้ำค่าน้ำในระบบระบายน้ำร้อนโดยท่อร้อนไม่ใช้ฟ่อน สามารถนำมาสร้างกราฟ แสดงคังรูปที่ (4.2)-(4.7) ซึ่งมีความสัมพันธ์ระหว่างอุณหภูมิของข้าวเปลือกของโนดที่นำมายังเคราะห์โดยมีระบบกริดที่แตกต่างกันเทียบกับเวลา โดยที่แกนนอนเป็นเวลา (ชั่วโมง) และแกนตั้งเป็นอุณหภูมิของข้าวเปลือก (องศาเซลเซียส) ซึ่งแสดงได้ดังนี้



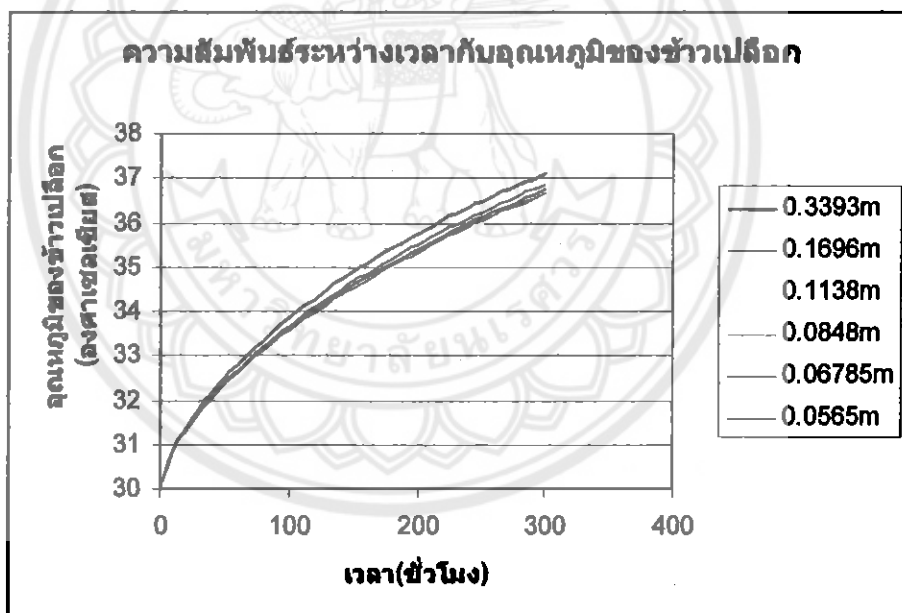
รูปที่ 4.3 แสดงความสัมพันธ์ระหว่างเวลา กับ อุณหภูมิของข้าวเปลือกของโนดคำแทน A



รูปที่ 4.4 แสดงความสัมพันธ์ระหว่างเวลา กับ อุณหภูมิของข้าวเปลือกของโนดคำแทน B

จากรูปที่ 4.3 แสดงให้เห็นว่าอุณหภูมิของข้าวเปลือกของในค A ที่ระเบการิตที่แตกต่างกันนั้น สามารถเรียงระเบการิตจากเส้นที่มีอุณหภูมิสูงสุดไปสู่เส้นที่มีอุณหภูมิต่ำสุด ได้ดังนี้ คือ  $0.0565\text{ m}$ ,  $0.06785\text{ m}$ ,  $0.0848\text{ m}$ ,  $0.1138\text{ m}$ ,  $0.1696\text{ m}$  และ  $0.3393\text{ m}$  นั้นคือ เรียงจากระเบการิตที่ลงทะเบียด ที่สุดไปสู่ระเบการิตที่หดตัวที่สุด โดยเมื่อเวลาผ่านไป 300 ชั่วโมง เส้นของอุณหภูมิที่ถูกตัดกันในแต่ละเส้นมีความแตกต่างของอุณหภูมิไม่เกิน  $0.2$  องศาเซลเซียส

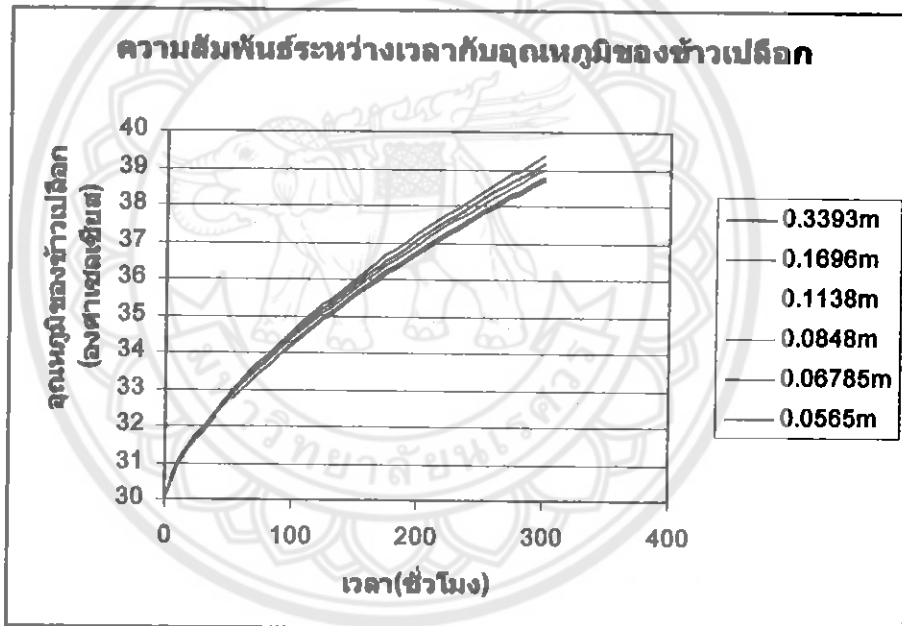
จากรูปที่ 4.4 แสดงให้เห็นว่าอุณหภูมิของข้าวเปลือกของในค B ที่ระเบการิตที่แตกต่างกันนั้น สามารถเรียงระเบการิตจากเส้นที่มีอุณหภูมิสูงสุดไปสู่เส้นที่มีอุณหภูมิต่ำสุด ได้ดังนี้ คือ  $0.0565\text{ m}$ ,  $0.06785\text{ m}$ ,  $0.0848\text{ m}$ ,  $0.1138\text{ m}$ ,  $0.1696\text{ m}$  และ  $0.3393\text{ m}$  นั้นคือ เรียงจากระเบการิตที่ลงทะเบียด ที่สุดไปสู่ระเบการิตที่ต่ำที่สุด โดยเมื่อเวลาผ่านไป 300 ชั่วโมง เส้นของอุณหภูมิที่ถูกตัดกันในแต่ละเส้นมีความแตกต่างของอุณหภูมิไม่เกิน  $0.2$  องศาเซลเซียส



รูปที่ 4.5 แสดงความสัมพันธ์ระหว่างเวลา กับ อุณหภูมิของข้าวเปลือกของในคต่ำแห่ง C

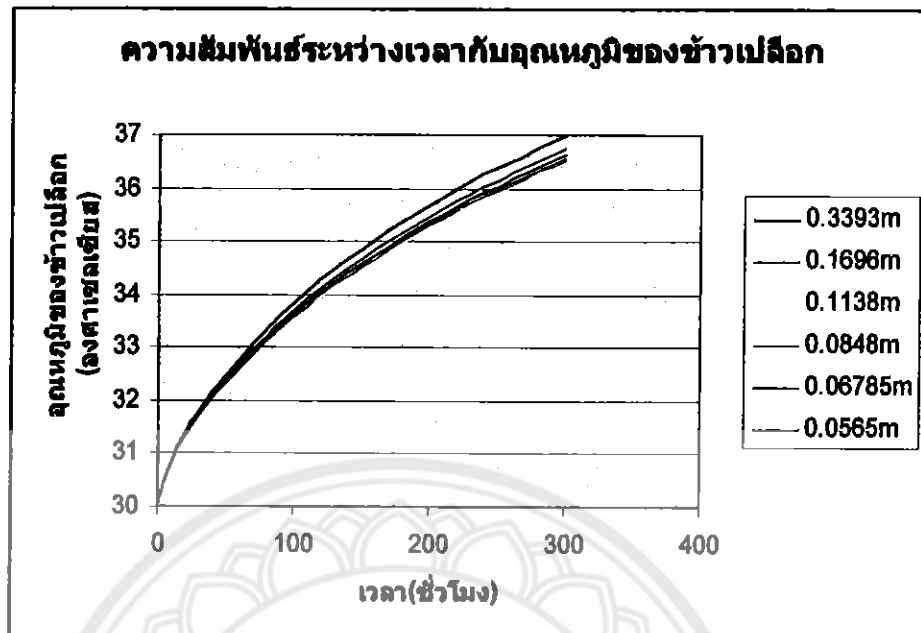
จากรูปที่ 4.5 แสดงให้เห็นว่าอุณหภูมิของข้าวเปลือกของในค C ที่ระเบการิตที่แตกต่างกันนั้น สามารถเรียงระเบการิตจากเส้นที่มีอุณหภูมิสูงสุดไปสู่เส้นที่มีอุณหภูมิต่ำสุด ได้ดังนี้ คือ  $0.3393\text{ m}$ ,  $0.0565\text{ m}$ ,  $0.06785\text{ m}$ ,  $0.1695\text{ m}$ ,  $0.0848\text{ m}$  และ  $0.1138\text{ m}$  พบว่าเส้นอุณหภูมิที่ระเบการิต  $0.1696\text{ m}$  จากเดิมซึ่งถ้าเรียงตามอุณหภูมิและความลงทะเบียดของริตรากูปที่ 4.3 และ 4.4 จะเป็นเส้นที่ 2

นับจากเส้นที่มีอุณหภูมิและความลักษณะเดียวกับของกริตต่ำสุด ซึ่งจะเริ่มเกิดการถูกออก โดยเมื่อเวลาผ่านไป 300 ชั่วโมง จะมีอุณหภูมิเป็นเส้นที่ 3 นับจากเส้นที่มีอุณหภูมิต่ำสุด ซึ่งจะอยู่ระหว่างอุณหภูมิของกริตนาค  $0.06785\text{ m}$  และ  $0.0848\text{ m}$  โดยจะมีอุณหภูมิต่ำกว่าอุณหภูมิที่ขนาดกริต  $0.06785\text{ m}$  เท่ากับ  $0.08$  องศาเซลเซียส และจะมีอุณหภูมิสูงกว่าอุณหภูมิที่ขนาดกริต  $0.0845\text{ m}$  เท่ากับ  $0.009$  องศาเซลเซียส ส่วนเส้นอุณหภูมิที่ระยะกริต  $0.3393\text{ m}$  จากเดิมซึ่งถ้าเรียงตามอุณหภูมิและความลักษณะของกริตจากขุปที่  $4.3$  และ  $4.4$  จะเป็นเส้นแรกที่มีอุณหภูมิต่ำสุด ซึ่งจะเริ่มเกิดการถูกออกอย่างเห็นได้ชัด โดยจะเป็นเส้นที่มีอุณหภูมิสูงที่สุด โดยมากกว่าเส้นอุณหภูมิของขนาดกริต  $0.0565\text{ m}$  และมีความแตกต่างของอุณหภูมิเท่ากับ  $0.26$  องศาเซลเซียส



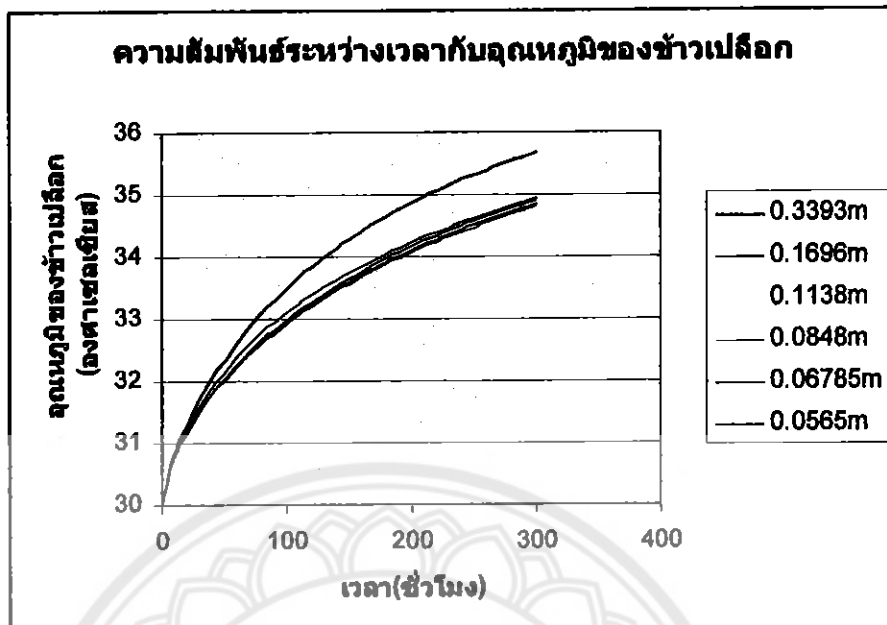
รูปที่ 4.6 แสดงความสัมพันธ์ระหว่างเวลา กับ อุณหภูมิของข้าวเปลือกของโนดต่ำแห่ง D

จากขุปที่ 4.6 แสดงให้เห็นว่าอุณหภูมิของข้าวเปลือกของโนด D ที่ระยะกริตที่แตกต่างกันนั้น สามารถเรียงระยะกริตจากเส้นที่มีอุณหภูมิสูงสุด ไปสู่เส้นที่มีอุณหภูมิต่ำสุด ได้ดังนี้ คือ  $0.0565\text{ m}$ ,  $0.06785\text{ m}$ ,  $0.0848\text{ m}$ ,  $0.1138\text{ m}$ ,  $0.1696\text{ m}$  และ  $0.3393\text{ m}$  นั่นคือ เรียงจากระยะกริตที่ลักษณะเดียวกับที่สุด ไปสู่ระยะกริตที่ต่ำที่สุด โดยเมื่อเวลาผ่านไป 300 ชั่วโมง เส้นของอุณหภูมิที่ถูกกันในแต่ละเส้นมีความแตกต่างของอุณหภูมิไม่เกิน  $0.2$  องศาเซลเซียส



รูปที่ 4.7 แสดงความสัมพันธ์ระหว่างเวลา กับ อุณหภูมิของข้าวเปลือกของโนดตัวแทนที่ E

จากรูปที่ 4.7 แสดงให้เห็นว่า อุณหภูมิของข้าวเปลือกของ โนด E ที่ระเบกริที่แตกต่างกัน นั้น สามารถเรียงระเบกริทจากเส้นที่มีอุณหภูมิสูงสุดไปสู่เส้นที่มีอุณหภูมิต่ำสุด ได้ดังนี้ กือ 0.3393 m, 0.0565 m, 0.06785 m, 0.1696 m, 0.0848 m และ 0.1138 m พบร่ว่า เส้นอุณหภูมิที่ระเบกริท 0.1696 m จากเดิมซึ่งถ้าเรียงตามอุณหภูมิและความละเอียดของกริดจากรูปที่ 4.3, 4.4 และ 4.6 จะเป็นเส้นที่ 2 นับจากเส้นที่มีอุณหภูมิและความละเอียดของกริดต่ำสุด ซึ่งจะเกิดการถูกออก โดยเมื่อเวลาผ่านไป 300 ชั่วโมง จะมีอุณหภูมิเป็นเส้นที่ 3 นับจากเส้นที่มีอุณหภูมิต่ำสุด ซึ่งจะอยู่ระหว่างอุณหภูมิของกริดขนาด 0.06785 m และ 0.0848 m โดยจะมีอุณหภูมิต่ำกว่าอุณหภูมิที่ขนาดกริด 0.06785 m เท่ากับ 0.08 องศาเซลเซียส และจะมีอุณหภูมิสูงกว่าอุณหภูมิที่ขนาดกริด 0.0845 m เท่ากับ 0.007 องศาเซลเซียส ด่วนเส้นอุณหภูมิที่ระเบกริท 0.3393 m จากเดิมซึ่งถ้าเรียงตามอุณหภูมิและความละเอียดของกริดจากรูปที่ 4.3, 4.4 และ 4.6 จะเป็นเส้นแรกที่มีอุณหภูมิต่ำสุด ซึ่งจะเกิดการถูกออก อย่างเห็นได้ชัด โดยจะเป็นเส้นที่มีอุณหภูมิสูงที่สุด โดยมากกว่าเส้นอุณหภูมิของขนาดกริด 0.0565 m และมีความแตกต่างของอุณหภูมิเท่ากับ 0.25 องศาเซลเซียส



รูปที่ 4.8 แสดงความสัมพันธ์ระหว่างเวลา กับ อุณหภูมิของข้าวเปลือกของโนดตัวแทน F

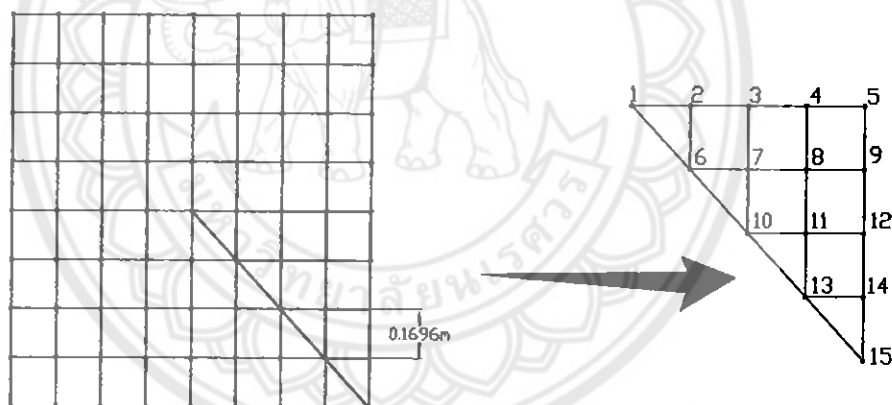
จากรูปที่ 4.8 แสดงให้เห็นว่าอุณหภูมิของข้าวเปลือกของโนด E ที่ระเบกริทที่แตกต่างกันนั้น สามารถเรียงระเบกริทจากเส้นที่มีอุณหภูมิสูงสุดไปถึงเส้นที่มีอุณหภูมิต่ำสุดได้ดังนี้ คือ 0.3393 m, 0.1696 m, 0.0565 m, 0.06785 m, 0.0848 m และ 0.1138 m พบว่าเส้นอุณหภูมิที่ระเบกริท 0.1696 m จากเดิมซึ่งถ้าเรียงตามอุณหภูมิและความละเอียดของกริดจากรูปที่ 4.3, 4.4 และ 4.6 จะเป็นเส้นที่ 2 นับจากเส้นที่มีอุณหภูมิและความละเอียดของกริดต่ำสุด ซึ่งจะเกิดการถูกตัดออก โดยเมื่อเวลาผ่านไป 300 นาที จะมีอุณหภูมิเป็นเส้นที่ 5 นับจากเส้นที่มีอุณหภูมิต่ำสุด ซึ่งจะมีอุณหภูมิอยู่ระหว่าง อุณหภูมิของกริดขนาด 0.3393 m และ 0.0565 m โดยจะมีอุณหภูมิต่ำกว่าอุณหภูมิที่ขนาดกริด 0.3393 m เท่ากับ 0.74 องศาเซลเซียส และจะมีอุณหภูมิสูงกว่าอุณหภูมิที่ขนาดกริด 0.0565 m เท่ากับ 0.02 องศาเซลเซียส ส่วนเส้นอุณหภูมิที่ระเบกริท 0.3393 m จากเดิมซึ่งถ้าเรียงตามอุณหภูมิ และความละเอียดของกริดจากรูปที่ 4.3, 4.4 และ 4.6 จะเป็นเส้นแรกที่มีอุณหภูมิต่ำสุด ซึ่งจะเกิดการถูกตัดออกอย่างเห็นได้ชัด โดยจะเป็นเส้นที่มีอุณหภูมิสูงที่สุด โดยมากกว่าเส้นอุณหภูมิของขนาดกริด 0.1696 m และ 0.0565 m และมีความแตกต่างของอุณหภูมิเท่ากับ 0.74 และ 0.76 องศาเซลเซียส ตามลำดับ

จากการวิเคราะห์กราฟความสัมพันธ์ระหว่างเวลา กับ อุณหภูมิของข้าวเปลือกข้างต้น พบว่า ที่ระเบกริท 0.1696 m มีแนวโน้มการถูกตัดออกของอุณหภูมิของข้าวเปลือกของจากอุณหภูมิของระเบกริทที่ต่ำกว่า แต่ยังอยู่ในแนวโน้มที่ใกล้เคียงกับอุณหภูมิของข้าวเปลือกของระเบกริทที่ต่ำกว่า ซึ่งมีค่าความแตกต่างของอุณหภูมนากที่สุดเท่ากับ 0.02 องศาเซลเซียส แต่ที่ระเบกริท 0.3393 m มี

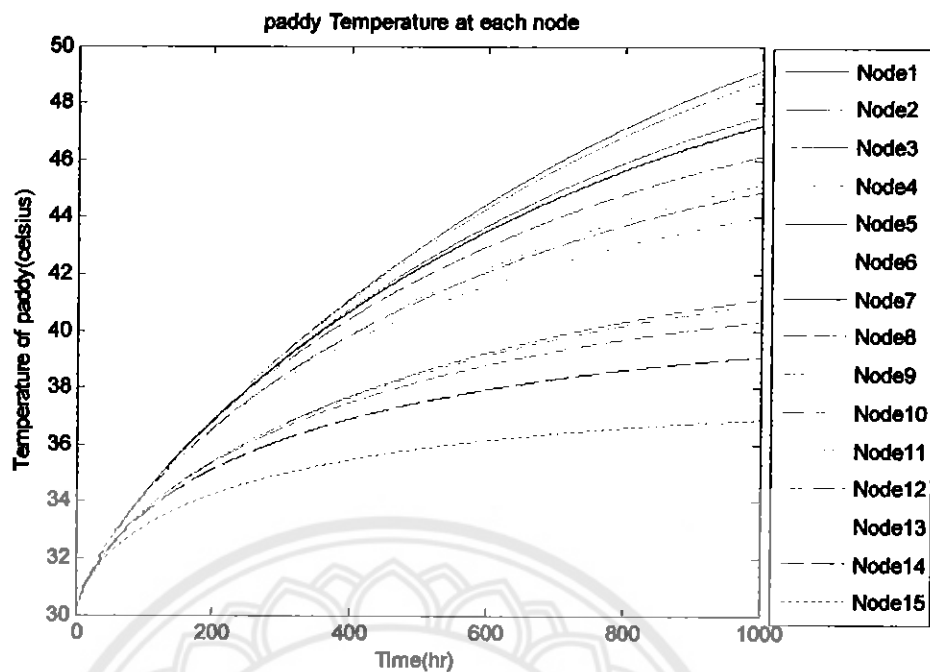
แนวโน้มการสูงขึ้นของอุณหภูมิของข้าวเปลือกต่อจากอุณหภูมิของระยะกริดที่ต่ำกว่าอย่างมาก ซึ่งมีค่าความแตกต่างของอุณหภูมนากที่สุดเท่ากับ 0.74 องศาเซลเซียส ดังนั้นจึงเลือกระยะกริดเริ่มต้นที่จะนำมาวิเคราะห์หาจำนวนท่อและลักษณะการวางท่อได้ คือ ระยะกริดที่น้อยกว่าหรือเท่ากับ 0.1696 m

#### 4.2 การวิเคราะห์ทางจำนวนท่อและลักษณะการวางท่อเทอร์โนไซฟ่อนในถังข้าวเปลือก

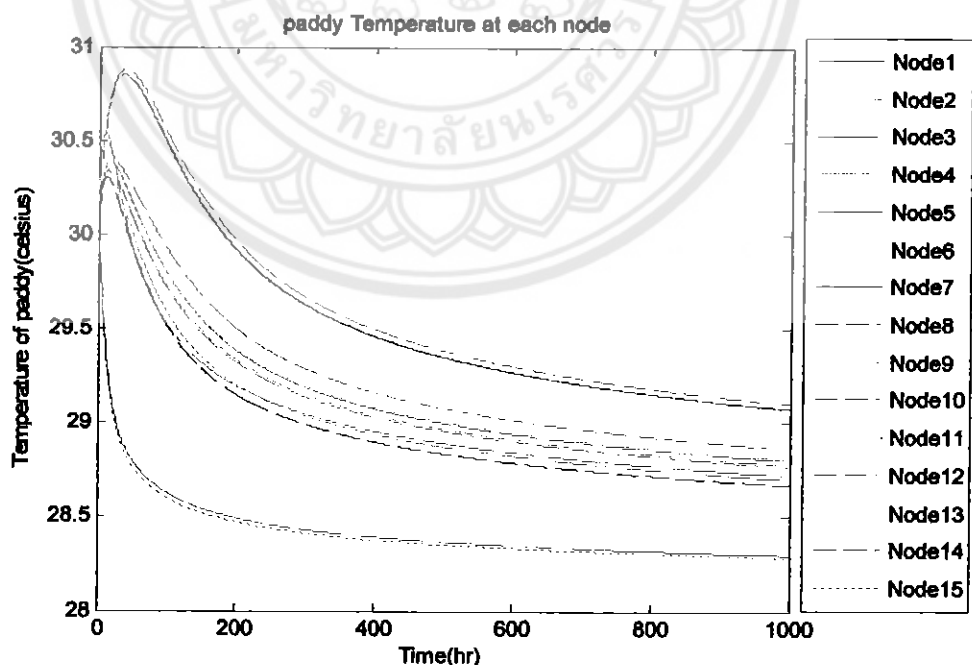
การวิเคราะห์ขาจำนวนท่อและลักษณะการวางท่อสามารถแสดงดังรูปที่ (4.9)-(4.23) ซึ่งเป็นแสดงกริดที่นำแนววิเคราะห์พร้อมกับกราฟการกระชาบอุณหภูมิของข้าวเปลือกในกรณีที่ไม่มีเทอร์โน้ไฟฟอนและกราฟการกระชาบอุณหภูมิของข้าวเปลือกในกรณีที่มีเทอร์โน้ไฟฟอน โดยแกนนอนเป็นเวลา(ชั่วโมง) และแกนตั้งเป็นอุณหภูมิของข้าวเปลือก(องศาเซลเซียส) โดยเริ่มศูนย์วิเคราะห์จากระยะกริดเท่ากับ  $0.1696 \text{ m}$  ซึ่งได้จากการวิเคราะห์ในหัวข้อ 4.1



รูปที่ 4.9 แสดงกรีดขนาด  $0.1696 \text{ m}$



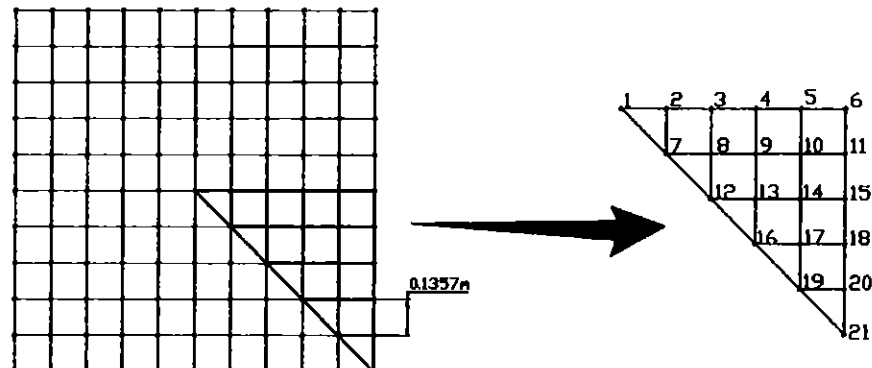
รูปที่ 4.10 แสดงความสัมพันธ์ที่ระยะกวิตเท่ากับ  $0.1696 \text{ m}$  ระหว่างเวลา กับ อุณหภูมิของข้าวเมล็ดของแต่ละโนดโดยที่ไม่มีการใส่เทอร์โนไฟฟอน



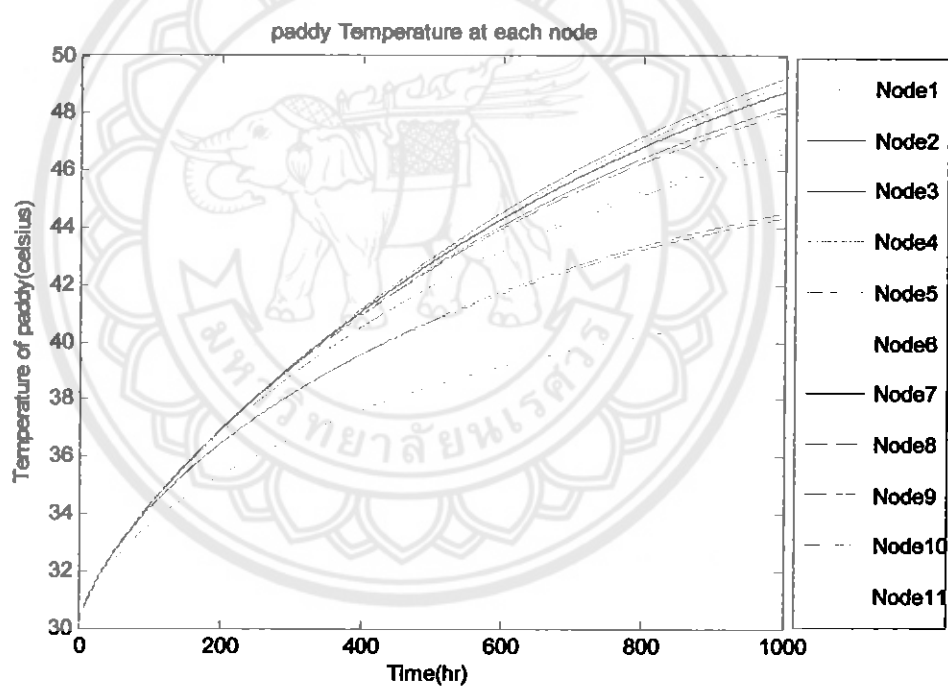
รูปที่ 4.11 แสดงความสัมพันธ์ที่ระยะกวิตเท่ากับ  $0.1696 \text{ m}$  ระหว่างเวลา กับ อุณหภูมิของข้าวเมล็ดของแต่ละโนดโดยที่มีการใส่เทอร์โนไฟฟอนทุกโนด

จากข้อที่ 4.10 จะเห็นว่าอุณหภูมิของข้าวเปลือกที่แต่ละโนดนั้นมีความแตกต่างกัน ซึ่งสามารถเรียงจากโนดที่มีอุณหภูมิสูงสุดไปสู่โนดที่มีอุณหภูมิต่ำสุด ได้ดังนี้ คือ โนดที่ 1, 2, 6, 3, 7, 10, 4, 8, 11, 13, 5, 9, 12, 14, 15 ตามลำดับ โดยโนดที่มีอุณหภูมิสูงที่สุด คือ โนดที่ 1 ซึ่งเป็นตำแหน่งที่อยู่ตรงกึ่งกลางของทุกๆหน้าตัดของถัง และ โนดที่มีอุณหภูมิน้อยที่สุด คือ โนดที่ 15 ซึ่งเป็นตำแหน่งที่อยู่ตรงมุมล่างของทุกๆหน้าตัด ส่วน โนดอื่นๆ จะมีแนวโน้มของอุณหภูมิคงนี้ คือ อุณหภูมิจะต่ำลงเมื่อเข้าใกล้ผนังของถังมากขึ้น ซึ่งเป็นผลมาจากการที่บริเวณผนังของถังจะมีการพากความร้อนเนื่องจากธรรมชาติเกิดขึ้น จึงทำให้ข้าวเปลือกบริเวณใกล้กับผนังถังมีการสูญเสียความร้อนที่ข้าวเปลือกสร้างขึ้นมาให้กับบรรยากาศ และจะเห็นว่าถ้าปราศจากกระบวนการระบายความร้อนแล้ว อุณหภูมิของข้าวเปลือกเมื่อเวลาผ่านไป 1000 ชั่วโมง จะสูงถึง 37-49 องศาเซลเซียส เลยก็ได้เช่น ซึ่งถือว่าข้าวเปลือกที่มีอุณหภูมิสูงถึงขนาดนี้ จะทำให้ข้าวเปลือกเสื่อมคุณภาพลงอย่างรวดเร็ว เพราะการเก็บรักษาข้าวเปลือกให้คงคุณภาพคืนนั้นจะต้องรักษาอุณหภูมิให้คงที่ที่ 28-29 องศาเซลเซียส ดังนั้นจึงต้องมีกระบวนการระบายความร้อนให้กับข้าวเปลือกเพื่อรักษาคุณภาพของข้าวเปลือก

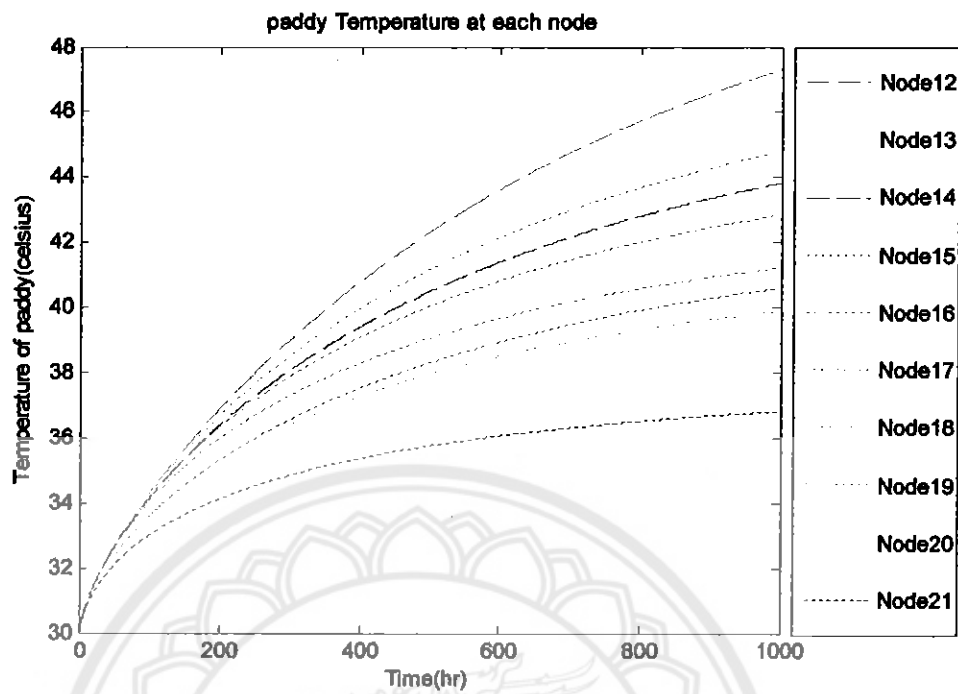
จากข้อที่ 4.11 จะเห็นว่าอุณหภูมิของข้าวเปลือกเมื่อมีการใส่เทอร์โนไซฟอนที่ทุกๆ โนดซึ่งจะได้เทอร์โนไซฟอนทั้งหมดเท่ากับ 81 ท่อ อุณหภูมิของแต่ละโนดนั้นมีความแตกต่างกัน ซึ่งสามารถเรียงจากโนดที่มีอุณหภูมิสูงสุดไปสู่โนดที่มีอุณหภูมิต่ำสุด ได้ดังนี้ คือ โนดที่ 8, 7, 11, 10, 4, 3, 6, 13, 9, 12, 5, 2, 14, 1, 15 ตามลำดับ โดยความสามารถในการรักษาอุณหภูมิของข้าวเปลือกที่โนดต่างๆ มีดังนี้ คือ โนดที่ 1 และ 15 จะมีอุณหภูมิลดลงทันทีจาก 30 องศาเซลเซียส จนสามารถรักษาอุณหภูมิของข้าวเปลือกให้ต่ำกว่า 29 องศาเซลเซียส ได้ภายในเวลาที่น้อยกว่า 50 ชั่วโมง ในดที่ 10, 4, 3, 6, 13, 9, 12, 5, 2, 14 ใน 50 ชั่วโมงแรก จะมีอุณหภูมิที่สูงขึ้นแต่ไม่เกิน 30.5 องศาเซลเซียส หลังจากนั้นจะมีอุณหภูมิลดต่ำลงเรื่อยๆ และสามารถรักษาอุณหภูมิของข้าวเปลือกให้ต่ำกว่า 29 องศาเซลเซียสได้ภายในเวลา 624 ชั่วโมง ในดที่ 8, 7, 11 ใน 50 ชั่วโมงแรก จะมีอุณหภูมิสูงขึ้นแต่ไม่เกิน 31 องศาเซลเซียส หลังจากนั้นจะมีอุณหภูมิลดต่ำลงเรื่อยๆ และเมื่อเวลาผ่านไปถึง 1000 ชั่วโมง ยังไม่สามารถรักษาอุณหภูมิของข้าวเปลือกให้ต่ำกว่า 29 องศาเซลเซียสได้ ซึ่งข้าวเปลือกที่มีอุณหภูมิสูงกว่า 29 องศาเซลเซียส และมีอุณหภูมิไม่เกิน 31 องศาเซลเซียส จะสามารถเก็บได้นานที่สุด 722.4 ชั่วโมง โดยมีปอร์เซ็นต์ความคงคล่องน้อยกว่า 10% ดังนั้นที่ระยะกริด 0.1696 m และมีการใส่เทอร์โนไซฟอนที่ทุกๆ โนด ซึ่งจะมีเทอร์โนไซฟอนทั้งหมดเท่ากับ 81 ท่อ นั้น ไม่สามารถนำมาใช้ระบบความร้อนให้แก่ข้าวเปลือกในระบบนี้ได้ เนื่องจากมีโนดที่ไม่สามารถรักษาอุณหภูมิให้ต่ำกว่า 29 องศาเซลเซียส ภายในเวลา 722.4 ชั่วโมง นั้นคือ โนดที่ 8, 7 และ 11 นั่นเอง จึงทำการเลือกขนาดกริดที่จะอิบช์นเพื่อทำการวิเคราะห์ในลักษณะเดิมต่อไป นั่นก็คือ กริดขนาด 0.1357 m



รูปที่ 4.12 แสดงกริดขนาด  $0.1357\text{ m}$

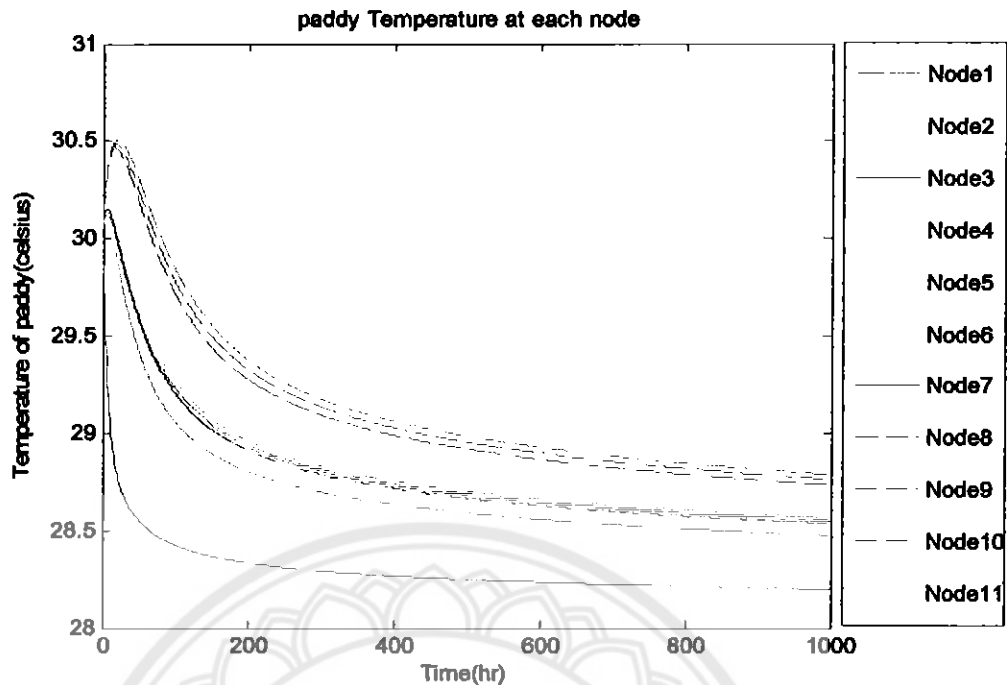


รูปที่ 4.13 แสดงความสัมพันธ์ที่ระยะกริดเท่ากับ  $0.1357\text{ m}$  ระหว่างเวลา กับ อุณหภูมิของ ข้าวเปลือกของโนด 1-11 โดยที่ไม่มีการใช้เกอร์โนมไฟฟอน

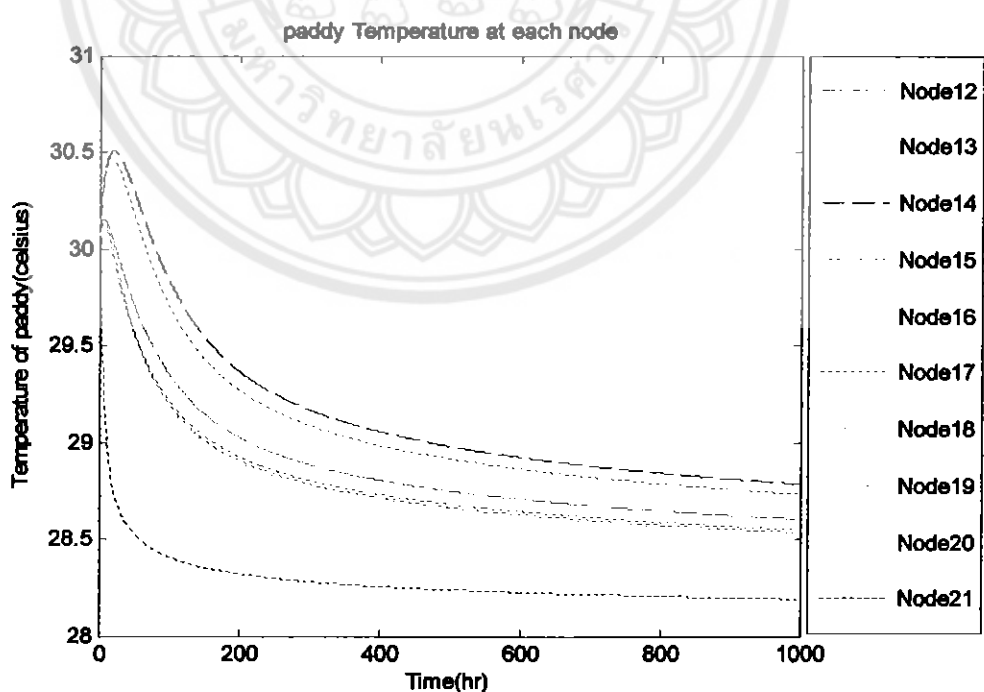


รูปที่ 4.14 แสดงความสัมพันธ์ที่ระยะกริดเท่ากับ  $0.1357 \text{ m}$  ระหว่างเวลาภัยดูดหภูมิของข้าวเปลือกของ Node12-21 โดยที่ไม่การใส่เทอร์โนไฟฟอน

จากรูปที่ 4.13 และ 4.14 จะเห็นว่าอุณหภูมิของข้าวเปลือกที่แต่ละในคนี้มีความแตกต่างกัน ซึ่งสามารถเรียงจากในคที่มีอุณหภูมิสูงสุดไปสู่ในคที่มีอุณหภูมิต่ำสุด ได้ดังนี้ ก็อในคที่ 1, 2, 7, 3, 8, 12, 4, 9, 13, 16, 5, 10, 14, 17, 19, 6, 11, 15, 18, 20, 21 ตามลำดับ โดยในคที่มีอุณหภูมิสูงที่สุด ก็อ ในคที่ 1 ซึ่งเป็นตำแหน่งที่อยู่ตรงกึ่งกลางของทุกๆ หน้าตัดของถัง และในคที่มีอุณหภูมิน้อยที่สุด ก็อ ในคที่ 15 ซึ่งเป็นตำแหน่งที่อยู่ตรงมุมของทุกๆ หน้าตัดของถัง ส่วนในคอื่นๆ จะมีแนวโน้มของอุณหภูมิดังนี้ ก็อ อุณหภูมิจะต่ำลงเมื่อเข้าใกล้ผนังของถังมากขึ้น ซึ่งเป็นผลมาจากการที่บริเวณผนังของถังจะมีการพาราความร้อนเนื่องจากธรรมชาติเกิดขึ้น จึงทำให้ข้าวเปลือกบริเวณใกล้กับผนังถังมีการสูญเสียความร้อนที่ข้าวเปลือกสร้างขึ้นมาให้กับบรรยากาศ และจะเห็นว่าถ้าปราศจากการระบายความร้อนแล้วอุณหภูมิของข้าวเปลือกเมื่อเวลาผ่านไป 1000 ชั่วโมง จะสูงถึง 37-49 องศาเซลเซียส เลยทีเดียว ซึ่งถือว่าข้าวเปลือกที่มีอุณหภูมิสูงถึงขนาดนี้ จะทำให้ข้าวเปลือกเสื่อมคุณภาพลงอย่างรวดเร็ว เพราะการเก็บรักษาข้าวเปลือกให้คงคุณภาพนั้นจะต้องรักษาอุณหภูมิให้คงที่ที่ 28-29 องศาเซลเซียส ดังนั้นจึงต้องมีการระบายความร้อนให้กับข้าวเปลือกเพื่อรักษาคุณภาพของข้าวเปลือก

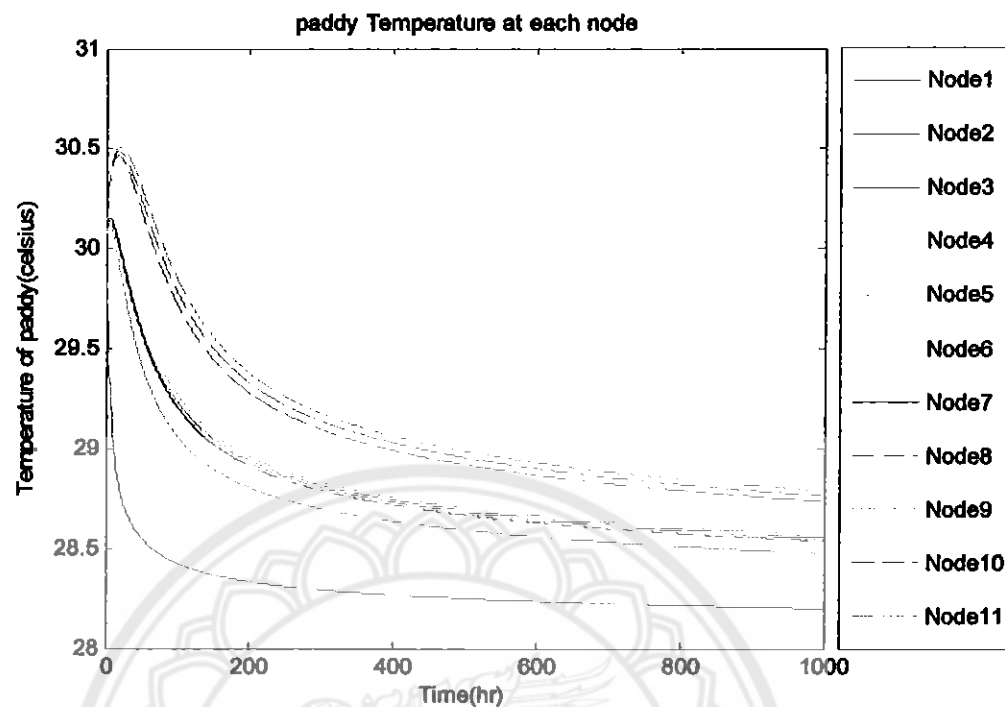


รูปที่ 4.15 แสดงความสัมพันธ์ที่ระยะกว้างเท่ากับ 0.1357 m ระหว่างเวลา กับ อุณหภูมิของข้าวเปลือกของโนด 1-11 โดยที่มีการใช้เตอร์โมไซฟ่อนทุกโนด

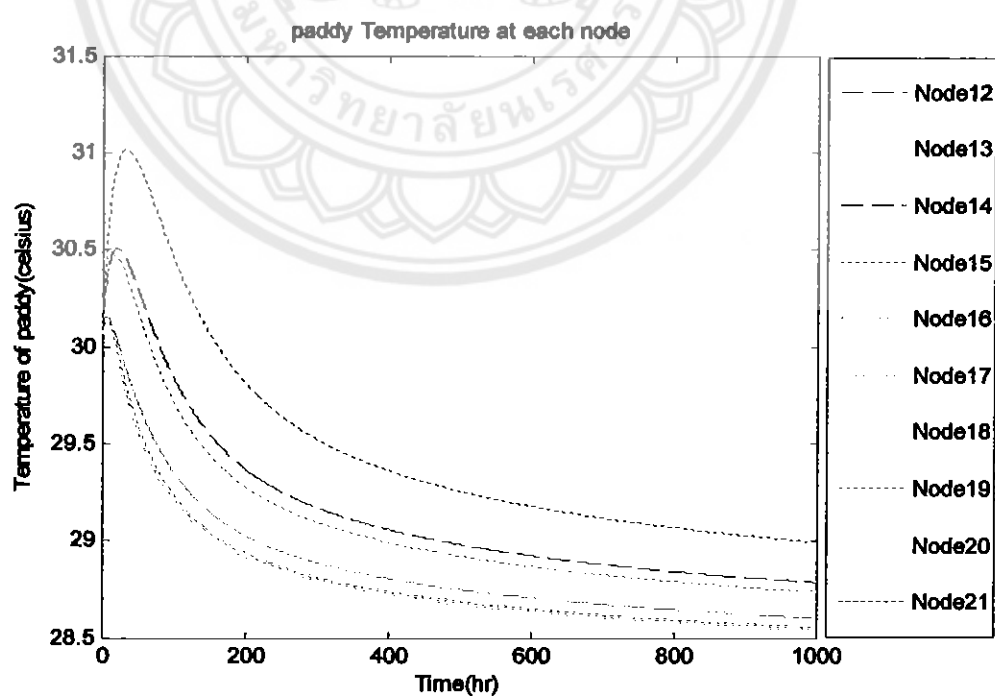


รูปที่ 4.16 แสดงความสัมพันธ์ที่ระยะกว้างเท่ากับ 0.1357 m ระหว่างเวลา กับ อุณหภูมิของข้าวเปลือกของโนด 12-21 โดยที่มีการใช้เตอร์โมไซฟ่อนทุกโนด

จากรูปที่ 4.15 และ 4.16 จะเห็นว่าอุณหภูมิของข้าวเปลือกเมื่อมีการใส่เทอร์โนไซฟอนที่ทุกๆ โนดซึ่งจะได้เทอร์โนไซฟอนทั้งหมดเท่ากับ 121 ท่อ อุณหภูมิของแต่ละโนดนั้นจะมีความแตกต่างกัน ซึ่งสามารถเรียงจากโนดที่มีอุณหภูมิสูงสุดไปสู่โนดที่มีอุณหภูมิต่ำสุดได้ดังนี้ กือโนดที่ 9, 14, 13, 10, 8, 17, 12, 16, 4, 5, 3, 15, 11, 7, 19, 18, 6, 2, 20, 1, 21 ตามลำดับ โดยความสามารถในการรักษาอุณหภูมิของข้าวเปลือกที่ในด่านั้น มีดังนี้ กือ โนดที่ 1 และ 21 จะมีอุณหภูมิลดลงทันที จาก 30 องศาเซลเซียส จนสามารถรักษาอุณหภูมิของข้าวเปลือกให้ต่ำกว่า 29 องศาเซลเซียส ได้ภายในเวลาที่น้อยกว่า 50 ชั่วโมง ในด่านั้น 12, 16, 4, 5, 3, 15, 11, 7, 19, 18, 6, 2, 20 ใน 50 ชั่วโมงแรก จะมีอุณหภูมิที่สูงขึ้นแต่ไม่เกิน 30.2 องศาเซลเซียส หลังจากนั้นจะมีอุณหภูมิลดลงต่ำลงเรื่อยๆ และสามารถรักษาอุณหภูมิของข้าวเปลือกให้ต่ำกว่า 29 องศาเซลเซียส ได้ภายในเวลา 210 ชั่วโมง ในด่านั้น 9, 14, 13, 10, 8, 17 ใน 50 ชั่วโมงแรก จะมีอุณหภูมิสูงขึ้นแต่ไม่เกิน 30.5 องศาเซลเซียส หลังจากนั้น จะมีอุณหภูมิลดลงต่ำลงเรื่อยๆ และสามารถรักษาอุณหภูมิของข้าวเปลือกให้ต่ำกว่า 29 องศาเซลเซียส ได้ภายในเวลา 478 ชั่วโมง ซึ่งข้าวเปลือกที่มีอุณหภูมิสูงกว่า 29 องศาเซลเซียส และมีอุณหภูมิไม่เกิน 31 องศาเซลเซียส จะสามารถเก็บได้นานที่สุด 722.4 ชั่วโมง โดยมีเบอร์เซ็นต์ความคงคล่อง น้อยกว่า 10% ดังนั้นที่ระยะกริด  $0.1357 \text{ m}$  และมีการใส่เทอร์โนไซฟอนที่ทุกๆ โนด ซึ่งจะมีเทอร์โนไซฟอนทั้งหมดเท่ากับ 121 ท่อ นั้นสามารถนำมาใช้ระบบความร้อนให้แก่ข้าวเปลือกในระบบนี้ได้ เมื่อจากที่ทุกๆ โนดสามารถรักษาอุณหภูมิให้ต่ำกว่า 29 องศาเซลเซียส ภายในเวลา 478 ชั่วโมง ซึ่ง น้อยกว่าเวลาของข้าวเปลือกที่มีอุณหภูมิสูงกว่า 29 องศาเซลเซียส และมีอุณหภูมิไม่เกิน 31 องศาเซลเซียส ที่สามารถเก็บได้นานที่สุด 722.4 ชั่วโมง โดยมีผลต่างของเวลาเท่ากับ 224.4 ชั่วโมง ดังนั้นจึงทำการวิเคราะห์ต่อไปโดยการลดจำนวนท่อลง โดยจะทำการลดจำนวนท่อที่โนด 21 ซึ่ง เป็นโนดที่มีอุณหภูมิต่ำสุดเมื่อไม่มีการใส่เทอร์โนไซฟอนที่ทุกๆ โนด

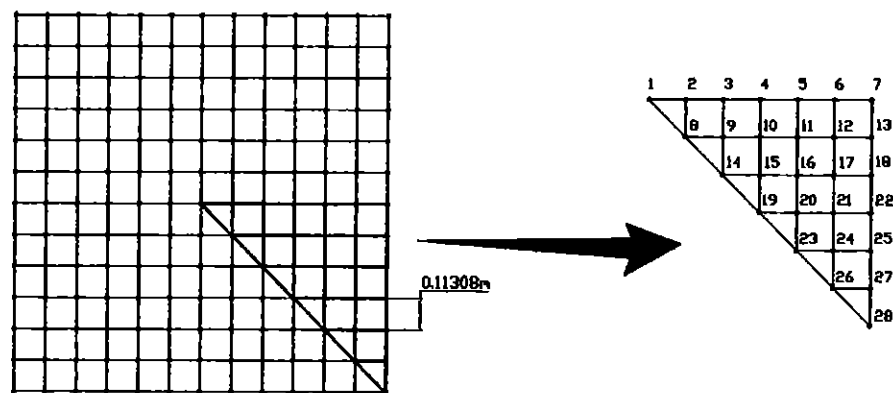


รูปที่ 4.17 แสดงความสัมพันธ์ที่ระยะกวิตเท่ากับ 0.1357 m ระหว่างเวลา กับ อุณหภูมิของ  
ข้าวเปลือกของโนด 1-11 โดยที่ไม่มีการใส่เทอร์โมไฟฟ่อนที่โนด 21

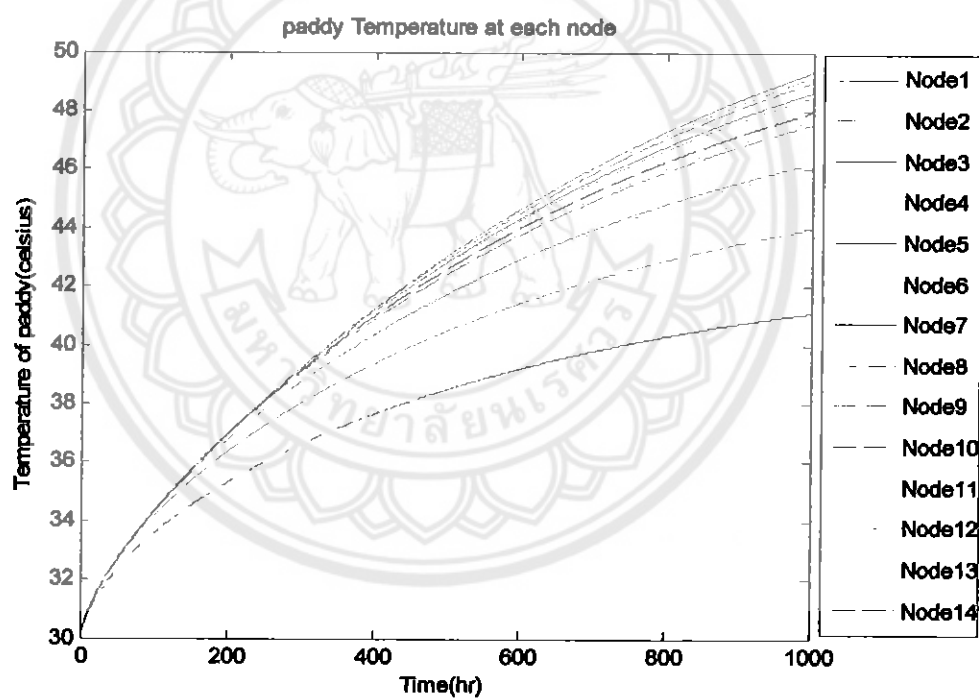


รูปที่ 4.18 แสดงความสัมพันธ์ที่ระยะกวิตเท่ากับ 0.1357 m ระหว่างเวลา กับ อุณหภูมิของ  
ข้าวเปลือกของโนด 12-21 โดยที่ไม่มีการใส่เทอร์โมไฟฟ่อนที่โนด 21

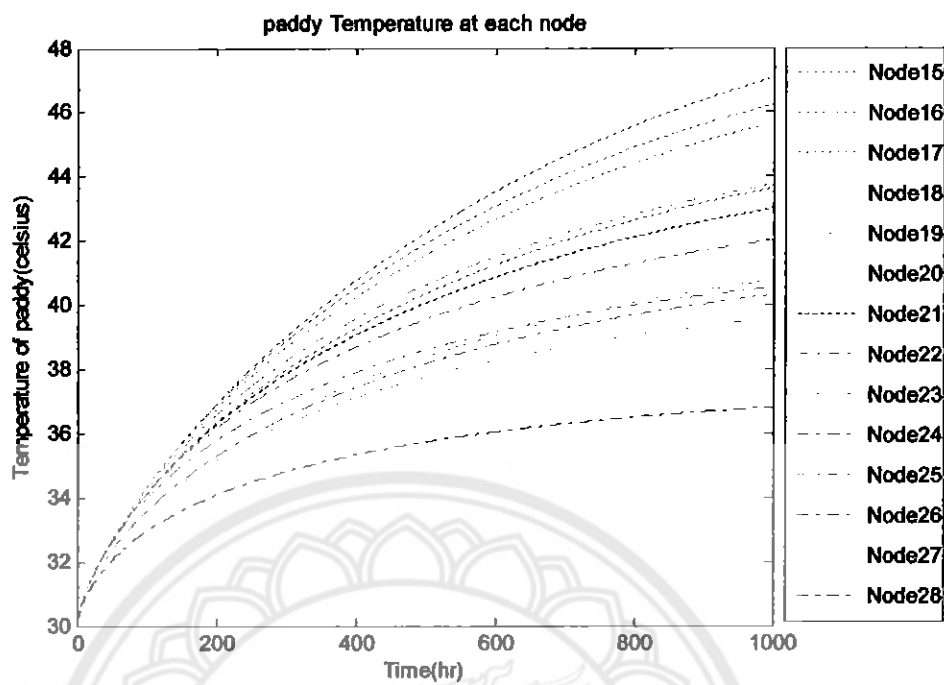
จากรูปที่ 4.17 และ 4.18 จะเห็นว่าอุณหภูมิของข้าวเปลือกเมื่อมีการใส่เทอร์โนไซฟอนที่ทุกๆ โคนยกเว้นโคนที่ 21 ซึ่งจะได้เทอร์โนไซฟอนทั้งหมดเท่ากับ 117 ท่อ อุณหภูมิของแต่ละโคนนั้นจะมีความแตกต่างกัน ซึ่งสามารถเรียงจากโคนที่มีอุณหภูมิสูงสุดไปสู่โคนที่มีอุณหภูมิต่ำสุดได้ ดังนี้ กือโคนที่ 21, 9, 14, 13, 10, 17, 8, 16, 12, 4, 5, 19, 15, 3, 20, 11, 18, 7, 6, 2, 1, ตามลำดับโดยความสามารถในการรักษาอุณหภูมิของข้าวเปลือกที่ในคต่างๆ มีดังนี้ กือ โคนที่ 1 จะมีอุณหภูมิลดลงทันทีจาก 30 องศาเซลเซียส จนสามารถรักษาอุณหภูมิของข้าวเปลือกให้ต่ำกว่า 29 องศาเซลเซียส ได้ภายในเวลาที่น้อยกว่า 50 ชั่วโมง ในคที่ 16, 12, 4, 5, 19, 15, 3, 20, 11, 18, 7, 6, 2 ใน 50 ชั่วโมงแรก จะมีอุณหภูมิที่สูงขึ้นแต่ไม่เกิน 30.2 องศาเซลเซียส หลังจากนั้นจะมีอุณหภูมิลดต่ำลงเรื่อยๆ และสามารถรักษาอุณหภูมิของข้าวเปลือกให้ต่ำกว่า 29 องศาเซลเซียส ได้ภายในเวลาที่ต่ำกว่า 213 ชั่วโมง ในคที่ 9, 14, 13, 10, 17, 8 ใน 50 ชั่วโมงแรก จะมีอุณหภูมิสูงขึ้นแต่ไม่เกิน 30.5 องศาเซลเซียส หลังจากนั้นจะมีอุณหภูมิลดต่ำลงเรื่อยๆ และสามารถรักษาอุณหภูมิของข้าวเปลือกให้ต่ำกว่า 29 องศาเซลเซียส ได้ภายในเวลา 478 ชั่วโมง ในคที่ 21 ใน 50 ชั่วโมงแรก จะมีอุณหภูมิที่สูงขึ้นแต่ไม่เกิน 31.1 องศาเซลเซียส หลังจากนั้นจะมีอุณหภูมิลดต่ำลงเรื่อยๆ และสามารถรักษาอุณหภูมิของข้าวเปลือกให้ต่ำกว่า 29 องศาเซลเซียส ได้ภายในเวลา 1000 ชั่วโมง ซึ่งข้าวเปลือกที่มีอุณหภูมิสูงกว่า 29 องศาเซลเซียส และมีอุณหภูมิไม่เกิน 31 องศาเซลเซียส จะสามารถกึ่นได้นานที่สุด 722.4 ชั่วโมง โดยมีเปอร์เซ็นต์ความคงคล่องน้อยกว่า 10% ดังนั้นที่ระยะกริด 0.1357 m และมีการใส่เทอร์โนไซฟอนที่ทุกๆ โคนยกเว้นโคนที่ 21 ซึ่งจะมีเทอร์โนไซฟอนทั้งหมดเท่ากับ 117 ท่อ นั้นไม่สามารถนำมาใช้ระบบความร้อนให้แก่ข้าวเปลือกในระบบนี้ได้ เมื่อจากมีโคนที่ไม่สามารถรักษาอุณหภูมิให้ต่ำกว่า 29 องศาเซลเซียส ภายในเวลา 722.4 ชั่วโมง นั้นคือ โคนที่ 21 นั้นเอง เพื่อคุ้ลักษณะการกระจายอุณหภูมิของกริดอื่นๆ จึงทำการเดือกระยะกริดที่มีความละเอียดมากขึ้น



รูปที่ 4.19 แมตค์กริทขนาด  $0.11308 \text{ m}$

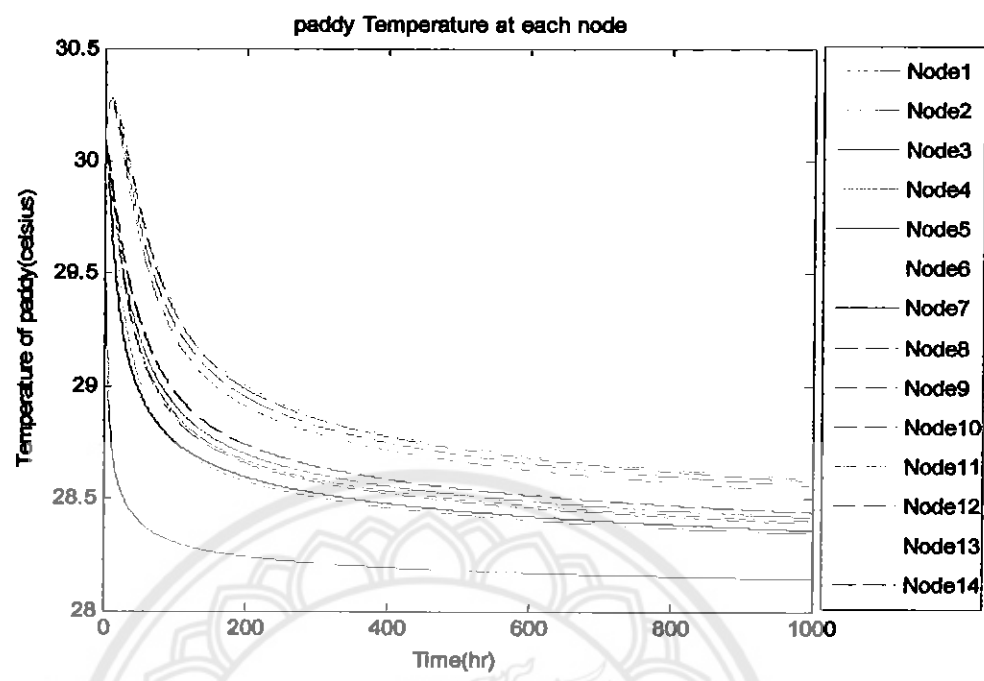


รูปที่ 4.20 แมตค์ความสัมพันธ์ที่ระยะกริทเท่ากับ  $0.11308 \text{ m}$  ระหว่างเวลา กับ อุณหภูมิของ  
ข้าวเปลือกของโอด 1-14 โดยที่ไม่มีการใส่เทอร์โนไซด์อน

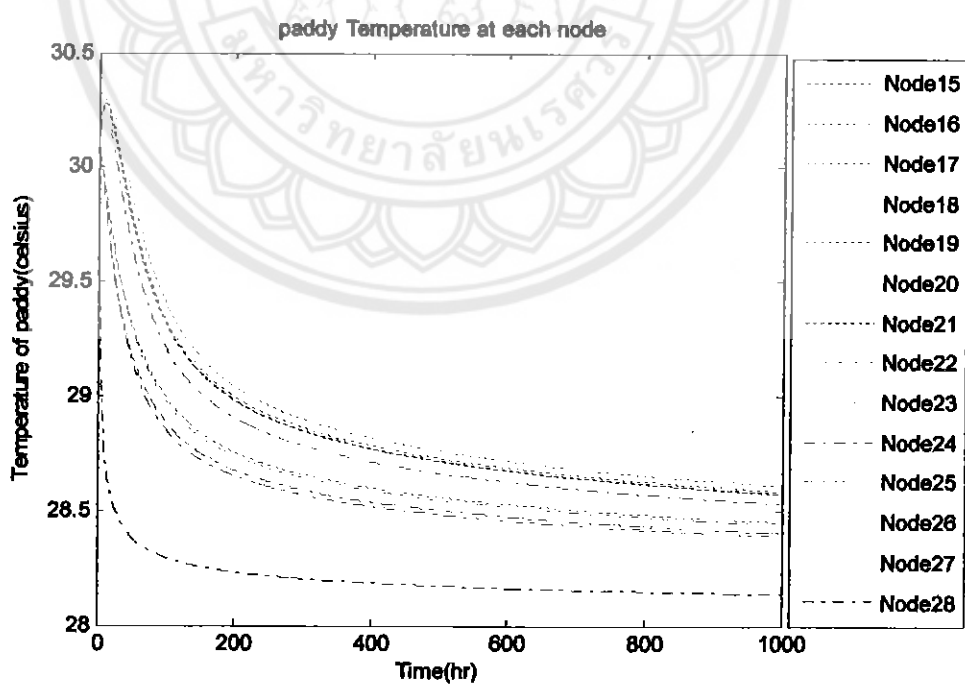


รูปที่ 4.21 แสดงความสัมพันธ์ที่ระบบกริดเท่ากับ  $0.11308 \text{ m}$  ระหว่างเวลา กับ อุณหภูมิของข้าวเปลือกของโนด 15-18 โดยที่ไม่มีการใส่เทอร์โน้ตไฟฟอน

จากรูปที่ 4.20 และ 4.21 จะเห็นว่า อุณหภูมิของข้าวเปลือกที่แต่ละโนดนั้นมีความแตกต่างกัน ซึ่งสามารถเรียงจากโนดที่มีอุณหภูมิสูงสุด ไปสู่ในคที่มีอุณหภูมิต่ำสุด ได้ดังนี้ กือ ในคที่ 1, 2, 8, 3, 9, 14, 4, 10, 15, 19, 5, 11, 16, 20, 6, 12, 23, 17, 21, 22, 24, 7, 13, 18, 26, 25, 27, 28 ตามลำดับ โดยในคที่มีอุณหภูมิสูงที่สุด กือ ในคที่ 1 ซึ่งเป็นตำแหน่งที่อยู่ตรงกึ่งกลางของทุกๆ หน้าตัดของถัง และในคที่มีอุณหภูมน้อยที่สุด กือ ในคที่ 15 ซึ่งเป็นตำแหน่งที่อยู่ตรงมุมของทุกๆ หน้าตัดของถัง ส่วนในคที่ 1 จะมีแนวโน้มของอุณหภูมิคงที่ กือ อุณหภูมิจะต่ำลงเมื่อเข้าใกล้ผนังของถังมากขึ้น ซึ่งเป็นผลมาจากการที่บริเวณผนังของถังจะมีการพากวนร้อนเนื่องจากธรรมชาติเกิดขึ้น จึงทำให้ข้าวเปลือกบริเวณใกล้กับผนังถังมีการสูญเสียความร้อนที่ข้าวเปลือกสร้างขึ้นมาให้กับบรรยากาศ และจะเห็นว่าตัวปราศจากการระบายความร้อนแล้วอุณหภูมิของข้าวเปลือกเมื่อเวลาผ่านไป 1000 ชั่วโมง จะสูงถึง 37-49 องศาเซลเซียส เลยที่เดียว ซึ่งถือว่าข้าวเปลือกที่มีอุณหภูมิสูงถึงขนาดนี้ จะทำให้ข้าวเปลือกเสื่อมคุณภาพลงอย่างรวดเร็ว เพราะการเก็บรักษาข้าวเปลือกให้คงคุณภาพนั้น จะต้องรักษาอุณหภูมิให้คงที่ที่ 28-29 องศาเซลเซียส ดังนั้นจึงต้องมีการระบายความร้อนให้กับข้าวเปลือกเพื่อรักษาคุณภาพของข้าวเปลือก



รูปที่ 4.22 แสดงความสัมพันธ์ที่ระยะกว้างเท่ากับ 0.11308 m ระหว่างเวลา กับ อุณหภูมิของ ข้าวเปลือกของโนด 1-14 โดยที่มีการใส่เทอร์โน่ไฟฟ่อนทุกโนด



รูปที่ 4.23 แสดงความสัมพันธ์ที่ระยะกว้างเท่ากับ 0.11308 m ระหว่างเวลา กับ อุณหภูมิของ ข้าวเปลือกของโนด 15-28 โดยที่มีการใส่เทอร์โน่ไฟฟ่อนทุกโนด

จากรูปที่ 4.22 และ 4.23 จะเห็นว่าอุณหภูมิของข้าวเปลือกเมื่อมีการใส่เทอร์โนไซฟอนที่ทุกๆ โนด ซึ่งจะได้เทอร์โนไซฟอนทั้งหมดเท่ากับ 169 ท่อ อุณหภูมิของแต่ละโนดนั้นจะมีความแตกต่างกัน ซึ่งสามารถเรียงจากโนดที่มีอุณหภูมิสูงสุดไปสู่โนดที่มีอุณหภูมิต่ำสุดได้ดังนี้ คือในคที่ 16, 11, 17, 10, 21, 15, 20, 12, 9, 24, 19, 14, 23, 5, 4, 6, 18, 22, 3, 13, 8, 26, 25, 7, 2, 27, 1, 28 ตามลำดับ โดยความสามารถในการรักษาอุณหภูมิของข้าวเปลือกที่ในคต่างๆ มีดังนี้ คือ ในคที่ 1 และ ในคที่ 28 จะมีอุณหภูมิลดลงทันทีจาก 30 องศาเซลเซียส จนสามารถรักษาอุณหภูมิของข้าวเปลือกให้ต่ำกว่า 29 องศาเซลเซียส ได้ภายในเวลาที่น้อยกว่า 50 ชั่วโมง ในคที่ 19, 14, 23, 5, 4, 6, 18, 22, 3, 13, 8, 26, 25, 7, 2, 27 ใน 50 ชั่วโมงแรก จะมีอุณหภูมิที่สูงขึ้นแต่ไม่เกิน 30.1 องศาเซลเซียส หลังจากนั้นจะมีอุณหภูมิลดต่ำลงเรื่อยๆ และสามารถรักษาอุณหภูมิของข้าวเปลือกให้ต่ำกว่า 29 องศาเซลเซียสได้ภายในเวลา 223 ชั่วโมง ซึ่งข้าวเปลือกที่มีอุณหภูมิสูงกว่า 29 องศาเซลเซียส แต่มีอุณหภูมิไม่เกิน 31 องศาเซลเซียส จะสามารถเก็บได้นานที่สุด 722.4 ชั่วโมง โดยมีเปอร์เซ็นต์ความคงคล่องน้อยกว่า 10% ดังนั้นที่ระยะกริด 0.11308 m และมีการใส่เทอร์โนไซฟอนที่ทุกๆ โนด ซึ่งจะมีเทอร์โนไซฟอนทั้งหมดเท่ากับ 169 ท่อ นั้นสามารถนำมาใช้ระบบความร้อนให้แก่ข้าวเปลือกในระบบนี้ได้เนื่องจากที่ทุกๆ โนดสามารถรักษาอุณหภูมิให้ต่ำกว่า 29 องศาเซลเซียส ภายในเวลา 223 ชั่วโมง ซึ่งน้อยกว่าเวลาของข้าวเปลือกที่มีอุณหภูมิสูงกว่า 29 องศาเซลเซียส และมีอุณหภูมิไม่เกิน 31 องศาเซลเซียส ที่สามารถเก็บได้นานที่สุด 722.4 ชั่วโมง

จากการวิเคราะห์กราฟความสัมพันธ์ระหว่างเวลาคันบัญชีของข้าวเปลือกที่แต่ละกริดข้างต้นสามารถสรุปได้ดังนี้ คือ โดยทั่วไปข้าวเปลือกที่ความชื้น 13.5% และมีอุณหภูมินากกว่า 29 องศาเซลเซียส แต่ไม่เกิน 31 องศาเซลเซียส จะเก็บได้นาน 4.3 สัปดาห์ หรือคิดเป็น 722.4 ชั่วโมง โดยความคงคล่องน้อยกว่า 10% จะเห็นว่าที่ระยะกริดเท่ากับ 0.1696 m และมีการใส่เทอร์โนไซฟอนที่ทุกๆ โนดซึ่งจะได้จำนวนท่อเทอร์โนไซฟอนทั้งหมดเท่ากับ 81 ท่อ นั้นไม่สามารถรักษาอุณหภูมิของข้าวเปลือกให้ต่ำกว่า 29 องศาเซลเซียส ได้ตลอดทั้งหน้าตัดเมื่อเวลาผ่านไป 1000 ชั่วโมง ที่ระยะกริดเท่ากับ 0.1357 m และมีการใส่เทอร์โนไซฟอนที่ทุกๆ โนดซึ่งจะได้จำนวนท่อเทอร์โนไซฟอนทั้งหมดเท่ากับ 121 ท่อ สามารถรักษาอุณหภูมิของข้าวเปลือกให้ต่ำกว่า 29 องศาเซลเซียส ได้ตลอดทั้งหน้าตัดเมื่อเวลาผ่านไป 478 ชั่วโมง ซึ่งอยู่ในเกณฑ์ที่ความคงของข้าวเปลือกลดลงน้อยกว่า 10% ที่ระยะกริดเท่ากับ 0.1357 m และมีการใส่เทอร์โนไซฟอนที่ทุกๆ โนดยกเว้นที่ในคที่ 21 ซึ่งจะได้จำนวนท่อเทอร์โนไซฟอนทั้งหมดเท่ากับ 117 ท่อ ยังไม่สามารถรักษาอุณหภูมิของข้าวเปลือกให้ต่ำกว่า 29 องศาเซลเซียส ได้ตลอดทั้งหน้าตัดเมื่อเวลาผ่านไป 1000 ชั่วโมง ส่วนที่

ระยะกริดเท่ากับ  $0.11308\text{ m}$  และมีการใส่เทอร์โนไซฟ่อน 169 ท่อนนั้น สามารถรักษาอุณหภูมิของข้าวเปลือกให้ต่ำกว่า 29 องศาเซลเซียส ตลอดทั้งหน้าตัดได้มีเวลาผ่านไป 223 ชั่วโมง ซึ่งอยู่ในเกณฑ์ที่ความคงของข้าวเปลือกลดลงน้อยกว่า 10% เช่นกัน แต่ต้องมีการใช้จำนวนเทอร์โนไซฟ่อนมากกว่าที่ระยะกริด  $0.1357\text{ m}$  ซึ่งใช้เพียง 121 ท่อ ซึ่งก็สามารถรักษาอุณหภูมิของข้าวเปลือกให้ต่ำกว่า 29 องศาเซลเซียส ได้ในเวลาที่น้อยกว่า 722.4 ชั่วโมง ซึ่งเป็นเวลาที่ข้าวเปลือกที่ความชื้น 13.5% และมีอุณหภูมิมากกว่า 29 องศาเซลเซียส แต่ไม่เกิน 31 องศาเซลเซียส จะเก็บได้นาน 4.3 สัปดาห์ หรือคิดเป็น 722.4 ชั่วโมง โดยความคงลดลงน้อยกว่า 10% ดังนั้นในการใส่เทอร์โนไซฟ่อนในถังเก็บข้าวเปลือกที่มีความสูงเท่ากับ  $1\text{m}$  และมีหน้าตัดเท่ากับ  $1.357 \times 1.357\text{ m}^2$  ซึ่งบรรจุข้าวเปลือกขนาด 1000 กิโลกรัม จึงสามารถใส่เทอร์โนไซฟ่อนเพื่อรักษาอุณหภูมิของข้าวเปลือกให้ต่ำกว่า 29 องศาเซลเซียส ได้ทั้งหมด 121 ท่อ โดยใส่ทุกๆ โนดที่ระยะกริดเท่ากับ  $0.1357\text{ m}$

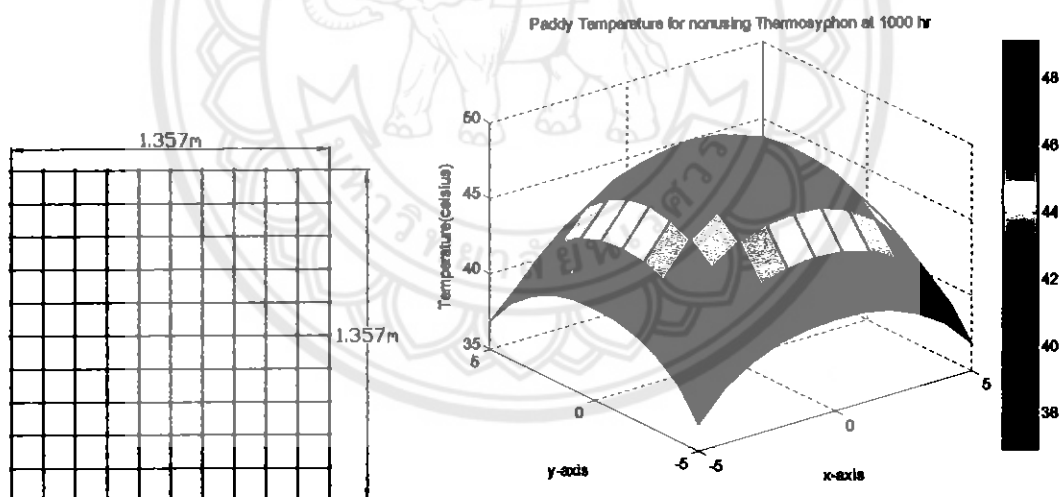


## บทที่ 5 บทสรุป

### 5.1 บทสรุป

จากโปรแกรมแบบจำลองการกระจายอุณหภูมิของข้าวเปลือกในถังทึ้งที่ไม่มีเทอร์โน่ไฟฟ่อนและที่มีเทอร์โน่ไฟฟ่อนจะสามารถทราบลักษณะการกระจายอุณหภูมิของข้าวเปลือกทึ้งที่ไม่มีเทอร์โน่ไฟฟ่อนและมีเทอร์โน่ไฟฟ่อนเพื่อสามารถรับทางความร้อนของการอบแห้งความร้อนในข้าวเปลือกโดยเทอร์โน่ไฟฟ่อนซึ่งสามารถสรุปได้ดังนี้

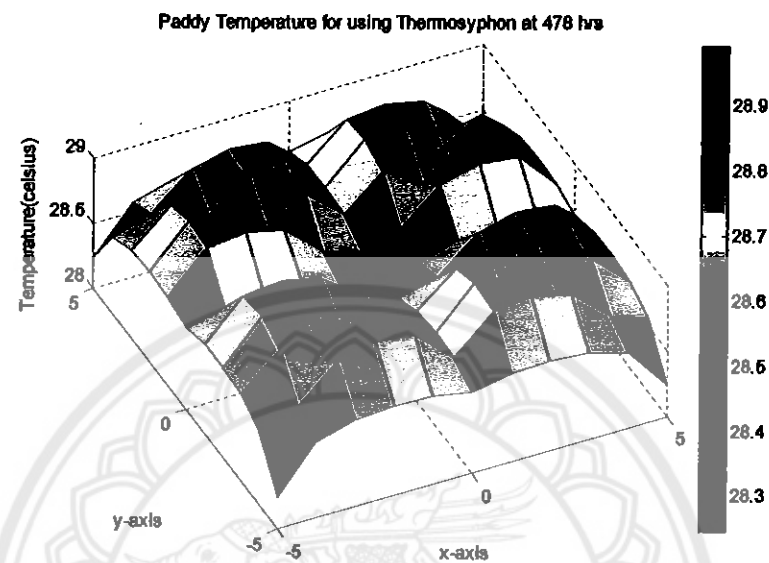
5.1.1 ลักษณะการกระจายอุณหภูมิของข้าวเปลือกนี้คือ ที่บริเวณกึ่งกลางของถังทุกๆ หน้าตัดจะมีอุณหภูมิสูงที่สุด ซึ่งเมื่อเวลาผ่านไป 1000 ชั่วโมง จะมีอุณหภูมิอยู่ที่ประมาณ 49 องศาเซลเซียส ส่วนที่บริเวณอื่นๆ ของถังอุณหภูมิจะต่ำลงเมื่อเข้าใกล้ผนังของถังมากขึ้น และจะมีอุณหภูมน้อยที่สุดที่บริเวณมุมถังของทุกๆ หน้าตัด ซึ่งเมื่อเวลาผ่านไป 1000 ชั่วโมง จะมีอุณหภูมิอยู่ที่ประมาณ 37 องศาเซลเซียส ซึ่งแสดงดังรูปที่ 5.1



รูปที่ 5.1 แสดงพื้นที่หน้าตัดของข้าวเปลือกที่ระยะกริดเท่ากับ 0.1357 m และลักษณะการกระจายอุณหภูมิของข้าวเปลือกในการอบที่ไม่มีเทอร์โน่ไฟฟ่อนที่เวลา 1000 ชั่วโมง

5.1.2 ระบบระบายความร้อนในข้าวเปลือกขนาด 1000 kg ที่บรรจุอยู่ในถังทรงปริมาตรสี่เหลี่ยม สูง 1m และพื้นที่หน้าท่ากับ  $1.357 \times 1.357 \text{ m}$  ที่ใช้ชุดเทอร์โน่ไฟฟ่อนแบบท่อเดี่ยว ที่มีขนาดเส้นผ่านศูนย์กลาง 0.5 m มีขนาดความยาวส่วนทำระเหยเท่ากับ 1 m และมีความยาวส่วนควบแน่นเท่ากับ 2 m ตารางเมตรความร้อนที่มีความเหมาะสมที่สุด จะเกิดขึ้นเมื่อใช้จำนวนท่อ

เทอร์โน่ไม้ฟ่อนเท่ากับ 121 ห่อ โดยแต่ละห่อมีระยะห่างเท่ากับ 0.1357 m ซึ่งจัดเรียงท่อเทอร์โน่ไม้ฟ่อนในทุกๆ โคนคส่องดังรูปที่ 5.2



รูปที่ 5.2 แม็คrogang ของการกระจายอุณหภูมิของข้าวเปลือกในการปลูกที่ไม่มีเทอร์โน่ไม้ฟ่อนทุกโคนที่ระยะกริดเท่ากับ 0.1357 m ที่เวลา 478 ชั่วโมง

## 5.2 ข้อเสนอแนะ

การพัฒนาโปรแกรมการกระจายอุณหภูมิของข้าวเปลือกในถังทึ้งที่ไม่มีเทอร์โน่ไม้ฟ่อน และที่มีเทอร์โน่ไม้ฟอนระนาบความร้อน กะษัต្រจัดทำมีข้อเสนอแนะดังนี้

5.2.1 เมื่องจากโครงงานนี้เป็นการหาสมการทางคณิตศาสตร์ที่มีความซับซ้อนจึงอาจจะมีการนำเอาโปรแกรมอื่นนอกจาก MATLAB มาช่วยในการสร้างแบบจำลอง เช่น โปรแกรมวิเคราะห์ไฟในตัวเลิมเนต

5.2.2 เมื่องจากลักษณะของโปรแกรมที่เขียนมีความซับซ้อน ดังนั้นผู้ดำเนินโครงการจะต้องมีความเข้าใจในตัวโปรแกรมอย่างแท้จริง เพื่อที่จะไม่เกิดปัญหาจากการคำนวณที่ผิดพลาด แกะจะได้ผลที่ตรงตามวัตถุประสงค์

## บรรณานุกรม

- [1] ทวิช ฤษพิท, ศิริ แสงชนะ, สารง พิษนกอก, (2549), การวิเคราะห์สมรรถนะและผลเชิงเศรษฐศาสตร์ของกระบวนการรักษาความร้อนโดยเทอร์โน่ไฟฟอน, ภาควิชาวิศวกรรมเครื่องกล, คณะวิศวกรรมศาสตร์ มหาวิทยาลัยแม่ฟ้า
- [2] Nathawuth Dussadee, Tanongkiat Kiatsiriroat, (2003), Performance analysis and economic evaluation of thermosyphon paddy bulk storage
- [3] Mohammad Izadifar, Oon-Doo Baik, Carey J.Simonson, (2006), Modeling of the packed bed drying of paddy rice using the local volume averaging (LVA) approach
- [4] Heat Pipe – Performance of two-phase Closed Thermosyphon, ESDU, 81038
- [5] Frank P.Incropera, David P.Dewitt, Fundamentals Of Heat and mass Transfer, (FIFTH EDITION)
- [6] มนตรี พิรุณเกณฑ์, การถ่ายเทความร้อน, ฉบับเครื่อมส่วนและเสริมประสบการณ์, วิทยาลัยนานาชาติกรุงเทพ:2545
- [7] [http://202.44.14/mte\\_learning/thermal%20Engineering/information1\\_7.html](http://202.44.14/mte_learning/thermal%20Engineering/information1_7.html)
- [8] [http://www.ricethailand.go.th/rkb/data\\_007/rice\\_xx2-07\\_gatherNew\\_004.html](http://www.ricethailand.go.th/rkb/data_007/rice_xx2-07_gatherNew_004.html)
- [9] <http://www.doa.go.th/AedWeb/Dryer.html>
- [10] กรมอุตุนิยมวิทยา





## ลำดับสัญลักษณ์ในโปรแกรม

สัญลักษณ์	ความหมาย	หน่วย
Do	เส้นผ่านศูนย์กลางภายในของท่อเทอร์โน้ไซฟอน	m
Di	เส้นผ่านศูนย์กลางภายในของท่อเทอร์โน้ไซฟอน	m
M	มวลข้าวเปลือก	kg
Mw	ปริมาณความชื้นในข้าวเปลือก	-
Le	ความยาวส่วนทำระเหยของท่อเทอร์โน้ไซฟอน	m
Lc	ความยาวส่วนแน่นของท่อเทอร์โน้ไซฟอน	m
Kcopper	สัมประสิทธิ์การนำความร้อนของทองแดง	W/m.K
Tbold	อุณหภูมิเริ่มต้นของข้าวเปลือก	องศาเซลเซียส
g	ความเร่งเนื่องจากแรงโน้มถ่วงของโลก	$m^2/s$
Tair	อุณหภูมิอากาศ	องศาเซลเซียส
F	อัตราการเติมสารทำงาน	-
RH	ปริมาณความชื้นสัมพัทธ์ในอากาศ	-
L	ความสูงของตั้งข้าวเปลือก	m
K	สัมประสิทธิ์การนำความร้อนของข้าวเปลือก	W/m.K
DeltaY	ระยะกริดในแนวแกนY	m
DeltaX	ระยะกริดในแนวแกนX	m
Nodes	จำนวนโหนดที่วิเคราะห์	Node
Told	อุณหภูมิของข้าวเปลือกในช่วงโน้มที่ผ่านมา	องศาเซลเซียส
Ts	ตำแหน่งของเทอร์โน้ไซฟอน	-
Term	ฟังก์ชันของเวลา	-
DML	ความเสียหายเนื่องจากความร้อนของข้าวเปลือก	-
Xn	ฟังก์ชันในการหาคุณสมบัติของข้าวเปลือก	-
D	ความหนาแน่นของข้าวเปลือก	$kg/m^3$
Cp	ความถูกความร้อนของข้าวเปลือก	J/kg.K
Fo	ฟูเรียร์แนบခור์	-
Tave	อุณหภูมิเฉลี่ยระหว่างข้าวเปลือกกับอากาศ	องศาเซลเซียส
B	ฟังก์ชันของอุณหภูมิเฉลี่ย	I/K

### สัญลักษณ์ในโปรแกรม(ต่อ)

สัญลักษณ์	ความหมาย	หน่วย
v	สัมประสิทธิ์ความหนืดเชิงจลน์ของอากาศที่ผนังของถัง	m <sup>2</sup> /s
Kair	สัมประสิทธิ์การนำความร้อนของอากาศที่ผนังของถัง	W/m.K
Pr	ความคันวิกฤตของอากาศที่ผนังของถัง	-
Gr	การซ่อนฝันแบบอร์ที่ผนังของถัง	-
FuncPr	ฟังก์ชันของแพทเดลนัมเบอร์	-
Ra	เรย์โนล์ด์นัมเบอร์ที่ผนังของถัง	-
Nu	น้ำเสียงที่นั่มนัมเบอร์ที่ผนังของถัง	-
h	สัมประสิทธิ์การพาความร้อนของอากาศที่ผนังของถัง	W/m <sup>2</sup> .K
Vol1	ปริมาตรของกริตแบบที่1	m <sup>3</sup>
Vol2	ปริมาตรของกริตแบบที่2	m <sup>3</sup>
Vol3	ปริมาตรของกริตแบบที่3	m <sup>3</sup>
Vol4	ปริมาตรของกริตแบบที่4	m <sup>3</sup>
DeltaT	ความแตกต่างของอุณหภูมิในข้าวเปลือก	องศาเซลเซียส
Qpaddy	ความร้อนของข้าวเปลือก	kW
Tb	อุณหภูมิของข้าวเปลือกในเวลาปั๊บๆบัน	องศาเซลเซียส
Tco	อุณหภูมิเฉลี่ยระหว่างข้าวเปลือกกับอากาศ	องศาเซลเซียส
TaveTs	อุณหภูมิคงส่วนควบแน่น	องศาเซลเซียส
BTs	ฟังก์ชันของอุณหภูมิ	1/K
vTs	สัมประสิทธิ์ความหนืดเชิงจลน์ของอากาศที่ท่อเทอร์โมไฟฟอน	m <sup>2</sup> /s
kTs	สัมประสิทธิ์การนำความร้อนของอากาศที่ท่อเทอร์โมไฟฟอน	W/m.K
PrTs	ความคันวิกฤตของอากาศที่ท่อเทอร์โมไฟฟอน	-
GrTs	การซ่อนฝันแบบอร์ที่ท่อเทอร์โมไฟฟอน	-
RaTs	เรย์โนล์ด์นัมเบอร์ที่ท่อเทอร์โมไฟฟอน	-
NupTs	น้ำเสียงที่นั่มนัมเบอร์ที่ท่อเทอร์โมไฟฟอน	-
Si	ฟังก์ชันในการหาน้ำเสียงที่นั่มนัมเบอร์ที่ท่อเทอร์โมไฟฟอน	-
NucTs	น้ำเสียงที่นั่มนัมเบอร์ที่ท่อเทอร์โมไฟฟอน	-
hmTs	สัมประสิทธิ์การพาความร้อนของอากาศที่ท่อเทอร์โมไฟฟอน	W/m <sup>2</sup> .K

### ลำดับสัญลักษณ์ในโปรแกรม(ต่อ)

สัญลักษณ์	ความหมาย	หน่วย
Qloss	ความร้อนเนื้องจากส่วนความแพร่	kW
Z2	ความด้านทานความร้อนของผนังท่อเทอร์โมไฟฟอนในส่วนทำระเหย	K/W
Z8	ความด้านทานความร้อนของผนังท่อเทอร์โมไฟฟอนในส่วนความแพร่	K/W
Sco	พื้นที่ผิวของท่อเทอร์โมไฟฟอนในส่วนความแพร่	m <sup>2</sup>
Z9	ความด้านทานความร้อนที่ผิวของส่วนความแพร่	K/W
Z	ความด้านทานความร้อนรวม	K/W
Tv	อุณหภูมิไอ	องศาเซลเซียส
vg	ปริมาตรจำเพาะของสารทำงานในสถานะก๊าซ	kg/m <sup>3</sup>
Pv	ค่าความดันของสารทำงาน	Pa
denf	ความหนาแน่นของสารทำงานในสถานะของเหลว	kg/m <sup>3</sup>
Vi	สัมประสิทธิ์ความหนืดเชิงกลน์ของสารทำงาน	m <sup>2</sup> /s
hfg	ความร้อนแฝงของสารทำงาน	J/kg
kf	สัมประสิทธิ์การนำความร้อนของสารทำงาน	W/m.K
Cpf	ความจุความร้อนของสารทำงาน	kJ/kg.K
deng	ความหนาแน่นของสารทำงานในสถานะก๊าซ	kg/m <sup>3</sup>
Pp	ความดันที่เปลี่ยนคีอัด	Pa
Tp	อุณหภูมิที่เปลี่ยนคีอัด	องศาเซลเซียส
Q1	ความร้อนที่เทอร์โมไฟฟอน	kW
Z7	ความด้านทานความร้อนภายในของไอลที่กำลังความแพร่	K/W
Pa	ความดันบรรยายกาศ	Pa
Z3	ความด้านทานความร้อนภายในของไอลที่กำลังคีอัด	K/W
Ax	พื้นที่หน้าตัดของส่วนที่เป็นเนื้อทองแดง	m <sup>2</sup>
Z10	ความด้านทานความร้อนในแนวแกนความผนังท่อ	K/W
Zt	ความด้านทานความร้อนรวม	K/W
QTs	ความร้อนที่เทอร์โมไฟฟอนระบบออกไถ	kW

```

clear
Do = 0.021;
Di = 0.0155;
m = 1000;
Mw = 0.135;
Le = 1;
Lc = 2;
kcopper = 401;
Tbold = 30;
g = 9.81;
Tair = 27.9;
F = 0.5;
RH = 0.73;
L = 1;
k = (0.0637+(0.0958*Mw))/(0.656-(0.475*Mw));
Deltat = 3600;
DeltaY = 0.1357;
DeltaX = 0.1357;
disp('input Number of Nodes');
Nodes = input('Nodes= ');
%Nodes = 21;
i=1:1:Nodes;
Told(i)=Tbold;
%Ts(i) = [1 1 1 1 1 1 1 1 1 1 1 1 1 1 1 1];
%Ts(i) = [0 0 0 0 0 0 0 0 0 0 0 0 0 0 0 0];
%disp(Told);
disp('input 0 for using Ts and input 1 for nonusing Ts');
Ts =input('Ts= ');
%disp(Ts);
for t=1:1:1000
for i=1:1:Nodes;
if Ts(i)==0
term = 0.000914*((t/1000)^(0.654))*exp(0.03756*((1.8*30)-28))*exp(33.61*(Mw-0.14));
DML = 1-exp(-term);
T = [ 25      26      27      28      29      30      31      32      33      34      35      36
      37      38      39      40      41      42      43      44      45      46      47      48      49

```

```

50   51   52   53   54   55   56   57   58   59   60   61   62
63   64   65   66   67   68   69   70   ];

X=[ 0.422215213 0.411979803 0.401964105 0.392168116 0.382591839 0.373235272 0.364098415
0.355181269 0.346483834 0.338006109 0.329748095 0.321709791 0.313891198 0.306292315 0.298913143
0.291753681 0.284813930 0.278093890 0.271593560 0.265312941 0.259252032 0.253410834 0.247789347
0.242387569 0.237205503 0.232243147 0.227500502 0.222977567 0.218674343 0.214590829 0.210727026
0.207082933 0.203658551 0.200453880 0.197468919 0.194703669 0.192158129 0.189832300 0.187726181
0.185839773 0.184173075 0.182726088 0.181498812 0.180491246 0.179703391 0.179135246 ];

Xn(i)=interp1(T,X,Told(i));
D(i)=1.029*(1456+(705*Xn(i)));
Cp(i)=(1180+(3766*Xn(i)));
Fo(i)=(k*Delta)/(D(i)*Cp(i)*(DeltaX)^2);
Tave(i)=(Told(i)+Tair)/2;
Temp=[ -173 -123 -73 -23 27 77 127 177 227 277 327 377 427 477 527 577 627 677
727 827 927 1027 1127 1227 1327 1427 1527 1627 1727 1827 1927 2027 2127 2227 2727 ];
vis=[ 2.00 4.426 7.59 11.44 15.89 20.92 26.41 32.39 38.79 45.57 52.69 60.21 68.10 76.37 84.93 93.80
102.9 112.2 121.9 141.8 162.9 185.1 213 240 268 298 329 362 396 431 468 506 547 589 841 ];
ka=[ 9.34 13.8 18.1 22.3 26.3 30.0 33.8 37.3 40.7 43.9 46.9 49.7 52.4 54.9 57.3 59.6 62.0 64.3
66.7 71.5 76.3 82 91 100 106 113 120 128 137 147 160 175 196 222 486 ];
Pra=[ 0.786 0.758 0.737 0.720 0.707 0.700 0.690 0.686 0.684 0.683 0.685 0.690 0.695 0.702 0.709 0.716
0.720 0.723 0.726 0.728 0.728 0.719 0.703 0.685 0.688 0.685 0.683 0.677 0.672 0.667 0.655 0.647 0.630 0.613
0.536 ];
B(i)=1/(Tave(i)+273.15);
v(i)=interp1(Temp,vis,Tave(i));
kair(i)=interp1(Temp,ka,Tave(i));
Pr(i)=interp1(Temp,Pra,Tave(i));
Gr(i)=(g*B(i)*(Told(i)-Tair)*L^3)/(v(i)^-6)^2;
FuncPr(i)=(1+(0.492/(Pr(i)^(9/16))))^(-16/9);
Ra(i)=Gr(i)*Pr(i);
if Ra(i)<10^9
Nu(i)=0.68+(0.67*(Ra(i)*FuncPr(i))^(1/4));
else
Nu(i)=0.15*(Ra(i)*FuncPr(i))^(1/3);
end
h(i)=(Nu(i)*kair(i)^-3)/L;
Bi(i)=(h(i)*DeltaY)/(k);

```

```

Vol1 = (1/2)*(0.1357/2)*(0.1357/2);
Vol2 = (0.1357)*(0.1357/2);
Vol3 = (0.1357/2)*(0.1357/2);
Vol4 = (0.1357)*(0.1357);

DeltaT(i) = (15778*DML*1000)/Cp(i);

if i==1
    Qpaddy(i) = (D(i)*Vol1*Cp(i)*DeltaT(i))/(t*3600);
    Tb(i) = (4*Fo(i)*((Told(i+1)-Told(i))+(2*Qpaddy(i)/k)))+Told(i);
end

if i>1&i<6
    Qpaddy(i) = (D(i)*Vol2*Cp(i)*DeltaT(i))/(t*3600);
    Tb(i) = (Fo(i)*(Told(i-1)+Told(i+1)+(2*Told(i+5)-(4*Told(i))+(2*Qpaddy(i)/k)))+Told(i));
end

if i==6
    Qpaddy(i) = (D(i)*Vol3*Cp(i)*DeltaT(i))/(t*3600);
    Tb(i) = (2*Fo(i)*(Told(i-1)+Told(i+5)-(2*Told(i))+(Bi(i)*(Tair-Told(i)))+(2*Qpaddy(i)/k)))+Told(i);
end

if i==7
    Qpaddy(i) = (D(i)*Vol2*Cp(i)*DeltaT(i))/(t*3600);
    Tb(i) = (2*Fo(i)*(Told(i+1)+Told(i-5)-(2*Told(i))+(Qpaddy(i)/k)))+Told(i);
end

if i>7&i<11
    Qpaddy(i) = (D(i)*Vol4*Cp(i)*DeltaT(i))/(t*3600);
    Tb(i) = (Fo(i)*(Told(i-1)+Told(i+1)+Told(i-5)+Told(i+4)-(4*Told(i))+(Qpaddy(i)/k)))+Told(i);
end

if i==11
    Qpaddy(i) = (D(i)*Vol2*Cp(i)*DeltaT(i))/(t*3600);
    Tb(i) = (Fo(i)*((2*Told(i-1))+Told(i-5)+Told(i+4)-(4*Told(i))+(2*Bi(i)*(Tair-
    Told(i)))+(2*Qpaddy(i)/k)))+Told(i);
end

if i==12
    Qpaddy(i) = (D(i)*Vol2*Cp(i)*DeltaT(i))/(t*3600);
    Tb(i) = (2*Fo(i)*(Told(i+1)+Told(i-4)-(2*Told(i))+(Qpaddy(i)/k)))+Told(i);
end

if i>12&i<15
    Qpaddy(i) = (D(i)*Vol4*Cp(i)*DeltaT(i))/(t*3600);

```

```

Tb(i) = (Fo(i)*(Told(i-1)+Told(i+1)+Told(i-4)+Told(i+3)-(4*Told(i))+(Qpaddy(i)/k)))+Told(i);
end

if i==15
    Qpaddy(i) = (D(i)*Vol2*Cp(i)*DeltaT(i))/(t*3600);
    Tb(i) = (Fo(i)*((2*Told(i-1))+Told(i-4)+Told(i+3)-(4*Told(i))+(2*Bi(i)*(Tair-
Told(i)))+((2*Qpaddy(i))/k)))+Told(i);
end

if i==16
    Qpaddy(i) = (D(i)*Vol2*Cp(i)*DeltaT(i))/(t*3600);
    Tb(i) = (2*Fo(i)*(Told(i+1)+Told(i-3)-(2*Told(i))+(Qpaddy(i)/k)))+Told(i);
end

if i==17
    Qpaddy(i) = (D(i)*Vol4*Cp(i)*DeltaT(i))/(t*3600);
    Tb(i) = (Fo(i)*(Told(i-1)+Told(i+1)+Told(i-3)+Told(i+2)-(4*Told(i))+(Qpaddy(i)/k)))+Told(i);
end

if i==18
    Qpaddy(i) = (D(i)*Vol2*Cp(i)*DeltaT(i))/(t*3600);
    Tb(i) = (Fo(i)*((2*Told(i-1))+Told(i-3)+Told(i+2)-(4*Told(i))+(2*Bi(i)*(Tair-
Told(i)))+((2*Qpaddy(i))/k)))+Told(i);
end

if i==19
    Qpaddy(i) = (D(i)*Vol2*Cp(i)*DeltaT(i))/(t*3600);
    Tb(i) = (2*Fo(i)*(Told(i+1)+Told(i-2)-(2*Told(i))+(Qpaddy(i)/k)))+Told(i);
end

if i==20
    Qpaddy(i) = (D(i)*Vol2*Cp(i)*DeltaT(i))/(t*3600);
    Tb(i) = (Fo(i)*((2*Told(i-1))+Told(i-2)+Told(i+1)-(4*Told(i))+(2*Bi(i)*(Tair-
Told(i)))+((2*Qpaddy(i))/k)))+Told(i);
end

if i==21
    Qpaddy(i) = (D(i)*Vol1*Cp(i)*DeltaT(i))/(t*3600);
    Tb(i) = (4*Fo(i)*(Told(i-1)-Told(i)+(Bi(i)*(Tair-Told(i)))+((2*Qpaddy(i))/k)))+Told(i);
end

else
    term = 0.000914*((t/1000)^(0.654))*exp(0.03756*((1.8*30)-28))*exp(33.61*(Mw-0.14));

```

```

DML = 1-exp(-term);

T=[ 25    26    27    28    29    30    31    32    33    34    35    36
37    38    39    40    41    42    43    44    45    46    47    48    49
50    51    52    53    54    55    56    57    58    59    60    61    62
63    64    65    66    67    68    69    70 ];

X=[ 0.422215213 0.411979803 0.401964105 0.392168116 0.382591839 0.373235272 0.364098415
0.355181269 0.346483834 0.338006109 0.329748095 0.321709791 0.313891198 0.306292315 0.298913143
0.291753681 0.284813930 0.278093890 0.271593560 0.265312941 0.259252032 0.253410834 0.247789347
0.242387569 0.237205503 0.232243147 0.227500502 0.222977567 0.218674343 0.214590829 0.210727026
0.207082933 0.203658551 0.200453880 0.197468919 0.194703669 0.192158129 0.189832300 0.187726181
0.185839773 0.184173075 0.182726088 0.181498812 0.180491246 0.179703391 0.179135246 ];

Xn(i)=interp1(T, X, Told(i));
D(i)=1.029*(1456+(705*Xn(i)));
Cp(i)=(1180+(3766*Xn(i)));
Fo(i)=(k*DeltaL)/(D(i)*Cp(i)*(DeltaX)^2);
Tave(i)=(Told(i)+Tair)/2;
Temp=[ -173 -123 -73 -23 27 77 127 177 227 277 327 377 427 477 527 577 627 677
727 827 927 1027 1127 1227 1327 1427 1527 1627 1727 1827 1927 2027 2127 2227 2727 ];
vis=[ 2.00 4.426 7.59 11.44 15.89 20.92 26.41 32.39 38.79 45.57 52.69 60.21 68.10 76.37 84.93 93.80
102.9 112.2 121.9 141.8 162.9 185.1 213 240 268 298 329 362 396 431 468 506 547 589 841 ];
ka=[ 9.34 13.8 18.1 22.3 26.3 30.0 33.8 37.3 40.7 43.9 46.9 49.7 52.4 54.9 57.3 59.6 62.0 64.3
66.7 71.5 76.3 82 91 100 106 113 120 128 137 147 160 175 196 222 486 ];
Pra=[ 0.786 0.758 0.737 0.720 0.707 0.700 0.690 0.686 0.684 0.683 0.685 0.690 0.695 0.702 0.709 0.716
0.720 0.723 0.726 0.728 0.728 0.719 0.703 0.685 0.688 0.685 0.683 0.677 0.672 0.667 0.655 0.647 0.630 0.613
0.536 ];

B(i)=1/(Tave(i)+273.15);
v(i)=interp1(Temp, vis, Tave(i));
kair(i)=interp1(Temp, ka, Tave(i));
Pr(i)=interp1(Temp, Pra, Tave(i));
Gr(i)=(g*B(i)*(Told(i)-Tair)*L^3)/(v(i)^-6)^2;
FuncPr(i)=(1+(0.492/(Pr(i)^(9/16))))^-(-16/9);
Ra(i)=Gr(i)*Pr(i);
if Ra(i)<10^9
  Nu(i)=0.68+(0.67*(Ra(i)*FuncPr(i))^(1/4));
else
  Nu(i)=0.15*(Ra(i)*FuncPr(i))^(1/3);

```

```

end

h(i) = (Nu(i)*kair(i)^-3)/L;
Bi(i) = (h(i)*DeltaY)/(k);
Vol1 = (1/2)*(0.1357/2)*(0.1357/2);
Vol2 = (0.1357)*(0.1357/2);
Vol3 = (0.1357/2)*(0.1357/2);
Vol4 = (0.1357)*(0.1357);
DeltaT(i) = (15778*DML*1000)/Cp(i);

Tco(i) = (Told(i)+Tair)/2;
TaveTs(i) = (Tco(i)+Tair)/2;
Temp = [ -173 -123 -73 -23 27 77 127 177 227 277 327 377 427 477 527 577 627 677
727 827 927 1027 1127 1227 1327 1427 1527 1627 1727 1827 1927 2027 2127 2227 2727 ];
vis = [ 2.00 4.426 7.59 11.44 15.89 20.92 26.41 32.39 38.79 45.57 52.69 60.21 68.10 76.37 84.93 93.80
102.9 112.2 121.9 141.8 162.9 185.1 213 240 268 298 329 362 396 431 468 506 547 589 841 ];
ka = [ 9.34 13.8 18.1 22.3 26.3 30.0 33.8 37.3 40.7 43.9 46.9 49.7 52.4 54.9 57.3 59.6 62.0 64.3
66.7 71.5 76.3 82 91 100 106 113 120 128 137 147 160 175 196 222 486 ];
Pra = [ 0.786 0.758 0.737 0.720 0.707 0.700 0.690 0.686 0.684 0.683 0.685 0.690 0.695 0.702 0.709 0.716
0.720 0.723 0.726 0.728 0.728 0.719 0.703 0.685 0.688 0.685 0.683 0.677 0.672 0.667 0.655 0.647 0.630 0.613
0.536 ];
BTs(i) = 1/(TaveTs(i)+273);
vTs(i) = interp1(Temp, vis, TaveTs(i))*10^-6;
kTs(i) = interp1(Temp, ka, TaveTs(i))*10^-3;
PrTs(i) = interp1(Temp, Pra, TaveTs(i));
Gr1Ts(i) = (g*BTs(i)*(Tco(i)-Tair)*Lc^3)/(vTs(i)^2);
RaTs(i) = Gr1Ts(i)*PrTs(i);
NupTs(i) = (0.825+((0.387*RaTs(i)^(1/6))/((1+((0.492/0.7)^(9/16)))^(8/27))))^2;
si(i) = (Lc/Do)/((RaTs(i))^(1/4));
if si(i)>=0.024
    NucTs(i) = NupTs(i)*(1+(1.3*si(i)^0.9));
else
    NucTs(i) = (NupTs(i)*(1+(1.3*si(i)^0.9)))*0.94;
end
hmTs(i) = (NucTs(i)*kTs(i))/Lc;
Qloss(i) = pi*Do*Lc*hmTs(i)*(Tco(i)-Tair);
Z2 = (log(Do/Di))/(2*pi*Le*kopper);

```

```

Z8 = (log(Do/Di))/(2*pi*Lc*kcopper);
Sco = pi*Do*Lc;
Z9(i) = 1/(hmTs(i)*Sco);
Z(i) = Z2+Z8+Z9(i);
Tv(i) = Tair+(((Z8+Z9(i))*(Told(i)-Tair))/Z(i));
Tem = [ 20 22 24 26 28 30 32 34 36 38 40 42 44 46 48 50
52 54 56 58 60 62 64 66 68 70 72 74 76 78 ];
volg = [ 0.03603 0.03388 0.03189 0.03003 0.02829 0.02667 0.02516 0.02374 0.02241 0.02116 0.01999
0.0189 0.01786 0.01689 0.01598 0.01511 0.0143 0.01353 0.0128 0.01212 0.01146 0.01085 0.01026 0.0097
0.00917 0.00867 0.00818 0.00772 0.00728 0.00686 ];
Pv1 = [ 0.57159 0.60777 0.64566 0.68531 0.72676 0.77008 0.8153 0.8625 0.91172 0.9631 1.0165 1.0721
1.1300 1.1901 1.2527 1.3177 1.3852 1.4553 1.528 1.6033 1.6815 1.7625 1.8464 1.9334 2.0234 2.1165
2.213 2.3195 2.4159 2.5227 ];
denfl = [ 1224.9 1217.5 1210.1 1202.6 1194.9 1187.2 1179.3 1171.3 1163.2 1154.9 1146.5 1137.9
1129.2 1120.3 1111.3 1102 1092.6 1082.9 1073 1062.8 1052.4 1041.7 1030.7 1019.4 1007.7 995.6
983.1 970 956.5 942.3 ];
Visc = [ 225.8 220.8 215.4 210.4 205.5 200.7 196 191.4 186.9 182.5 178.2 174 169.8 165.7
161.7 157.7 153.8 149.9 146.1 142.3 138.6 134.9 131.2 127.5 123.9 120.3 116.7 113.1 109.4
105.8 ];
hfg1 = [ 182.44 180.68 178.88 177.05 175.18 173.29 171.35 169.38 167.37 165.32 163.23 161.09
158.9 156.67 154.39 152.04 149.64 147.17 144.64 142.04 139.37 136.6 133.76 130.81 127.77 124.6
121.31 118.196 114.31 110.55 ];
kf1 = [ 84.2 83.3 82.4 81.4 80.5 79.6 78.7 77.7 76.8 75.9 75.5 74.1 73.1 72.2 71.3
70.4 69.5 68.5 67.6 66.7 65.82 64.9 63.9 63 62.1 61.2 60.3 59.3 58.4 57.5 ];
Cpf1 = [ 1.404 1.412 1.42 1.429 1.438 1.447 1.457 1.467 1.478 1.489 1.5 1.513 1.525 1.539
1.553 1.569 1.585 1.602 1.621 1.641 1.663 1.686 1.712 1.74 1.772 1.806 1.846 1.89 1.941
2.00 ];
vg(i) = interp1(Tem, volg, Tv(i));
Pv(i) = interp1(Tem, Pv1, Tv(i))*10^6;
denf(i) = interp1(Tem, denfl, Tv(i));
Vi(i) = interp1(Tem, Visc, Tv(i))*10^-6;
hfg(i) = interp1(Tem, hfg1, Tv(i))*10^3;
kf(i) = interp1(Tem, kf1, Tv(i))*10^-3;
Cpf(i) = interp1(Tem, Cpf1, Tv(i))*10^3;
deng(i) = 1/vg(i);
Pp(i) = Pv(i)+(denf(i)*g*F*Le*sin(pi/2));

```

```

Tp(i) = interp1(Pv1, Tem, Pp(i)*10^-6);
DelTh(i) = ((Tp(i)-Tv(i))/2)*F;
DelT(i) = Told(i)-Tair-DelTh(i);
Q1(i) = DelT(i)/Z(i);
c = 0.235;
Fee2(i) = ((hfg(i)*(kfl(i)^3)*denf(i)^2)/(Vi(i)))^(1/4);
Z3f(i) = (c*Q1(i)^(1/3))/(Di^(4/3)*g^(1/3)*Le*Fee2(i)^(4/3));
Ref(i) = (4*Q1(i))/(hfg(i)*Vi(i)*pi*Di);
if Ref(i) <= 1300
    Z7(i) = (Q1(i)^(1/3)*c)/(Di^(4/3)*g^(1/3)*Lc*Fee2(i)^(4/3));
else
    Z7(i) = ((Q1(i)^(1/3)*c)/(Di^(4/3)*g^(1/3)*Lc*Fee2(i)^(4/3)))*191*(Ref(i)^-0.733);
end
Pa = 1.013*(10^5);
Fee3(i) = ((denf(i)^0.65)*(kfl(i)^0.3)*(Cpf(i)^0.7)*(Pv(i)^0.23)*0.32)/((deng(i)^0.25)*(hfg(i)^0.4)*(Vi(i)^0.1)
*(Pa^0.23));
Z3p(i) = 1/((Fee3(i)*(g^0.2))*(Q1(i)^0.4)*((pi*Di*Le)^0.6));
if Z3p(i)<Z3f(i)
    Z3(i) = Z3p(i);
else
    Z3(i) = (Z3p(i)*F) + (Z3f(i)*(1-F));
end
Ax = pi*((Do^2)-(Di^2))/4;
Z10(i) = ((0.5*Le)+(0.5*Lc))/(Ax*kcopper);
if (Z10(i)/(Z2+Z3(i)+Z7(i)+Z8))>20
    Zt(i) = Z2+Z3(i)+Z7(i)+Z8+Z9(i);
else
    Zt(i) = ((Z10(i)*(Z2+Z3(i)+Z7(i)+Z8))/(Z10(i)+Z2+Z3(i)+Z7(i)+Z8))+Z9(i);
end
QTs(i) = DelT(i)/Zt(i);

while abs(QTs(i)-Qloss(i))>0.01
    TaveTs(i) = (Tco(i)+Tair)/2;
Temp = [ -173 -123 -73 -23 27 77 127 177 227 277 327 377 427 477 527 577 627 677
727 827 927 1027 1127 1227 1327 1427 1527 1627 1727 1827 1927 2027 2127 2227 2727 ];

```

```

vis = [ 2.00 4.426 7.59 11.44 15.89 20.92 26.41 32.39 38.79 45.57 52.69 60.21 68.10 76.37 84.93 93.80
102.9 112.2 121.9 141.8 162.9 185.1 213 240 268 298 329 362 396 431 468 506 547 589 841 ];
ka = [ 9.34 13.8 18.1 22.3 26.3 30.0 33.8 37.3 40.7 43.9 46.9 49.7 52.4 54.9 57.3 59.6 62.0 64.3
66.7 71.5 76.3 82 91 100 106 113 120 128 137 147 160 175 196 222 486 ];
Pra = [ 0.786 0.758 0.737 0.720 0.707 0.700 0.690 0.686 0.684 0.683 0.685 0.690 0.695 0.702 0.709 0.716
0.720 0.723 0.726 0.728 0.728 0.719 0.703 0.685 0.688 0.685 0.683 0.677 0.672 0.667 0.655 0.647 0.630 0.613
0.536 ];
BTs(i) = 1/(TaveTs(i)+273);
vTs(i) = interp1(Temp, vis, TaveTs(i))*10^-6;
kTs(i) = interp1(Temp, ka, TaveTs(i))*10^-3;
PrTs(i) = interp1(Temp, Pra, TaveTs(i));
Gr1Ts(i) = (g*BTs(i)*(Tco(i)-Tair)*Lc^3)/(vTs(i)^2);
RaTs(i) = Gr1Ts(i)*PrTs(i);
NupTs(i) = (0.825+((0.387*RaTs(i)^(1/6))/((1+((0.492/0.7)^(9/16)))^(8/27))))^2;
si(i) = (Lc/Do)/((RaTs(i))^(1/4));
if si(i)>=0.024
    NucTs(i) = NupTs(i)*(1+(1.3*si(i)^0.9));
else
    NucTs(i) = (NupTs(i)*(1+(1.3*si(i)^0.9)))*0.94;
end
hmTs(i) = (NucTs(i)*kTs(i))/Lc;
Qloss(i) = pi*Do*Lc*hmTs(i)*(Tco(i)-Tair);
Z2 = (log(Do/Di))/(2*pi*Le*kopper);
Z8 = (log(Do/Di))/(2*pi*Lc*kopper);
Sco = pi*Do*Lc;
Z9(i) = 1/(hmTs(i)*Sco);
Z(i) = Z2+Z8+Z9(i);
Tv(i) = Tair+(((Z8+Z9(i))*(Told(i)-Tair))/Z(i));
Tem = [ 20 22 24 26 28 30 32 34 36 38 40 42 44 46 48 50
52 54 56 58 60 62 64 66 68 70 72 74 76 78 ];
volg = [ 0.03603 0.03388 0.03189 0.03003 0.02829 0.02667 0.02516 0.02374 0.02241 0.02116 0.01999
0.0189 0.01786 0.01689 0.01598 0.01511 0.0143 0.01353 0.0128 0.01212 0.01146 0.01085 0.01026 0.0097
0.00917 0.00867 0.00818 0.00772 0.00728 0.00686 ];
Pvl = [ 0.57159 0.60777 0.64566 0.68531 0.72676 0.77008 0.8153 0.8625 0.91172 0.9631 1.0165 1.0721
1.1300 1.1901 1.2527 1.3177 1.3852 1.4553 1.528 1.6033 1.6815 1.7625 1.8464 1.9334 2.0234 2.1165
2.213 2.3195 2.4159 2.5227 ];

```

```

denfl = [ 1224.9 1217.5 1210.1 1202.6 1194.9 1187.2 1179.3 1171.3 1163.2 1154.9 1146.5 1137.9
1129.2 1120.3 1111.3 1102 1092.6 1082.9 1073 1062.8 1052.4 1041.7 1030.7 1019.4 1007.7 995.6
983.1 970 956.5 942.3 ];

Visc = [ 225.8 220.8 215.4 210.4 205.5 200.7 196 191.4 186.9 182.5 178.2 174 169.8 165.7
161.7 157.7 153.8 149.9 146.1 142.3 138.6 134.9 131.2 127.5 123.9 120.3 116.7 113.1 109.4
105.8 ];

hfg1 = [ 182.44 180.68 178.88 177.05 175.18 173.29 171.35 169.38 167.37 165.32 163.23 161.09
158.9 156.67 154.39 152.04 149.64 147.17 144.64 142.04 139.37 136.6 133.76 130.81 127.77 124.6
121.31 118.196 114.31 110.55 ];

kfl = [ 84.2 83.3 82.4 81.4 80.5 79.6 78.7 77.7 76.8 75.9 75.5 74.1 73.1 72.2 71.3
70.4 69.5 68.5 67.6 66.7 65.82 64.9 63.9 63 62.1 61.2 60.3 59.3 58.4 57.5 ];

Cpf1 = [ 1.404 1.412 1.42 1.429 1.438 1.447 1.457 1.467 1.478 1.489 1.5 1.513 1.525 1.539
1.553 1.569 1.585 1.602 1.621 1.641 1.663 1.686 1.712 1.74 1.772 1.806 1.846 1.89 1.941
2.00 ];

vg(i) = interp1(Tem, volg, Tv(i));
Pv(i) = interp1(Tem, Pv1, Tv(i))*10^6;
denf(i) = interp1(Tem, denfl, Tv(i));
Vi(i) = interp1(Tem, Visc, Tv(i))*10^-6;
hfg(i) = interp1(Tem, hfg1, Tv(i))*10^3;
kf(i) = interp1(Tem, kfl, Tv(i))*10^-3;
Cpf(i) = interp1(Tem, Cpf1, Tv(i))*10^3;
deng(i) = 1/vg(i);
Pp(i) = Pv(i)+(denf(i)*g*F*Lc*sin(pi/2));
Tp(i) = interp1(Pv1, Tem, Pp(i)*10^-6);
DelTh(i) = ((Tp(i)-Tv(i))/2)*F;
DelT(i) = Told(i)-Tair-DelTh(i);
Q1(i) = DelT(i)/Z(i);
c = 0.235;
Fee2(i) = ((hfg(i)*(kf(i)^3)*denf(i)^2)/(Vi(i)))^(1/4);
Z3f(i) = (c*Q1(i)^(1/3))/(Di^(4/3)*g^(1/3)*Lc*Fee2(i)^(4/3));
Ref(i) = (4*Q1(i))/(hfg(i)*Vi(i)*pi*Di);
if Ref(i) <= 1300
    Z7(i) = (Q1(i)^(1/3)*c)/(Di^(4/3)*g^(1/3)*Lc*Fee2(i)^(4/3));
else
    Z7(i) = ((Q1(i)^(1/3)*c)/(Di^(4/3)*g^(1/3)*Lc*Fee2(i)^(4/3)))*191*(Ref(i)^-0.733);
end

```

```

Pa = 1.013*(10^5);

Fee3(i) = ((denf(i)^0.65)*(kf(i)^0.3)*(Cpf(i)^0.7)*(Pv(i)^0.23)*0.32)/((deng(i)^0.25)*(hfg(i)^0.4)*(Vi(i)^0.1)
*(Pa^0.23));

Z3p(i) = 1/((Fee3(i)*(g^0.2))*(Q1(i)^0.4)*((pi*Di*Le)^0.6));
if Z3p(i)<Z3f(i)
    Z3(i) = Z3p(i);
else
    Z3(i) = (Z3p(i)*F) + (Z3f(i)*(1-F));
end

Ax = pi*((Do^2)-(Di^2))/4;

Z10(i) = ((0.5*Le)+(0.5*Lc))/(Ax*kcopper);
if (Z10(i)/(Z2+Z3(i)+Z7(i)+Z8))>20
    Zt(i) = Z2+Z3(i)+Z7(i)+Z8+Z9(i);
else
    Zt(i) = ((Z10(i)*(Z2+Z3(i)+Z7(i)+Z8))/(Z10(i)+Z2+Z3(i)+Z7(i)+Z8))+Z9(i);
end

QTs(i) = DelT(i)/Zt(i);
Tco(i) = Tco(i)+0.01;
end

if i==1
    Qpaddy(i) = (D(i)*Vol1*Cp(i)*DeltaT(i))/(t*3600);
    Tb(i) = (4*Fo(i)*(Told(i+1)-Told(i)+(2*(Qpaddy(i)-QTs(i))/k)))+Told(i);
end

if i>1&i<6
    Qpaddy(i) = (D(i)*Vol2*Cp(i)*DeltaT(i))/(t*3600);
    Tb(i) = (Fo(i)*(Told(i-1)+Told(i+1)+(2*Told(i+5)-(4*Told(i))+(2*(Qpaddy(i)-QTs(i))/k)))+Told(i));
end

if i==6
    Qpaddy(i) = (D(i)*Vol2*Cp(i)*DeltaT(i))/(t*3600);
    Tb(i) = (2*Fo(i)*(Told(i-1)+Told(i+5)-(2*Told(i))+(Bi(i)*(Tair-Told(i)))+(2*(Qpaddy(i)-QTs(i))/k)))+Told(i);
end

if i==7
    Qpaddy(i) = (D(i)*Vol2*Cp(i)*DeltaT(i))/(t*3600);
    Tb(i) = (2*Fo(i)*(Told(i+1)+Told(i-5)-(2*Told(i))+(Qpaddy(i)-QTs(i))/k))+Told(i);
end

```

```

end

if i>7&i<11

    Qpaddy(i) = (D(i)*Vol4*Cp(i)*DeltaT(i))/(t*3600);

    Tb(i) = (Fo(i)*(Told(i-1)+Told(i+1)+Told(i-5)+Told(i+4)-(4*Told(i))+((Qpaddy(i)-QTs(i))/k)))+Told(i);

end

if i==11

    Qpaddy(i) = (D(i)*Vol2*Cp(i)*DeltaT(i))/(t*3600);

    Tb(i) = (Fo(i)*((2*Told(i-1))+Told(i-5)+Told(i+4)-(4*Told(i))+(2*Bi(i)*(Tair-Told(i)))+(2*(Qpaddy(i)-
QTs(i))/k)))+Told(i);

end

if i==12

    Qpaddy(i) = (D(i)*Vol2*Cp(i)*DeltaT(i))/(t*3600);

    Tb(i) = (2*Fo(i)*(Told(i+1)+Told(i-4)-(2*Told(i))+((Qpaddy(i)-QTs(i))/k)))+Told(i);

end

if i>12&i<15

    Qpaddy(i) = (D(i)*Vol4*Cp(i)*DeltaT(i))/(t*3600);

    Tb(i) = (Fo(i)*(Told(i-1)+Told(i+1)+Told(i-4)+Told(i+3)-(4*Told(i))+((Qpaddy(i)-QTs(i))/k)))+Told(i);

end

if i==15

    Qpaddy(i) = (D(i)*Vol2*Cp(i)*DeltaT(i))/(t*3600);

    Tb(i) = (Fo(i)*((2*Told(i-1))+Told(i-4)+Told(i+3)-(4*Told(i))+(2*Bi(i)*(Tair-Told(i)))+(2*(Qpaddy(i)-
QTs(i))/k)))+Told(i);

end

if i==16

    Qpaddy(i) = (D(i)*Vol2*Cp(i)*DeltaT(i))/(t*3600);

    Tb(i) = (2*Fo(i)*(Told(i+1)+Told(i-3)-(2*Told(i))+((Qpaddy(i)-QTs(i))/k)))+Told(i);

end

if i==17

    Qpaddy(i) = (D(i)*Vol4*Cp(i)*DeltaT(i))/(t*3600);

    Tb(i) = (Fo(i)*(Told(i-1)+Told(i+1)+Told(i-3)+Told(i+2)-(4*Told(i))+((Qpaddy(i)-QTs(i))/k)))+Told(i);

end

if i==18

    Qpaddy(i) = (D(i)*Vol2*Cp(i)*DeltaT(i))/(t*3600);

    Tb(i) = (Fo(i)*((2*Told(i-1))+Told(i-3)+Told(i+2)-(4*Told(i))+(2*Bi(i)*(Tair-Told(i)))+(2*(Qpaddy(i)-
QTs(i))/k)))+Told(i);

end

```

```

if i==19
    Qpaddy(i) = (D(i)*Vol2*Cp(i)*DeltaT(i))/(t*3600);
    Tb(i) = (2*Fo(i)*(Told(i+1)+Told(i-2)-(2*Told(i))+(Qpaddy(i)-QTs(i))/k))+Told(i);
end
if i==20
    Qpaddy(i) = (D(i)*Vol2*Cp(i)*DeltaT(i))/(t*3600);
    Tb(i) = (Fo(i)*((2*Told(i-1))+Told(i-2)+Told(i+1)-(4*Told(i))+(2*Bi(i)*(Tair-Told(i)))+(2*(Qpaddy(i)-QTs(i))/k))+Told(i));
end
if i==21
    Qpaddy(i) = (D(i)*Vol1*Cp(i)*DeltaT(i))/(t*3600);
    Tb(i) = (4*Fo(i)*(Told(i-1)-Told(i)+(Bi(i)*(Tair-Told(i)))+(2*(Qpaddy(i)-QTs(i))/k))+Told(i));
end
Told(i)=Tb(i);
Node1(t)=Told(1);
Node2(t)=Told(2);
Node3(t)=Told(3);
Node4(t)=Told(4);
Node5(t)=Told(5);
Node6(t)=Told(6);
Node7(t)=Told(7);
Node8(t)=Told(8);
Node9(t)=Told(9);
Node10(t)=Told(10);
Node11(t)=Told(11);
Node12(t)=Told(12);
Node13(t)=Told(13);
Node14(t)=Told(14);
Node15(t)=Told(15);
Node16(t)=Told(16);
Node17(t)=Told(17);
Node18(t)=Told(18);
Node19(t)=Told(19);
Node20(t)=Told(20);
Node21(t)=Told(21);

```

```

x(t)=t;
end
disp(Tb);
disp(t);
%plot(x,Node1,'b',x,Node2,'g',x,Node3,'r',x,Node4,'c',x,Node5,'m',x,Node6,'y',x,Node7,'k',x,Node8,'
b',x,Node9,'g',x,Node10,'r',x,Node11,'c');
plot(x,Node12,'m',x,Node13,'y',x,Node14,'
k',x,Node15,'b',x,Node16,'g',x,Node17,'r',x,Node18,'c',x,Node19,'m',x,Node20,'y',x,Node21,'k');
xlabel('Time(hr)')
ylabel('Temperature of paddy(celsius)')
title('Temperature of paddy each node')
%legend('Node1','Node2','Node3','Node4','Node5','Node6','Node7','Node8','Node9','Node10','Node11');
legend('Node12','Node13','Node14','Node15','Node16','Node17','Node18','Node19','Node20','Node21')
end

```

```
clear
[X Y] = meshgrid([-5:1:5],[-5:1:5]);
Z = [36.8182 38.7016 39.8889 40.5964 40.9663 41.0795 40.9663 40.5964 39.8889 38.7016 36.8182
     38.7016 41.2158 42.8386 43.8209 44.3392 44.4986 44.3392 43.8209 42.8386 41.2158 38.7016
     39.8889 42.8386 44.7730 45.9579 46.5881 46.7826 46.5881 45.9579 44.7730 42.8386 39.8889
     40.5964 43.8209 45.9579 47.2778 47.9838 48.2021 47.9838 47.2778 45.9579 43.8209 40.5964
     40.9663 44.3392 46.5881 47.9838 48.7327 48.9647 48.7327 47.9838 46.5881 44.3392 40.9663
     41.0795 44.4986 46.7826 48.2021 48.9647 49.2021 48.9647 48.2021 46.7826 44.4986 41.0795
     40.9663 44.3392 46.5881 47.9838 48.7327 48.9647 48.7327 47.9838 46.5881 44.3392 40.9663
     40.5964 43.8209 45.9579 47.2778 47.9838 48.2021 47.9838 47.2778 45.9579 43.8209 40.5964
     39.8889 42.8386 44.7730 45.9579 46.5881 46.7826 46.5881 45.9579 44.7730 42.8386 39.8889
     38.7016 41.2158 42.8386 43.8209 44.3392 44.4986 44.3392 43.8209 42.8386 41.2158 38.7016
     36.8182 38.7016 39.8889 40.5964 40.9663 41.0795 40.9663 40.5964 39.8889 38.7016 36.8182];
surf(X,Y,Z);
xlabel('x-axis');
ylabel('y-axis');
zlabel('Temperature(celsius)');
title('Temperature of paddy nonusing Thermosyphon at 1000 hr');
colorbar;
```

```
clear  
[X Y] = meshgrid([-5:1:5],[-5:1:5]);  
Z = [28.2415 28.5787 28.6665 28.6880 28.6786 28.6198 28.6787 28.6880 28.6665 28.5787 28.2415  
     28.5785 28.6727 28.9271 28.9954 28.9674 28.6998 28.9674 28.9954 28.9271 28.6727 28.5787  
     28.6665 28.9271 28.7566 28.9868 28.9995 28.7116 28.9995 28.9868 28.7566 28.9271 28.665  
     28.6880 28.9954 28.9868 28.7576 28.9320 28.6896 28.9320 28.7576 28.9868 28.9954 28.6880  
     28.6787 28.9674 28.9995 28.9320 28.6781 28.5986 28.6781 28.9320 28.9995 28.9674 28.6787  
     28.6198 28.6998 28.7116 28.6896 28.5986 28.2508 28.5986 28.6896 28.7116 28.6998 28.6198  
     28.6787 28.9674 28.9995 28.9320 28.6781 28.5986 28.6781 28.9320 28.9995 28.9674 28.6787  
     28.6880 28.9954 28.9868 28.7576 28.9320 28.6896 28.9320 28.7576 28.9868 28.9954 28.6880  
     28.6665 28.9271 28.7566 28.9868 28.9995 28.7116 28.9995 28.9868 28.7566 28.9271 28.665  
     28.5785 28.6727 28.9271 28.9954 28.9674 28.6998 28.9674 28.9954 28.9271 28.6727 28.5787  
     28.2415 28.5787 28.6665 28.6880 28.6786 28.6198 28.6787 28.6880 28.6665 28.5787 28.2415];  
surf(X,Y,Z);  
xlabel('x-axis');  
ylabel('y-axis');  
zlabel('Temperature(celsius)');  
title('Temperature of paddy nonusing Thermosyphon at 1000 hr');  
colorbar;
```



### ตาราง A.1 แสดงคุณสมบัติของอากาศ

TABLE A.4 Thermophysical Properties  
of Gases at Atmospheric Pressure<sup>a</sup>

<i>T</i> (K)	<i>ρ</i> (kg/m <sup>3</sup> )	<i>c<sub>p</sub></i> (kJ/kg · K)	<i>μ · 10<sup>7</sup></i> (N · s/m <sup>2</sup> )	<i>ν · 10<sup>6</sup></i> (m <sup>2</sup> /s)	<i>k · 10<sup>3</sup></i> (W/m · K)	<i>α · 10<sup>6</sup></i> (m <sup>2</sup> /s)	<i>Pr</i>
<b>Air</b>							
100	3.5562	1.032	71.1	2.00	9.34	2.54	0.786
150	2.3364	1.012	103.4	4.426	13.8	5.84	0.758
200	1.7458	1.007	132.5	7.590	18.1	10.3	0.737
250	1.3947	1.006	159.6	11.44	22.3	15.9	0.720
300	1.1614	1.007	184.6	15.89	26.3	22.5	0.707
350	0.9950	1.009	208.2	20.92	30.0	29.9	0.700
400	0.8711	1.014	230.1	26.41	33.8	38.3	0.690
450	0.7740	1.021	250.7	32.39	37.3	47.2	0.686
500	0.6964	1.030	270.1	38.79	40.7	56.7	0.684
550	0.6329	1.040	288.4	45.57	43.9	66.7	0.683
600	0.5804	1.051	305.8	52.69	46.9	76.9	0.685
650	0.5356	1.063	322.5	60.21	49.7	87.3	0.690
700	0.4975	1.075	338.8	68.10	52.4	98.0	0.695
750	0.4643	1.087	354.6	76.37	54.9	109	0.702
800	0.4354	1.099	369.8	84.93	57.3	120	0.709
850	0.4097	1.110	384.3	93.80	59.6	131	0.716
900	0.3868	1.121	398.1	102.9	62.0	143	0.720
950	0.3666	1.131	411.3	112.2	64.3	155	0.723
1000	0.3482	1.141	424.4	121.9	66.7	168	0.726
1100	0.3166	1.159	449.0	141.8	71.5	195	0.728
1200	0.2902	1.175	473.0	162.9	76.3	224	0.728
1300	0.2679	1.189	496.0	185.1	82	238	0.719
1400	0.2488	1.207	530	213	91	303	0.703
1500	0.2322	1.230	557	240	100	350	0.685
1600	0.2177	1.248	584	268	106	390	0.688
1700	0.2049	1.267	611	298	113	435	0.685
1800	0.1935	1.286	637	329	120	482	0.683
1900	0.1833	1.307	663	362	128	534	0.677
2000	0.1741	1.337	689	396	137	589	0.672
2100	0.1658	1.372	715	431	147	646	0.667
2200	0.1582	1.417	740	468	160	714	0.655
2300	0.1513	1.478	766	506	175	783	0.647
2400	0.1448	1.558	792	547	196	869	0.630
2500	0.1389	1.665	818	589	222	960	0.613
3000	0.1135	2.726	955	841	486	1570	0.536
<b>Ammonia (NH<sub>3</sub>)</b>							
300	0.6894	2.158	101.5	14.7	24.7	16.6	0.887
320	0.6448	2.170	109	16.9	27.2	19.4	0.870
340	0.6059	2.192	116.5	19.2	29.3	22.1	0.872
360	0.5716	2.221	124	21.7	31.6	24.9	0.872
380	0.5410	2.254	131	24.2	34.0	27.9	0.869

### ตาราง ๑.๒ แสดงคุณสมบัติของ R134a

Saturated refrigerant-134a—Temperature table

Temp., $T^{\circ}\text{C}$	$P_{\text{sat}}$ , kPa	Specific volume, m <sup>3</sup> /kg			Internal energy, kJ/kg			Enthalpy, kJ/kg			Entropy, kJ/kg · K		
		Sat. $v_f$	Sat. $v_g$	Sat. $u_f$	Sat. $u_g$	Sat. $u_e$	Sat. $h_f$	Sat. $h_g$	Sat. $h_e$	Sat. $s_f$	Sat. $s_g$	Sat. $s_e$	
-40	51.25	0.0007054	0.36081	-0.036	207.40	207.37	0.000	225.86	225.86	0.00000	0.96866	0.96866	
-38	56.86	0.0007083	0.32732	2.475	206.04	208.51	2.515	224.61	227.12	0.01072	0.95511	0.96584	
-36	62.95	0.0007112	0.29751	4.992	204.67	209.66	5.037	223.35	228.39	0.02138	0.94176	0.96315	
-34	69.56	0.0007142	0.27090	7.517	203.29	210.81	7.566	222.09	229.65	0.03199	0.92859	0.96058	
-32	76.71	0.0007172	0.24711	10.05	201.91	211.96	10.10	220.81	230.91	0.04253	0.91560	0.95813	
-30	84.43	0.0007203	0.22580	12.59	200.52	213.11	12.65	219.52	232.17	0.05301	0.90278	0.95579	
-28	92.76	0.0007234	0.20666	15.13	199.12	214.25	15.20	218.22	233.43	0.06344	0.89012	0.95356	
-26	101.73	0.0007265	0.18946	17.69	197.72	215.40	17.76	216.92	234.68	0.07382	0.87762	0.95144	
-24	111.37	0.0007297	0.17395	20.25	196.30	216.55	20.33	215.59	235.92	0.08414	0.86527	0.94941	
-22	121.72	0.0007329	0.15995	22.82	194.88	217.70	22.91	214.26	s237.17	0.09441	0.85307	0.94748	
-20	132.82	0.0007362	0.14729	25.39	193.45	218.84	25.49	212.91	238.41	0.10463	0.84101	0.94564	
-18	144.69	0.0007396	0.13583	27.98	192.01	219.98	28.09	211.55	239.64	0.11481	0.82908	0.94389	
-16	157.38	0.0007430	0.12542	30.57	190.56	221.13	30.69	210.18	240.87	0.12493	0.81729	0.94222	
-14	170.93	0.0007464	0.11597	33.17	189.09	222.27	33.30	208.79	242.09	0.13501	0.80561	0.94063	
-12	185.37	0.0007499	0.10736	35.78	187.62	223.40	35.92	207.38	243.30	0.14504	0.79406	0.93911	
-10	200.74	0.0007535	0.099516	38.40	186.14	224.54	38.55	205.96	244.51	0.15504	0.78263	0.93766	
-8	217.08	0.0007571	0.092352	41.03	184.64	225.67	41.19	204.52	245.72	0.16498	0.77130	0.93629	
-6	234.44	0.0007608	0.085802	43.66	183.13	226.80	43.84	203.07	246.91	0.17489	0.76008	0.93497	
-4	252.85	0.0007645	0.079804	46.31	181.61	227.92	46.50	201.60	248.10	0.18476	0.74896	0.93372	
-2	272.36	0.0007684	0.074304	48.96	180.08	229.04	49.17	200.11	249.28	0.19459	0.73794	0.93253	
0	293.01	0.0007723	0.069265	51.63	178.53	230.16	51.86	198.60	250.45	0.20439	0.72701	0.93139	
2	314.84	0.0007763	0.064612	54.30	176.97	231.27	54.55	197.07	251.61	0.21415	0.71616	0.93031	
4	337.90	0.0007804	0.060338	56.99	175.39	232.38	57.25	195.51	252.77	0.22387	0.70540	0.92927	
6	362.23	0.0007845	0.056398	59.68	173.80	233.48	59.97	193.94	253.91	0.23356	0.69471	0.92828	
8	387.88	0.0007887	0.052762	62.39	172.19	234.58	62.69	192.35	255.04	0.24323	0.68410	0.92733	
10	414.89	0.0007930	0.049403	65.10	170.56	235.67	65.43	190.73	256.16	0.25286	0.67356	0.92641	
12	443.31	0.0007975	0.046295	67.83	168.92	236.75	68.18	189.09	257.27	0.26246	0.66308	0.92554	
14	473.19	0.0008020	0.043417	70.57	167.26	237.83	70.95	187.42	258.37	0.27204	0.65266	0.92470	
16	504.58	0.0008066	0.040748	73.32	165.58	238.90	73.73	185.73	259.46	0.28159	0.64230	0.92389	
18	537.52	0.0008113	0.038271	76.08	163.88	239.96	76.52	184.01	260.53	0.29112	0.63198	0.92310	
20	572.07	0.0008161	0.035969	78.86	162.16	241.02	79.32	182.27	261.59	0.30063	0.62172	0.92234	
22	608.27	0.0008210	0.033828	81.64	160.42	242.06	82.14	180.49	262.64	0.31011	0.61149	0.92160	
24	646.18	0.0008261	0.031834	84.44	158.65	243.10	84.98	178.69	263.67	0.31958	0.60130	0.92088	
26	685.84	0.0008313	0.029976	87.26	156.87	244.12	87.83	176.85	264.68	0.32903	0.59115	0.92018	
28	727.31	0.0008366	0.028242	90.09	155.05	245.14	90.69	174.99	265.68	0.33846	0.58102	0.91948	
30	770.64	0.0008421	0.026622	92.93	153.22	246.14	93.58	173.08	266.66	0.34789	0.57091	0.91879	
32	815.89	0.0008478	0.025108	95.79	151.35	247.14	96.48	171.14	267.62	0.35730	0.56082	0.91811	
34	863.11	0.0008536	0.023691	98.66	149.46	248.12	99.40	169.17	268.57	0.36670	0.55074	0.91743	
36	912.35	0.0008595	0.022364	101.55	147.54	249.08	102.33	167.16	269.49	0.37609	0.54066	0.91675	
38	963.68	0.0008657	0.021119	104.45	145.58	250.04	105.29	165.10	270.39	0.38548	0.53058	0.91606	
40	1017.1	0.0008720	0.019952	107.38	143.60	250.97	108.26	163.00	271.27	0.39486	0.52049	0.91536	
42	1072.8	0.0008786	0.018855	110.32	141.58	251.89	111.26	160.86	272.12	0.40425	0.51039	0.91464	
44	1130.7	0.0008854	0.017824	113.28	139.52	252.80	114.28	158.67	272.95	0.41363	0.50027	0.91391	
46	1191.0	0.0008924	0.016853	116.26	137.42	253.68	117.32	156.43	273.75	0.42302	0.49012	0.91315	
48	1253.6	0.0008996	0.015939	119.26	135.29	254.55	120.39	154.14	274.53	0.43242	0.47993	0.91236	
52	1386.2	0.0009150	0.014265	125.33	130.88	256.21	126.59	149.39	275.98	0.45126	0.45941	0.91067	
56	1529.1	0.0009317	0.012771	131.49	126.28	257.77	132.91	144.38	277.30	0.47018	0.43863	0.90880	
60	1682.8	0.0009498	0.011434	137.76	121.46	259.22	139.36	139.10	278.46	0.48920	0.41749	0.90669	
65	1891.0	0.0009750	0.009950	145.77	115.05	260.82	147.62	132.02	279.64	0.51320	0.39039	0.90359	
70	2118.2	0.0010037	0.008642	154.01	108.14	262.15	156.13	124.32	280.46	0.53755	0.36227	0.89982	
75	2365.8	0.0010372	0.007480	162.53	100.60	263.13	164.98	115.85	280.82	0.56241	0.33272	0.89512	
80	2635.3	0.0010772	0.006436	171.40	92.23	263.63	174.24	106.35	280.59	0.58800	0.30111	0.88912	
85	2928.2	0.0011270	0.005486	180.77	82.67	263.44	184.07	95.44	279.51	0.61473	0.26644	0.88117	
90	3246.9	0.0011932	0.004599	190.89	71.29	262.18	194.76	82.35	277.11	0.64336	0.22674	0.87010	
95	3594.1	0.0012933	0.003726	202.40	56.47	258.87	207.05	65.21	272.26	0.67578	0.17711	0.85289	
100	3975.1	0.0015269	0.002630	218.72	29.19	247.91	224.79	33.58	258.37	0.72217	0.08999	0.81215	



ตารางที่ ก.1 แสดงระยะเวลาที่ปลดภัยในการเก็บรักษาข้าวเปลือก ที่ความชื้นและอุณหภูมิต่างๆ

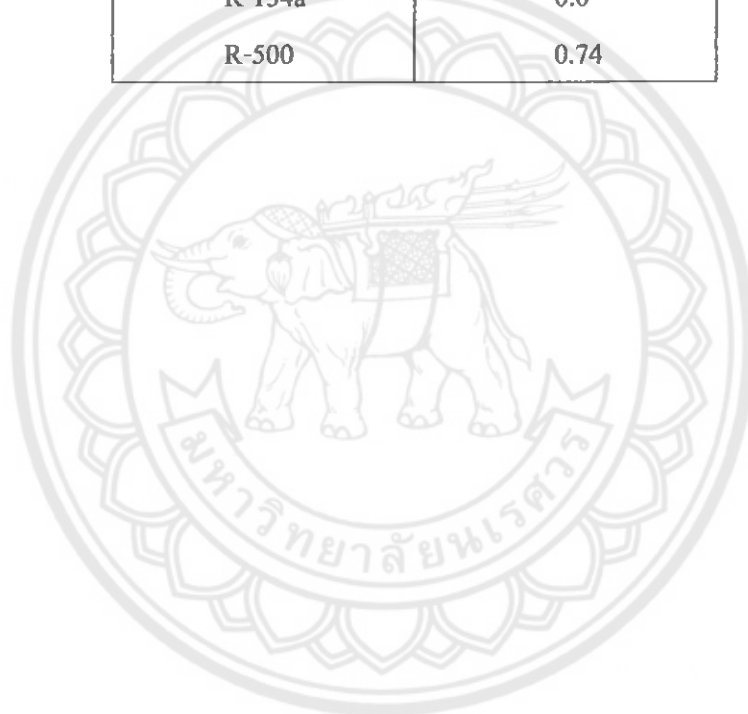
อุณหภูมิเก็บรักษา (°ช.)									
ความ ชื้น (%)	0	5	10	15	20	25	30	35	
6	162	73	33	15	7	3	1	31	
8	78	35	16	7	3	1	34	15	
10	38	17	18	3	2	36	16	7	สัปดาห์
12	18	8	4	2	38	17	8	3	
14	9	4	2	40	18	8	4	1	
16	4	2	43	19	9	4	2	-	
18	2	46	21	9	4	2	1	-	
20	49	24	10	5	2	1	-	-	

ตารางที่ ก.2 ผลของความชื้นข้าวเปลือกต่อคุณภาพการสีข้าว

คุณภาพการสีข้าว		
ความชื้น (%)	ข้าวสาร (%)	ข้าวหัก (%)
19.0	56.62	12.25
18.0	57.92	12.05
15.5	59.12	9.75
14.0	61.67	6.08
13.0	61.40	6.25
12.0	61.10	6.42
10.0	60.27	7.72

ตารางที่ ก.3 แสดงปริมาณการทำลายชั้นบรรยากาศของสารทำงานต่างๆ

Refrigerants	ODP
R-11	1.0
R-12	1.0
R-22	0.05
R-113	0.8
R-114	1.0
R-123	0.02
R-134a	0.0
R-500	0.74



ตารางที่ ก.4 แสดงขนาดของท่อทองแดง

ท่อ	Do(m)	Di(m)
$\frac{1}{8}''$	0.0103	0.0072
$\frac{1}{4}''$	0.0137	0.00948
$\frac{3}{8}''$	0.017	0.0124
$\frac{1}{2}''$	0.021	0.0155
$\frac{3}{4}''$	0.02667	0.0202
$1''$	0.03334	0.02695
$1\frac{1}{4}''$	0.0422	0.0347
$1\frac{1}{2}''$	0.0483	0.04068
$2''$	0.0603	0.0523
$2\frac{1}{2}''$	0.07303	0.0635
$3''$	0.0889	0.0777

## ประวัติผู้ทำโครงการ

- ชื่อ** : นาย มนัส ศรีวงศ์  
**วัน เดือน ปีเกิด** : วันที่ 26 ธันวาคม พ.ศ.2528  
**ภูมิลำเนา** : บ้านเลขที่ 19/1 หมู่ 8 ต.ทุ่งซึ้ง อ.ลับแล จ.อุตรดิตถ์  
**ประวัติการศึกษา** : ระดับประถมศึกษาที่โรงเรียนไทยรัฐวิทยา  
                           : ระดับมัธยมศึกษาตอนต้นที่โรงเรียนไทยรัฐวิทยา  
                           : ระดับมัธยมศึกษาตอนปลายที่โรงเรียนลับแลพิทยาคม  
                           : ปัจจุบันศึกษาที่ภาควิชาวิศวกรรมเครื่องกล คณะวิศวกรรมศาสตร์  
                           มหาวิทยาลัยนเรศวร จ.พิษณุโลก
- ชื่อ** : นาย วันจักร เรืองสกุล  
**วัน เดือน ปีเกิด** : วันที่ 6 เมษายน พ.ศ.2528  
**ภูมิลำเนา** : บ้านเลขที่ 8 ต.หล่มสัก อ.หล่มสัก จ.เพชรบูรณ์  
**ประวัติการศึกษา** : ระดับประถมศึกษาที่โรงเรียนอนุบาลหล่มสัก  
                           : ระดับมัธยมศึกษาตอนต้นที่โรงเรียนหล่มสักวิทยาคม  
                           : ระดับมัธยมศึกษาตอนปลายที่โรงเรียนหล่มสักวิทยาคม  
                           : ปัจจุบันศึกษาที่ภาควิชาวิศวกรรมเครื่องกล คณะวิศวกรรมศาสตร์  
                           มหาวิทยาลัยนเรศวร จ.พิษณุโลก
- ชื่อ** : นาย ธนาันต์ เพชรสัมฤทธิ์  
**วัน เดือน ปีเกิด** : วันที่ 27 มกราคม พ.ศ.2528  
**ภูมิลำเนา** : บ้านเลขที่ 234/184 หมู่ 10 ต.นครสวารรค์ อก อ.เมือง จ.นครสวารรค์  
**ประวัติการศึกษา** : ระดับประถมศึกษาที่โรงเรียนปริยาโภช  
                           : ระดับมัธยมศึกษาตอนต้นที่โรงเรียนจันเสนอ่องสุวรรณอนุสรณ์  
                           : ระดับมัธยมศึกษาตอนปลายที่โรงเรียนนครสวารรค์  
                           : ปัจจุบันศึกษาที่ภาควิชาวิศวกรรมเครื่องกล คณะวิศวกรรมศาสตร์  
                           มหาวิทยาลัยนเรศวร จ.พิษณุโลก